



การควบคุมปรับตัวได้ในวิธีของ MRAC Model Reference Adaptive Control



โดย
นาย จิรศักดิ์ ชัยวิริยะกุล
นาย สมพร ชาญประจักษ์วณิช
นาย เสกสรร เกียรติสุไพฑูรย์

ปฏิญานิตินี้เป็นส่วนหนึ่งของการศึกษาค้นคว้าหลักสูตรปริญญาวิศวกรรมศาสตรบัณฑิต
สาขาวิศวกรรมระบบควบคุม
สถาบันเทคโนโลยีพระจอมเกล้าเจ้าคุณทหารลาดกระบัง
ปีการศึกษา 2535

เอกสารนี้เป็นเอกสารที่สงวนไว้สำหรับการใช้งานเพื่อการศึกษาเท่านั้น ไม่อนุญาตให้นำไปใช้ประโยชน์ด้านการค้า
ไม่ว่ากรณีใดๆ ทั้งสิ้น อีกทั้งห้ามมิให้ตัดแปลงเนื้อหาและต้องอ้างอิงถึงเจ้าของเอกสารทุกครั้งที่มีการนำไปใช้

032-596

ปริญญาโท
ภาควิชา
คณะ
เรื่อง
ผู้จัดทำ

ปีการศึกษา 2535
วิศวกรรมระบบควบคุม
วิศวกรรมศาสตร์ สถาบันเทคโนโลยีพระจอมเกล้าเจ้าคุณทหารลาดกระบัง
การควบคุมปรับตัวได้ในวิธีของ MRAC

1. นาย จิรศักดิ์ ชัยวิริยะกุล 32.1059
2. นาย สมพร ชาณุประจักษ์วณิช 32.1350
3. นาย เสกสรร เกียรติสุไพบูรณ์ 32.1403

ผศ.ดร. จงกล งามวิวิทย์ อาจารย์ที่ปรึกษา
(.....)

รศ. วิพันธ์ ปรีชาพานิช อาจารย์ที่ปรึกษา
(.....)

รศ. สุเชียร เกียรติสุนทร อาจารย์ที่ปรึกษา
(.....)

อ. ประเมษฐ์ ประณายนันท์ อาจารย์ที่ปรึกษา
(.....)

การควบคุมปรับตัวได้ในวิธีของ MRAC

- | | | |
|------------------|------------------|---------|
| 1. นาย จิรศักดิ์ | ชัยวิริยะกุล | 32.1059 |
| 2. นาย สมพร | ชาญประจักษ์วณิช | 32.1350 |
| 3. นาย เสกสรร | เกียรติสุไพบูลย์ | 32.1403 |

อาจารย์ที่ปรึกษา

- | | |
|-------------|--------------|
| ผศ.ดร. จงกล | งามวิวิทย์ |
| รศ. วิพันธ์ | ปรีชาพานิช |
| รศ. สุเชียร | เกียรติสุนทร |
| อ. ประเมษฐ์ | ประนยานันท์ |

บทคัดย่อ

โครงการนี้เริ่มต้นด้วยการศึกษาทฤษฎี และ ระเบียบวิธีการควบคุมระบบด้วยวิธี MRAC (Model Reference Adaptive Control) จากนั้นนำวิธีดังกล่าวมาทดลองโดยสร้างโปรแกรมจำลองระบบควบคุมด้วยคอมพิวเตอร์ การจำลองระบบควบคุมด้วยคอมพิวเตอร์เป็นการศึกษาทฤษฎีการควบคุมเมื่อระบบควบคุมทั้งหมดอยู่ภายใต้เงื่อนไขในทฤษฎีโดยไม่มีผลกระทบภายนอกมารบกวนระบบ หลังจากจำลองระบบควบคุมด้วยคอมพิวเตอร์แล้ว ได้นำวิธีดังกล่าวมาทดลองกับกระบวนการจริงที่มีผลกระทบภายนอก และขีดจำกัดบางอย่างมารบกวนระบบ จุดประสงค์เพื่อศึกษาความสามารถของตัวควบคุม MRAC เมื่ออยู่นอกเหนือเงื่อนไขในทฤษฎี ผลที่ได้รับแสดงให้เห็นว่าไม่สามารถควบคุมกระบวนการได้ตามทฤษฎี จึงได้มีการค้นหาสาเหตุและหาแนวทางแก้ไข การค้นหาสาเหตุและการหาแนวทางแก้ไขใช้โปรแกรมจำลองระบบควบคุมด้วยคอมพิวเตอร์ที่ได้สร้างขึ้นในการทดลองขั้นแรกมาเป็นเครื่องมือ นำแนวทางแก้ไขที่ค้นพบมาปรับปรุงตัวควบคุม ผลของการควบคุมที่ปรับปรุงแล้วแสดงให้เห็นว่าแนวทางดังกล่าวสามารถแก้ไขปัญหที่เกิดขึ้นได้เป็นผลสำเร็จ และได้ผลการควบคุมเป็นไปตามทฤษฎี

กระบวนการจริงที่ใช้ในการโครงการนี้ เป็นเครื่องจำลองระบบ PTS-10 ซึ่งเป็นวงจรรีเลย์คทรอน - นิกส์ ที่ใช้จำลองระบบเชิงเส้นซึ่งสามารถปรับพารามิเตอร์ของกระบวนการได้

Model Reference Adaptive Control

By

Mr. Jirasak Chaiviriyakul
 Mr. Somporn Chanprajakwanich
 Mr. Seksan Kiatsupaibul

Advisor :

Asst. Prof. Dr Jongkol Ngamwiwit
 Associate Prof. Vipon Preechapanid
 Associate Prof. Suthian Kiatsunthorn
 Mr. Poramate Pranayanuntana

Abstract

The project is started by studying the theory and the control algorithm of MRAC (Model Reference Adaptive Control). Then simulate the control system with computer. The computer simulation experiment is done in order to study the control theory when the whole system is under the conditions based on the theory and without any effects caused by outer surrounding. Next, perform the experiment again by control process simulator PTS-10, a linear electronic process which can change some parameters of the process. The aim of This stage is to check out the ability of the MRAC control system when it is used in the real situation. The result shows that the controller controls the process in the manner different from the theory. By using the computer simultion program, we can find the deviation of process simulator from an ideal one and find the way to reduce the effects of it. Finally, improve the controller along that way. The improved controller can control the process in the same manner as one stated in the theory.

กิตติกรรมประกาศ

ขอขอบคุณ อาจารย์ จงกล งามวิวิทย์ และอาจารย์ที่ปรึกษาทุกท่านที่ให้คำแนะนำในการทำ
โครงการครั้งนี้

ขอขอบคุณ อาจารย์ วิชา สำนักวิจัยและบริการคอมพิวเตอร์ ครูสอนไมโครโปรเซสเซอร์

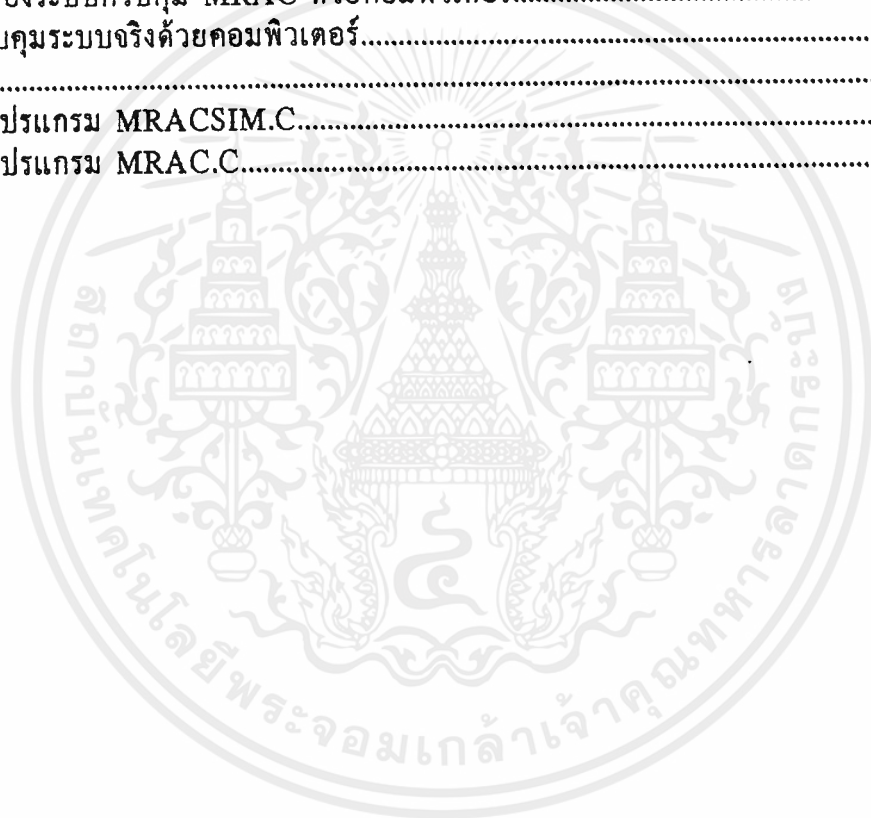
ขอขอบคุณ องค์การความร่วมมือระหว่างประเทศของญี่ปุ่น (Japan International Coopera-
tion Agency หรือ JICA) ที่ให้ความช่วยเหลือเครื่องมือประกอบการทดลอง process simulator
PTS-10 และ เครื่องวัดสัญญาณ Servocorder SR 6221



เอกสารนี้เป็นเอกสารที่สงวนไว้สำหรับการใช้งานเพื่อการศึกษาเท่านั้น ไม่อนุญาตให้นำไปใช้ประโยชน์ด้านการค้า
ไม่ว่ากรณีใดๆ ทั้งสิ้น อีกทั้งห้ามมิให้ตัดแปลงเนื้อหาและต้องอ้างอิงถึงเจ้าของเอกสารทุกครั้งที่มีการนำไปใช้

สารบัญ

	หน้า
บทคัดย่อ.....	1
Abstract.....	2
กิตติกรรมประกาศ.....	3
สารบัญรูป.....	5
สัญลักษณ์.....	6
บทที่ 1 บทนำ.....	7
บทที่ 2 Model Reference Adaptive Control (MRAC).....	9
บทที่ 3 การจำลองระบบควบคุม MRAC ด้วยคอมพิวเตอร์.....	18
บทที่ 4 การควบคุมระบบจริงด้วยคอมพิวเตอร์.....	31
ภาคผนวก.....	56
ภาคผนวก ก โปรแกรม MRACSIM.C.....	57
ภาคผนวก ข โปรแกรม MRAC.C.....	70



เอกสารนี้เป็นเอกสารที่สงวนไว้สำหรับการใช้งานเพื่อการศึกษาเท่านั้น ไม่อนุญาตให้นำไปใช้ประโยชน์ด้านการค้า
ไม่ว่ากรณีใดๆ ทั้งสิ้น อีกทั้งห้ามมิให้ตัดแปลงเนื้อหาและต้องอ้างอิงถึงเจ้าของเอกสารทุกครั้งที่มีการนำไปใช้

สารบัญรูป

	หน้า
รูปที่ 2.1	โครงสร้างระบบควบคุมปรับตัวทางอ้อม.....9
รูปที่ 2.2	โครงสร้างระบบควบคุมปรับตัวโดยตรง.....10
รูปที่ 2.3	โครงสร้างระบบควบคุม MRAC.....10
รูปที่ 3.1	กระบวนการ.....18
รูปที่ 3.2	แกนกล.....19
รูปที่ 3.3	ระบบควบคุมคงที่.....20
รูปที่ 3.4	แผนภาพระบบป้อนกลับสแตท.....21
รูปที่ 3.5	ผลการจำลองผลตอบสนองเมื่อ $q = 1$24
รูปที่ 3.6	ผลการจำลองผลตอบสนองเมื่อ q เปลี่ยนจาก 1 เป็น 2.....25
รูปที่ 3.7	ผลการจำลองผลตอบสนองเมื่อ q เปลี่ยนจาก 1 เป็น 4.....26
รูปที่ 3.8	ผลการจำลองผลตอบสนองเมื่อ q เปลี่ยนจาก 1 เป็น 0.5.....27
รูปที่ 3.9	ผลการจำลองผลตอบสนองเมื่อ q เปลี่ยนจาก 1 เป็น 0.25.....28
รูปที่ 3.10	การปรับตัวของ k ที่สอดคล้องกับรูปที่ 3.5.....29
รูปที่ 3.11	การปรับตัวของ k ที่สอดคล้องกับรูปที่ 3.7.....30
รูปที่ 3.12	การปรับตัวของ k ที่สอดคล้องกับรูปที่ 3.9.....30
รูปที่ 4.1	ส่วนประกอบของระบบที่ใช้ทดลอง.....31
รูปที่ 4.2	ผลการทดลองกับระบบจริงเมื่อตัวควบคุมเป็นการป้อนกลับสแตท.....33
รูปที่ 4.3	ผลการทดลองกับระบบจริงเมื่อใช้ตัวควบคุม MRAC , $sp = 5.0$, $\gamma = 1$36
รูปที่ 4.4	ผลการทดลองกับระบบจริงเมื่อใช้ตัวควบคุม MRAC , $sp = 5.0$, $\gamma = 0.1$36
รูปที่ 4.5	ผลการทดลองกับระบบจริงเมื่อใช้ตัวควบคุม MRAC , $sp = 0.5$, $\gamma = 1$38
รูปที่ 4.6	ผลการทดลองกับระบบจริงเมื่อใช้ตัวควบคุม MRAC , $sp = 0.5$, $\gamma = 1$ และเวลาผ่านไปนาน.....40
รูปที่ 4.7	ผลการทดลองกับระบบจริงเมื่อใช้ตัวควบคุม MRAC , $sp = 0.5$, $\gamma = 1$ และเปลี่ยนค่า q42
รูปที่ 4.8	ผลการจำลองผลตอบสนองของ MRAS เมื่อมีเงื่อนไขของการอิมตัวของ u44
รูปที่ 4.9	การปรับตัวของ k ที่สอดคล้องกับผลในรูปที่ 4.8.....44
รูปที่ 4.10	ผลการจำลองผลตอบสนองของ MRAS เมื่อเกิดปรากฏการณ์ model mismatch.....45
รูปที่ 4.11	การปรับตัวของ k ที่สอดคล้องกับผลในรูปที่ 4.10.....45
รูปที่ 4.12	ผลการจำลองผลตอบสนองของ MRAS เมื่อเกิด u อิมตัว บวก model mismatch.....46
รูปที่ 4.13	การปรับตัวของ k ที่สอดคล้องกับผลในรูปที่ 4.12.....46
รูปที่ 4.14	ผลการจำลองผลตอบสนองของ MRAS เมื่อเกิด u อิมตัว แต่หน้าจอรูปแบบอ้างอิง.....47
รูปที่ 4.15	การปรับตัวของ k ที่สอดคล้องกับผลในรูปที่ 4.14.....48
รูปที่ 4.16	ผลการจำลองผลตอบสนองของ MRAS เมื่อเกิด u อิมตัว + model mismatch แต่หน้าจอรูปแบบอ้างอิง.....49
รูปที่ 4.17	การปรับตัวของ k ที่สอดคล้องกับผลในรูปที่ 4.16.....49
รูปที่ 4.18	ผลการทดลองกับระบบจริงเมื่อลดผลการอิมตัวโดยหน้าจอรูปแบบอ้างอิง.....51
รูปที่ 4.19	ผลการทดลองกับระบบจริงเมื่อลดผลการอิมตัวโดยหน้าจอรูปแบบอ้างอิง และลองแปรค่า q52

เอกสารนี้เป็นเอกสารที่สงวนไว้สำหรับการใช้งานเพื่อการศึกษาเท่านั้น ไม่อนุญาตให้นำไปใช้ประโยชน์ด้านการค้า
ไม่ว่ากรณีใดๆ ทั้งสิ้น อีกทั้งห้ามมิให้ตัดแปลงเนื้อหาและต้องอ้างอิงถึงเจ้าของเอกสารทุกครั้งที่มีการนำไปใช้

สัญลักษณ์

\mathbf{x}_p	:	สแตทเวคเตอร์ของกระบวนการ
y'_p	:	เอาต์พุทของกระบวนการ
\mathbf{x}_m	:	สแตทของรูปแบบอ้างอิง
y_m	:	เอาต์พุทของรูปแบบอ้างอิง
e	:	process-model state error
u	:	อินพุทของกระบวนการ
r	:	สัญญาณอ้างอิง (reference signal) หรือ set point
ω	:	signal vector
θ	:	พารามิเตอร์ของตัวควบคุมปฐมภูมิ
θ^*	:	พารามิเตอร์ของตัวควบคุมปฐมภูมิที่จะทำให้ระบบลูปปิดมีผลตอบสนองตามรูปแบบอ้างอิง
ϕ	:	parameter error vector $\theta - \theta^*$
Γ	:	adaptation gain matrix
γ	:	ฟังก์ชันลืออาปุนอฟ
γ	:	γ -modification factor

เอกสารนี้เป็นเอกสารที่สงวนไว้สำหรับการใช้งานเพื่อการศึกษาเท่านั้น ไม่อนุญาตให้นำไปใช้ประโยชน์ด้านการค้า
ไม่ว่ากรณีใดๆ ทั้งสิ้น อีกทั้งห้ามมิให้ดัดแปลงเนื้อหาและต้องอ้างอิงถึงเจ้าของเอกสารทุกครั้งที่มีการนำไปใช้

บทที่ 1

บทนำ

วิทยาการทางวิศวกรรมสาขาหนึ่งที่เรียกว่า วิศวกรรมระบบควบคุม เป็นสาขาวิชาทางวิศวกรรมที่แยกศึกษาเน้นหนักในคุณภาพการปฏิบัติงานของระบบ วิทยาการในสาขานี้เกิดขึ้นเพื่อพยายามที่จะกำหนดแนวทาง หรือวิธีการที่จะทำให้ระบบที่เรากำลังสนใจ ทำงานให้กับเราได้ตรงตามความต้องการมากที่สุด มิใช่เพียงทำงานได้เท่านั้น

ในการกำหนดระเบียบวิธีการควบคุมระบบ สิ่งจำเป็นอันดับหนึ่งคือเราจะต้องเข้าใจระบบอย่างลึกซึ้ง ความเข้าใจในระบบนี้เป็นสิ่งที่จะเปิดทางไปสู่การควบคุมในอันดับต่อไป โดยทั่วไปแล้วเราจะใช้คณิตศาสตร์เป็น เครื่องมือที่ใช้อธิบาย วิเคราะห์ระบบ และสังเคราะห์ตัวควบคุมระบบ ดังนั้นความเข้าใจระบบก็อาจจะหมายถึงเราสามารถแทนระบบนั้น ๆ ด้วยสมการทางคณิตศาสตร์

ระบบในความเป็นจริงตามธรรมชาติมีความซับซ้อนเหลือคณานับ ดังนั้นการที่จะสามารถเข้าใจถึง รายละเอียดทั้งหมดของระบบจึงเป็นเรื่องยาก คณิตศาสตร์ที่เข้ามามีบทบาทในการประมาณระบบในความเป็นจริงที่ซับซ้อนเพื่อให้ง่ายต่อการวิเคราะห์ และมีประสิทธิภาพสูง ได้แก่ สมการอนุพันธ์เชิงเส้นไม่แปรค่าตามเวลา (linear time-invariant differential equation) ซึ่งเป็นการประมาณระบบในเชิงพลศาสตร์ โดยสมมติว่า ระบบไม่มีการเปลี่ยนแปลงตามเวลา หรือมีคุณสมบัติที่คงที่แน่นอน

ในการสังเคราะห์ตัวควบคุมสำหรับระบบดังกล่าวก็จะใช้คุณสมบัติของสมการอนุพันธ์เชิงเส้นไม่แปรค่าไปตามเวลา โดยสังเคราะห์จากวิถีเส้นทางเดินราก (root locus) หรือจากแผนภาพโบด (Bode diagram) สำหรับระเบียบวิธีดั้งเดิม หรือ ใช้วิธีการป้อนกลับสเตท (state feedback) สำหรับระเบียบวิธีแนวใหม่ ดู[1]

การวิเคราะห์ระบบ และสังเคราะห์ตัวควบคุมด้วยวิธีประมาณดังกล่าวนี้เป็นวิธีที่ยอมรับกันและให้ผลเป็นที่น่าพอใจในระดับหนึ่ง แต่จุดบกพร่องของวิธีดังกล่าวได้แก่

- 1) ถ้าระบบที่เราจะควบคุมเป็นระบบที่เราไม่รู้จักมาก่อน หมายความว่าเราไม่ได้เป็นผู้สร้างขึ้นด้วยตัวเอง เช่น ระบบในโรงงานอุตสาหกรรมที่ไม่มีตัวควบคุมมาก่อนแต่จะปรับปรุงโดยเพิ่มตัวควบคุมเข้าไป นั่นหมายความว่า เราจะไม่ทราบรูปแบบทางคณิตศาสตร์ของระบบและไม่สามารถสังเคราะห์ตัวควบคุมด้วยวิธีดังกล่าว
- 2) ระบบในความเป็นจริงจะเสื่อมสภาพไปตามเวลา หรืออาจมีคุณสมบัติเปลี่ยนแปลงไปตามจุดทำงาน ไม่ใช่ว่าจะมีคุณสมบัติคงที่แน่นอนไม่เปลี่ยนแปลง
- 3) ระบบในความเป็นจริงมีคุณสมบัติที่ไม่เป็นเชิงเส้น

ในปัญหาข้อที่ 1 นั้น ตัวควบคุมที่นิยมนำมาใช้แก้ปัญหาที่คือ PID controller ซึ่งไม่จำเป็นต้องทราบคุณสมบัติของระบบก็สามารถใช้ควบคุมได้โดยปรับพารามิเตอร์ไปตามผลตอบสนองที่ได้รับ แต่อย่างไรก็ตาม PID ก็ไม่สามารถแก้ไขปัญหาในข้อที่สองและข้อที่สามได้

การควบคุมที่ปรับตัวได้ (Adaptive control) เป็นทางหนึ่งที่ใช้แก้ปัญหาทั้งสามข้อดังกล่าว ในวิทยานิพนธ์ฉบับนี้เป็นการศึกษาและทดลองการควบคุมที่ปรับตัวได้วิธีหนึ่ง ที่ชื่อว่า MRAC (Model Reference Adaptive Control) ซึ่งเป็นการควบคุมที่ปรับตัวได้อย่างง่าย และจำกัดขอบเขตการศึกษาเพียงใช้ควบคุมระบบเชิงเส้นเท่านั้น หรือเป็นการศึกษาสำหรับปัญหาในข้อ 1 และ 2

ไม่ว่ากรณีใดๆ ทั้งสิ้น อีกทั้งห้ามมิให้ตัดแปลงเนื้อหาและต้องอ้างอิงถึงเจ้าของเอกสารทุกครั้งที่มีการนำไปใช้

การทำงานครั้งนี้เริ่มต้นด้วยการศึกษาทฤษฎีและระเบียบวิธีการควบคุม MRAC จากนั้นนำวิธีที่ได้ศึกษามาทดลองโดยการจำลองระบบและการควบคุมด้วยคอมพิวเตอร์ การจำลองเป็นการเปรียบเทียบวิธีป้อนกลับสเตทกับวิธี MRAC การทดลองโดยการจำลองจากคอมพิวเตอร์เป็นการศึกษาทฤษฎีการควบคุมเมื่อระบบทั้งหมดอยู่ภายใต้เงื่อนไขในทฤษฎี โดยไม่มีผลกระทบภายนอกมารบกวน สุดท้ายนำวิธีดังกล่าวมาทดลองกับระบบจริงที่มีผลภายนอก และซัดจำกัดต่าง ๆ มารบกวนระบบทั้งหมด เพื่อศึกษาความสามารถของตัวควบคุม MRAC เมื่ออยู่นอกเหนือจากเงื่อนไขในทฤษฎี

ระบบจริงในที่นี้หมายถึง ใช้ process simulator เป็นกระบวนการ และมีคอมพิวเตอร์เป็นตัวควบคุม process simulator PTS-10 ที่ใช้ทดลองเป็นกระบวนการอิเล็กทรอนิกส์ที่เราสามารถปรับทรานเฟอร์ฟังก์ชัน (transfer function) และพารามิเตอร์ต่าง ๆ ตามต้องการได้ ถึงแม้ว่า PTS-10 จะเป็นกระบวนการจริงแต่ก็ยังเป็นกระบวนการจริงที่มีลักษณะใกล้เคียงกับอุดมคติซึ่งเราสามารถเชื่อถือได้ว่ามีคุณสมบัติเป็นเชิงเส้น และมีสัญญาณรบกวน หรือ noise น้อยมาก PTS-10 จึงเหมาะกับการทดลองเบื้องต้นในโครงการนี้

ผู้อ่านวิทยานิพนธ์ฉบับนี้ควรมีความรู้เบื้องต้นสำหรับการควบคุมระบบที่เป็นเชิงเส้นไม่แปรค่าไปตาม เวลาทั้งแบบวิธีดั้งเดิม ซึ่งใช้การแปลงลาปลาซเป็นเครื่องมือในการวิเคราะห์ และวิธีแนวใหม่ที่ใช้เวกเตอร์ เมตริกซ์ เป็นเครื่องมือในการวิเคราะห์ (ทั้งหมดมีอยู่ใน [1])

วิทยานิพนธ์ฉบับนี้ประกอบด้วย

- เนื้อหาส่วนทฤษฎี MRAC สำหรับระบบเชิงเส้น
- ผลการทดลอง ด้วยการจำลองจากคอมพิวเตอร์และการวิเคราะห์
- ผลการทดลองจากการ ทดลองกับระบบจริงและการวิเคราะห์
- และ ภาคผนวก ซึ่งประกอบด้วยโปรแกรมสองโปรแกรม

ในวิทยานิพนธ์ฉบับนี้เน้นเฉพาะทฤษฎี และระเบียบวิธีควบคุมของ MRAC ผลของการนำไปใช้ ปัญหาที่เกิดขึ้น และแนวทางแก้ไข โดยไม่มีรายละเอียดเกี่ยวกับเครื่องมือที่ใช้ประกอบในการทดลอง

บทที่ 2

Model Reference Adaptive Control (MRAC)^[2]

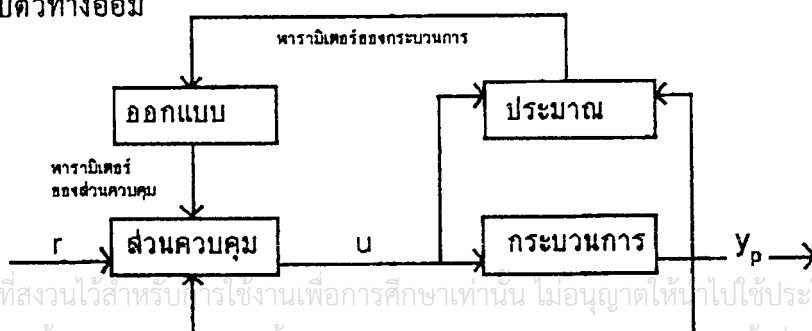
2.1 การควบคุมที่ปรับตัวได้ (Adaptive Control)

ในระหว่างการพัฒนาทฤษฎีการควบคุมแนวใหม่ จะพบว่า การควบคุมที่ถูกสังเคราะห์โดยการประมาณระบบที่ต้องการควบคุม หรือ กระบวนการ ในรูปสมการอนุพันธ์เชิงเส้นไม่แปรค่าตามเวลา และ ออกแบบตัวควบคุมโดยวิธีสแตบิลไลซ์ มีคุณสมบัติที่ถูกกำหนดตายตัว (ซึ่งต่อไปจะเรียกตัวควบคุมชนิดนี้ว่า การควบคุมคงที่ หรือ fixed controller) การควบคุมคงที่ดังกล่าวไม่สามารถควบคุมพฤติกรรมของระบบให้เป็นไปตามความต้องการ ได้ทุกสถานการณ์ โดยเฉพาะอย่างยิ่ง ถ้ากระบวนการที่ถูกควบคุมมีตัวแปรที่ไม่ทราบค่า หรือ แปรค่าไปตามเวลา

ในช่วงหลังของยุค 1950 ได้มีความสนใจในเรื่องการควบคุมที่ปรับตัวได้มากขึ้น โดยเริ่มจาก gain scheduling technique ซึ่งเป็นการควบคุมที่ปรับพารามิเตอร์ของตัวควบคุมไปตามสภาพแวดล้อมที่สังเกตได้ (คล้ายกับเป็นการสังเกตสภาพแวดล้อมจากนั้นเปิดตารางเพื่อหาค่าพารามิเตอร์หรือเกนที่เหมาะสม) การจะออกแบบตัวควบคุมแบบนี้สามารถทำได้เมื่อเรารู้ความสัมพันธ์ที่แน่นอนระหว่างพฤติกรรมของกระบวนการกับสภาวะภายนอกซึ่งสามารถวัดได้ เช่น ปฏิกริยาของเครื่องบินจากคำสั่งของนักบินขึ้น โดยตรงกับระดับความสูงของเครื่องบิน เนื่องจากพฤติกรรมของเครื่องบินเป็นที่ทราบกันว่าเป็นฟังก์ชันอย่างไรก็ตามความสูงดังนั้นจึงสามารถออกแบบตัวควบคุมที่สามารถปรับตัวไปตามระดับความสูงต่าง ๆ

คำนิยามของ ระบบควบคุมที่ปรับตัวได้ มีอยู่หลายนิยาม ยกตัวอย่างเช่น "ระบบที่มีการควบคุมซึ่งสามารถปรับปรุงตัวเองให้เหมาะสมตามการเปลี่ยนแปลงของกระบวนการ" แต่นิยามที่ใช้กันมากก็คือ "ระบบที่ประกอบด้วยการป้อนกลับปฐมภูมิ (primary feedback) ซึ่งคอยดูแลการเปลี่ยนแปลงสัญญาณของกระบวนการ และ การป้อนกลับทุติยภูมิ (secondary feedback) ซึ่งเกี่ยวข้องกับการเปลี่ยนแปลงพารามิเตอร์ของส่วนควบคุม" จากนิยามนี้ การป้อนกลับปฐมภูมิเป็นเช่นดังการควบคุมที่ไม่สามารถปรับปรับตัวได้โดยทั่วไป ในขณะที่การป้อนกลับทุติยภูมิจะทำให้เกิดสภาพที่สามารถปรับตัวได้ การควบคุมที่ปรับตัวได้ดังที่ได้นิยามข้างต้นต่างจากเทคนิค gain scheduling ตรงที่ gain scheduling ไม่ได้ใช้การป้อนกลับทุติยภูมิเป็นกลไกในการปรับพารามิเตอร์ แต่ใช้กลไกของการวัดสภาวะแวดล้อมภายนอก ดังนั้น เทคนิค gain scheduling อาจไม่นับว่าเป็นการควบคุมที่ปรับตัวได้ จุดประสงค์ของการเปลี่ยนแปลงพารามิเตอร์ในการป้อนกลับทุติยภูมิคือต้องการรักษาสมรรถภาพ (performance) ให้สูงแม้ว่าพารามิเตอร์ของกระบวนการอาจไม่ทราบค่าหรือมีค่าที่เปลี่ยนแปลง

โครงสร้างของระบบควบคุมที่ปรับตัวได้สามารถแบ่งออกได้หลายวิธี วิธีที่ใช้มากได้แก่ การปรับตัวโดยตรง (direct adaptation) และ การปรับตัวทางอ้อม (indirect adaptation) ในรูปที่ 2.1 แสดงรูปของระบบปรับตัวทางอ้อม

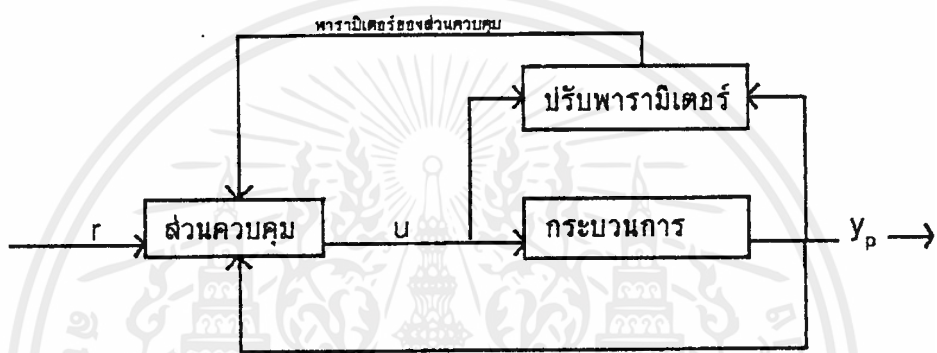


รูปที่ 2.1

จากรูปที่ 2.1 ลูปป้อนกลับปฐมภูมิหรือส่วนควบคุมปฐมภูมิ ได้แก่ ลูปล่าง ประกอบด้วย ส่วนควบคุมและกระบวนการ ซึ่งถูกป้อนกลับด้วยสัญญาณที่วัดได้จาก y_p ลูปป้อนกลับทุติยภูมิ ได้แก่ ลูปบน อันประกอบด้วย ส่วนควบคุม กระบวนการ ส่วนประมาณ และส่วนออกแบบ

ความสามารถในการปรับตัวได้ของระบบปรับตัวทางอ้อมในรูปที่ 2.1 เกิดจากลูปป้อนกลับทุติยภูมิโดยส่วนประมาณจะประมาณพารามิเตอร์ของกระบวนการและส่งต่อให้กับส่วนออกแบบเพื่อออกแบบพารามิเตอร์ให้กับส่วนควบคุม เมื่อกระบวนการมีการเปลี่ยนแปลงพารามิเตอร์ ส่วนออกแบบก็จะออกแบบพารามิเตอร์ของส่วนควบคุมให้เหมาะสม กับ กระบวนการที่เปลี่ยนไป ส่วนควบคุมที่ได้รับการปรับพารามิเตอร์ตามกระบวนการนี้ จะควบคุมพฤติกรรมของกระบวนการ ด้วยกลไกของลูปปฐมภูมิต่อไป

โครงสร้างของระบบปรับตัวโดยตรงมีรูปแบบคล้ายกับระบบปรับตัวทางอ้อมในรูปที่ 2.1 เพียงแต่ ลบส่วนออกแบบทิ้ง และเปลี่ยนส่วนประมาณเป็นส่วนปรับพารามิเตอร์ของส่วนควบคุมดังรูปที่ 2.2

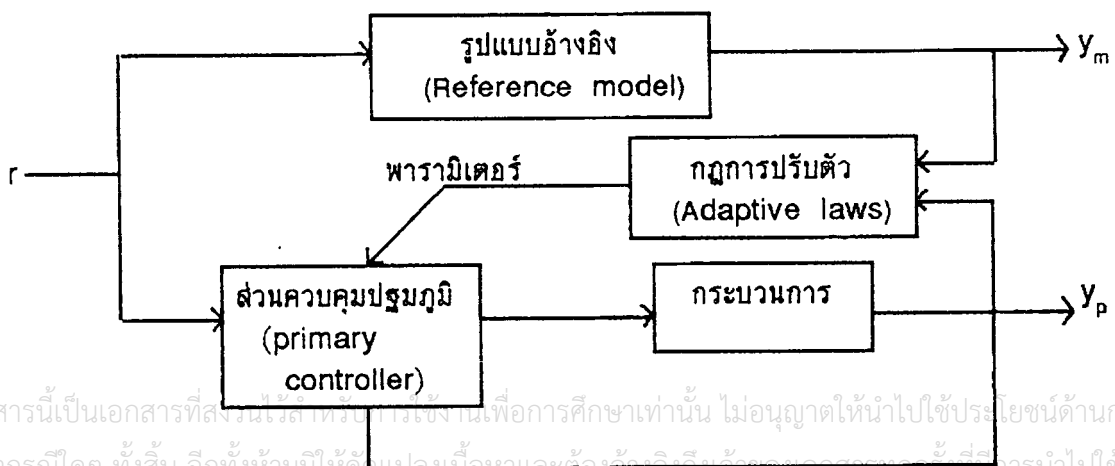


รูปที่ 2.2

ทั้งโครงสร้างของ การปรับตัวโดยตรง และทางอ้อม มีทั้งข้อดีและข้อเสีย ข้อดีแบบทางอ้อมคือ ความอิสระที่จะเลือกรูปแบบของส่วนออกแบบ ข้อดีข้อที่สองของแบบทางอ้อมคือ การมีส่วนประมาณพารามิเตอร์ จะทำให้ผู้ปฏิบัติการได้รู้ถึงสถานะปัจจุบันของกระบวนการและข้อผิดพลาดต่าง ๆ ของกระบวนการ อย่างไรก็ตามการปรับตัวทางอ้อมไม่อำนวยความสะดวกการวิเคราะห์ทางทฤษฎี เพราะวาระบบจะซับซ้อน โครงสร้างการปรับตัวโดยตรงมักจะซับซ้อนน้อยกว่า ดังนั้นเราสามารถพิสูจน์เสถียรภาพของระบบโดยรวมได้ง่ายกว่า

2.2 Model Reference Adaptive Systems

เทคนิคการควบคุมแบบ Model Reference Adaptive Control (MRAC) ถูกเสนอครั้งแรกโดย Whitacker ในปี 1958 โครงสร้างของ MRAC ที่นิยมกันมากที่สุดเป็นดังรูปที่ 2.3



รูปที่ 2.3

ในรูปที่ 2.3 แสดงให้เห็นว่าส่วนควบคุมปฐมภูมิจะทำหน้าที่ควบคุมพฤติกรรมของระบบลูปปิด ในลักษณะเดียวกับระบบที่ไม่ปรับตัวโดยทั่วไป อย่างไรก็ตามในสถานการณ์ที่เราไม่ทราบค่าพารามิเตอร์ของระบบ หรือ พารามิเตอร์ของระบบแปรค่าไปตามเวลา การตั้งค่าพารามิเตอร์ของส่วนควบคุมปฐมภูมิให้ตายตัว จะไม่สามารถควบคุมพฤติกรรมของระบบลูปปิดให้เป็นไปตามต้องการได้ทุกสถานการณ์

โดยเทคนิคของ MRAC ผลตอบสนองหรือพฤติกรรมของระบบต่ออินพุต r ตามที่เราต้องการสามารถกำหนดโดยรูปแบบอ้างอิง หรือ reference model ซึ่งแสดงด้วย y_m องค์ประกอบในการปรับตัวจะติดตามเปรียบเทียบผลตอบสนองของกระบวนการ y_p กับ y_m และ ตั้งค่าพารามิเตอร์ให้กับส่วนควบคุมปฐมภูมิเพื่อที่จะนำผลตอบสนองของกระบวนการให้เข้าสู่ผลตอบสนองของรูปแบบอ้างอิง ในองค์ประกอบของส่วนปรับตัว นอกจากใช้ผลตอบสนองของกระบวนการ y_p แล้วยังอาจใช้ สเตต (state) ของกระบวนการ x และอินพุตของกระบวนการ u หรือ set point r ลักษณะของ MRAC ส่วนใหญ่มักจะเป็นการปรับตัวโดยตรง เพราะไม่มีส่วนของการประมาณพารามิเตอร์ของกระบวนการอย่างชัดเจน

จากรูปที่ 2.3 แสดงระบบ MRAC ซึ่งประกอบด้วยลูปป้อนกลับสองลูป ซึ่งได้กล่าวไว้ในรูป 2.1 และ 2.2 : ลูปในประกอบด้วยลูปป้อนกลับปฐมภูมิ ลูปนอกประกอบด้วยส่วนที่ทำหน้าที่ปรับตัว โดยทั่วไป ลูปป้อนกลับปฐมภูมิจะทำงานที่ความเร็วสูงกว่า ลูปปรับตัว ดังนั้นพารามิเตอร์ของกระบวนการจึงถูกสมมติว่า เปลี่ยนแปลงช้ากว่าสเตตของกระบวนการ

ในกรณีรูปที่ 2.3 แสดงให้เห็นว่ารูปแบบอ้างอิงจะขนานกับกระบวนการ แต่ไม่จำเป็นว่าระบบปรับตัว MRAC จำเป็นจะต้องมีรูปแบบอ้างอิงที่ขนานกับกระบวนการเสมอไป ระบบ MRAC บางครั้งจะนำรูปแบบอ้างอิงต่ออนุกรมกับกระบวนการ ในการต่ออนุกรมนี้ รูปแบบอ้างอิงจะทำหน้าที่เป็นตัวกำเนิดอินพุตอ้างอิง และให้ประโยชน์ต่อการควบคุมตรงที่ระบบโดยทั่วไปจะไม่สามารถตอบสนองต่ออินพุตที่เป็นขั้นบันไดได้ ดังนั้นตัวกำเนิดอินพุตอ้างอิงจะกรองสัญญาณอินพุตให้เรียบขึ้นและการตอบสนองต่อกระบวนการจะเป็นไปตามอินพุตได้ดีขึ้น ในลักษณะนี้มีผลต่อการอิ่มตัวของระบบด้วย (saturation) นอกจากรูปแบบอ้างอิงจะต่อขนาน และต่ออนุกรมกับกระบวนการแล้ว ยังสามารถนำทั้งสองแบบมารวมกัน เป็น MRAC แบบ อนุกรม-ขนานได้อีก ซึ่งมีข้อดีข้อเสียต่างกัน ในวิทยานิพนธ์ฉบับนี้ศึกษาเฉพาะ MRAC แบบที่มีรูปแบบอ้างอิงต่อขนานกับกระบวนการ (parallel MRAC)

ส่วนสำคัญที่สุดใน MRAC ได้แก่การออกแบบกฎทางการปรับตัว ซึ่งมีหลายวิธี แต่ในวิทยานิพนธ์ฉบับนี้จะศึกษา และทดลองเฉพาะวิธี เสถียรภาพของเลียapunอฟ (Lyapunov)

2.3 การออกแบบตัวควบคุมที่สามารถปรับตัวได้

ในหัวข้อนี้จะได้นำเสนอส่วนประกอบที่สำคัญของระบบ MRAC อันได้แก่ กระบวนการ (Process) ตัวควบคุมปฐมภูมิ (Primary controller) รูปแบบอ้างอิง (Reference model) และที่มาของกฎการปรับตัว

กระบวนการ

แม้ว่ากระบวนการจะไม่อยู่ในส่วนของการออกแบบตัวควบคุมที่ปรับตัวได้ แต่เนื่องจากกระบวนการเป็นส่วนที่ตัวควบคุมจะต้องเกี่ยวข้องกับ จึงสมควรที่จะได้พิจารณาในส่วนนี้ ในการออกแบบตัวควบคุมเราจะต้องสมมติกระบวนการให้เป็นไปในทิศทางบางอย่างที่อาจไม่เป็นจริงในธรรมชาติ ยกตัวอย่างเช่น ทฤษฎีการปรับตัวที่จะพิจารณาต่อไปจะต้องสมมติว่ากระบวนการควรจะเป็นเชิงเส้น ควรทราบอันดับของทรานเฟอร์ฟังก์ชัน และควรรู้ถึงเครื่องหมายของ DC gain รวมทั้งทรานเฟอร์ฟังก์ชันควรเป็น minimum phase และ กระบวนการควรจะปราศจากการรบกวน (disturbance) กฎที่ให้นำไปใช้ประโยชน์ด้านการค้า

ไม่ว่ากรณีใดๆ ทั้งสิ้น อีกทั้งห้ามมิให้ตัดแปลงเนื้อหาและต้องอ้างอิงถึงเจ้าของเอกสารทุกครั้งที่มีการนำไปใช้

ดังที่ได้กล่าวไว้แล้วว่ากระบวนการจะไม่มีทางสอดคล้องกับเงื่อนไขทั้งหมดนี้ ยกตัวอย่างเช่น อันดับของกระบวนการที่แน่นอนเราไม่สามารถรู้ได้ ซึ่งโดยมากอันดับของกระบวนการที่นำมาใช้จะมาจากการวิเคราะห์ถึงส่วนประกอบของระบบ หรือ ดูผลตอบสนองทั้งในโดเมนของเวลาหรือ โดเมนความถี่ และเป็น ที่แน่นอนว่าไม่มีกระบวนการที่เป็นเชิงเส้นอย่างแท้จริง หรือปราศจากการรบกวน

อย่างไรก็ตามถึงแม้ว่าคุณสมบัติของกระบวนการจะไม่สามารถเป็นไปตามที่สมมติได้ทั้งหมด ก็ไม่ได้หมายความว่า การควบคุมที่ปรับตัวได้จะไม่สามารถเป็นไปได้อีก ดังนั้นสิ่งสำคัญในอันดับต่อมา ก็คือ จะทำอะไรให้ตัวควบคุมที่ปรับตัวได้สามารถทำงานได้ภายใต้สถานะที่ไม่สมบูรณ์ นั่นคือ สามารถทำงานได้ในกระบวนการจริง ๆ ซึ่งคือแนวทางที่ได้มีการวิจัยในเรื่องการควบคุมที่ปรับตัวได้ในช่วงสิบปีหลังนี้ และ ในวิทยานิพนธ์นี้ก็มีทั้งส่วนการจำลองสถานการณ์ที่อยู่ภายใต้สถานะสมมติทุกประการ และการทดลองกับระบบ ภายใต้สถานะที่ไม่สมบูรณ์ซึ่งชี้ให้เห็นถึงความแตกต่างในหลาย ๆ ด้าน

ส่วนควบคุมปฐมภูมิ (The primary controller)

ส่วนควบคุมปฐมภูมิดังรูปที่ 2.3 โดยหลักการสามารถมีโครงสร้างใด ๆ ก็ได้ตามการออกแบบตัวควบคุมเชิงเส้น (มีความหมายเดียวกับตัวควบคุมคงที่ดังที่ได้กล่าวมาและสามารถค้นคว้าได้จาก [1]) แต่อย่างไรก็ตามควรจะต้องสอดคล้องกับคุณสมบัติบางประการ

ประการแรกจะต้องสอดคล้องกับสถานะ Perfect Model-Matching ซึ่งหมายถึงการตั้งค่าพารามิเตอร์ของตัวควบคุมจะต้องทำให้พฤติกรรมของลูปวงปิดเท่ากับรูปแบบอ้างอิงได้

ประการที่สองสำหรับการใช้การควบคุมโดยตรง สัญญาณควบคุม u จะต้องมีคุณสมบัติเป็นเชิงเส้นต่อพารามิเตอร์ โดยทั่วไปส่วนควบคุมปฐมภูมิที่ใช้ใน MRAC ประกอบด้วยส่วนที่ทำหน้าที่กำเนิดเวกเตอร์ของสัญญาณ (Signal Vector ω) ซึ่งสัญญาณควบคุม u จะอยู่ในรูป $u = \theta^T \omega$ โดย θ เป็นเวกเตอร์ของพารามิเตอร์ของตัวควบคุม ซึ่งในระเบียบวิธีที่จะนำเสนอต่อไปจะได้ว่า ω จะประกอบขึ้นจากสเตต x_p และสัญญาณอ้างอิง (reference signal, setpoint) r หรือถ้าไม่ทราบสเตตก็จะต้องประมาณในลักษณะคล้ายกับตัวสังเกตสเตต

รูปแบบอ้างอิง (The Reference Model)

รูปแบบอ้างอิงจะเป็นตัวบ่งชี้ถึงผลตอบสนองต่อสัญญาณอ้างอิง r ที่เราต้องการ รูปแบบอ้างอิงมักจะได้จากการจำลองภายในคอมพิวเตอร์ การกำหนดรูปแบบอ้างอิงต้องกระทำให้สมเหตุสมผลคือระบบในความเป็นจริงสามารถเป็นไปตามรูปแบบนั้น ๆ ได้ เพราะหากกำหนดรูปแบบอ้างอิงที่มีผลตอบสนองเร็วเกินไปจะทำให้เกิดสถานะอิ่มตัว (saturation) ในส่วนหนึ่งส่วนใดของระบบได้ และจะนำมาซึ่งความไม่เสถียรของระบบดังจะได้แสดงถึงผลของการอิ่มตัวต่อเสถียรภาพของระบบต่อไปในการทดลอง

กฎการปรับตัว (Adaptive Laws)

กฎเกณฑ์สำคัญในการออกแบบ MRAC คือ กฎการปรับตัวและ การพิสูจน์กฎการปรับตัวซึ่งในวิทยานิพนธ์นี้จะใช้วิธีของลีโอปอนอฟ โดยสมมติว่ากระบวนการเป็นเชิงเส้นที่มีพารามิเตอร์ไม่ทราบค่าหรือ แปรค่าตามเวลา และกระบวนการมีหนึ่งอินพุต หนึ่งเอาต์พุต และการควบคุมเป็นสเตตป้อนกลับและพารามิเตอร์ของตัวควบคุมที่จะปรับคือเกนป้อนกลับ (feedback gain)

2.4 วิธีของลียาปูนอฟ (Lyapunov's method)

เนื่องจากคุณสมบัติไม่เป็นเชิงเส้นและแปรค่าไปตามเวลาของระบบ MRAC การวิเคราะห์ทางเชิงเส้นจึงไม่สามารถใช้ได้ เพื่อรับประกันเสถียรภาพของระบบปรับตัวได้ จึงจำเป็นต้องใช้วิธีที่รู้จักกันดีคือ Lyapunov's direct method วิธีของลียาปูนอฟกล่าวว่าระบบจะ uniform asymptotically stable equilibrium ที่ $x = 0$ เมื่อมี Lyapunov function $V(x)$ ซึ่งสอดคล้องกับเงื่อนไขต่อไปนี้

$$\begin{aligned} V(x) &> 0 \text{ เมื่อ } x \neq 0 \text{ (positive definite)} \\ V'(x) &< 0 \text{ เมื่อ } x \neq 0 \text{ (negative definite)} \\ V(x) &\rightarrow \infty \text{ เมื่อ } \|x\| \rightarrow \infty \\ V(0) &= 0 \end{aligned}$$

นั่นคือ Lyapunov function V (ซึ่งมีความหมายดังเช่นพลังงานที่บรรจุในระบบ) จะต้องลดลงเรื่อย ๆ เมื่อเทียบกับเวลา การใช้ Lyapunov ในการออกแบบระบบปรับตัวได้ เสถียรภาพของระบบจะถูกจัดเข้าไปอยู่ในกฎการควบคุมตามขั้นตอนต่อไปนี้

- ขั้นแรกจะต้องหา error equation ซึ่งอธิบายถึงสมการอนุพันธ์ของ error signal e (ซึ่งอาจจะเป็น output error $y_p - y_m$ หรือ state error $\mathbf{x}_p - \mathbf{x}_m$)
- ขั้นที่สองเลือก Lyapunov function ซึ่งเป็นฟังก์ชันของทั้ง error signal และ parameter error ซึ่งประกอบด้วย signal error vector $\mathbf{e} = \mathbf{x}_p - \mathbf{x}_m$ และ parameter error vector $\boldsymbol{\phi} = \boldsymbol{\theta} - \boldsymbol{\theta}^*$ (ผลต่างระหว่างพารามิเตอร์ของระบบจริงกับรูปแบบจำลอง) ซึ่งปกติจะเลือก Lyapunov function ให้อยู่รูป:

$$V = \mathbf{e}^T \mathbf{P} \mathbf{e} + \boldsymbol{\phi}^T \boldsymbol{\Gamma}^{-1} \boldsymbol{\phi}$$

โดยเมตริกซ์ \mathbf{P} และ $\boldsymbol{\Gamma}^{-1}$ เป็น positive definite

- ขั้นที่สามคำนวณ V' ซึ่งเป็นอนุพันธ์ของ V ต่อเวลา ซึ่ง V' มักจะอยู่ในรูป:

$$V' = -\mathbf{e}^T \mathbf{Q} \mathbf{e} + \{\text{ส่วนที่มีเทอม } \boldsymbol{\phi}\}$$

โดย \mathbf{Q} เป็นเมตริกซ์ positive definite หากเราให้เทอมที่ติด $\boldsymbol{\phi}$ เป็นศูนย์ระบบจะมีเสถียรภาพ เมตริกซ์ \mathbf{P} และ \mathbf{Q} สามารถถูกเลือกโดยใช้ทฤษฎีลียาปูนอฟ ซึ่งระบบที่เป็น asymptotically stable ที่ถูกกำหนดโดยเมตริกซ์ \mathbf{A} ความสัมพันธ์ระหว่างเมตริกซ์ positive definite \mathbf{Q} และ \mathbf{P} เป็นดังนี้

$$\mathbf{A}^T \mathbf{P} + \mathbf{P} \mathbf{A} = -\mathbf{Q}$$

สมการนี้เรียกว่าสมการลียาปูนอฟ (Lyapunov equation)

- ขั้นที่สี่เมื่อให้ส่วนที่มีเทอม $\boldsymbol{\phi}$ เท่ากับศูนย์นอกจากจะทำให้ได้ระบบที่มีเสถียรภาพแล้ว ยังให้เกิดสมการที่ใช้ปรับพารามิเตอร์ของส่วนควบคุม ซึ่งก็คือกฎการปรับตัวนั่นเอง

ในหัวข้อต่อไปจะแสดงขั้นตอนการหากฎควบคุมดังที่ได้กล่าวมาทั้งสี่ข้อโดยละเอียด โดยศึกษาเฉพาะระบบที่เป็นเชิงเส้นและมีหนึ่งเอาท์พุทและหนึ่งอินพุท และวิเคราะห์ในแบบต่อเนื่องของเวลา

เอกสารนี้เป็นเอกสารที่สงวนไว้สำหรับการใช้งานเพื่อการศึกษาเท่านั้น ไม่อนุญาตให้นำไปใช้ประโยชน์ด้านการค้า

ไม่ว่ากรณีใดๆ ทั้งสิ้น อีกทั้งห้ามมิให้ตัดแปลงเนื้อหาและต้องอ้างอิงถึงเจ้าของเอกสารทุกครั้งที่มีการนำไปใช้

2.5 MRAC แบบเวลาต่อเนื่อง (Continuous-time MRAC)

การพัฒนา MRAC จะมีพื้นฐานอยู่บนรูปแบบเวลาต่อเนื่อง ในวิทยานิพนธ์นี้ก็ศึกษาและทดลอง MRAC ในแบบเวลาต่อเนื่องเช่นเดียวกัน โดยระเบียบวิธีที่จะกระจายต่อไปนี้มีขอบเขตอยู่ที่ ระบบต่อเนื่องเชิงเส้น ที่มีเฉพาะโพล (pole) ไม่มีซีโร (zero) และมีหนึ่งอินพุตและหนึ่งเอาต์พุต

MRAC เมื่อทราบสถานะที่สมบูรณ์

ในหัวข้อที่จะกล่าวถึงต่อไปจะพิจารณาการออกแบบ MRAC สำหรับกระบวนการที่ทราบค่าเวกเตอร์ของสถานะหรือสแตตเวกเตอร์ \mathbf{x}_p โดยสมบูรณ์

2.5.1 โครงสร้างของตัวควบคุมปฐมภูมิ (Primary controller structure)

ในที่นี้จะกำหนดว่ากระบวนการเป็นเชิงเส้น และสามารถควบคุมได้โดยสมบูรณ์ และไม่มี zero อันดับของกระบวนการคือ n สเตตป้อนกลับ $\mathbf{k}_b^T \mathbf{x}_p + k_0 r$ จะทำให้สามารถกำหนดตำแหน่งของ closed-loop pole ณ ตำแหน่งใด ๆ ก็ได้ ดังนั้นสามารถทำให้เกิดสภาพที่เข้ากับรูปแบบอ้างอิงได้โดยสมบูรณ์ (perfect model-matching condition)

$$\mathbf{x}_p' = \mathbf{A}_p \mathbf{x}_p + \mathbf{b}_p u$$

$$y_p = \mathbf{c}^T \mathbf{x}_p$$

\mathbf{A}_p สมมติว่าอยู่ในรูป phase-variable form

$$\mathbf{A}_p = \begin{pmatrix} 0 & 1 & 0 & \dots & 0 \\ 0 & 0 & 1 & \dots & 0 \\ \vdots & \vdots & \vdots & \ddots & \vdots \\ -a_{p1} & -a_{p2} & -a_{p3} & \dots & -a_{pn} \end{pmatrix}$$

$$\mathbf{b}_p = \begin{pmatrix} 0 \\ 0 \\ \vdots \\ b_{pn} \end{pmatrix}$$

$$\mathbf{c}^T = (1, 0, \dots, 0) \quad (2.1)$$

และมีสเตตป้อนกลับ

$$u = \mathbf{k}_b^T \mathbf{x}_p + k_0 r = (k_1, k_2, \dots, k_n) \mathbf{x}_p + k_0 r \quad (2.2)$$

จาก (2.2) จะเขียนให้อยู่ในรูป

$$u = \boldsymbol{\theta}^T \boldsymbol{\omega} \quad \begin{array}{l} \text{โดย } \boldsymbol{\theta}^T = (k_0, \mathbf{k}_b^T) \\ \text{โดย } \boldsymbol{\omega}^T = (r, \mathbf{x}_p^T) \end{array} \quad (2.3)$$

เอกสารนี้เป็นเอกสารที่สงวนไว้สำหรับการใช้งานเพื่อการศึกษาเท่านั้น ไม่อนุญาตให้นำไปใช้ประโยชน์ด้านการค้าไม่ว่ากรณีใดๆ ทั้งสิ้น อีกทั้งห้ามมิให้ตัดแปลงเนื้อหาและต้องอ้างอิงถึงเจ้าของเอกสารทุกครั้งที่มีการนำไปใช้

สมการที่ (2.1) และ (2.2) ทำให้ได้ closed loop system

$$\begin{aligned}
 \mathbf{x}_p' &= (\mathbf{A}_p + \mathbf{b}_p \mathbf{k}^T) \mathbf{x}_p + \mathbf{b}_p k_0 r \\
 &= \begin{pmatrix} 0 & 1 & \dots & 0 \\ 0 & 0 & \dots & 0 \\ & \vdots & & \vdots \\ -a_{p1} + b_{pn} k_1 & -a_{p2} + b_{pn} k_2 & \dots & -a_{pn} + b_{pn} k_n \end{pmatrix} \mathbf{x}_p \\
 &\quad + \begin{pmatrix} 0 \\ 0 \\ \vdots \\ b_{pn} k_0 \end{pmatrix} r \\
 &= \mathbf{A}_c \mathbf{x}_p + \mathbf{b}_c r \tag{2.4}
 \end{aligned}$$

พารามิเตอร์ของกระบวนการ a_{p1} a_{p2} ... a_{pn} และ b_{pn} สมมติว่าไม่ทราบค่าแต่มีค่าคงที่ และรู้เครื่องหมายของ b_{pn} จะสังเกตได้ว่าค่าพารามิเตอร์ของสเตปอินเวอร์ส หรือ ก็คือตัวควบคุมป้อนกลับ k_0 k_1 k_2 ... k_n จะสามารถกำหนดพารามิเตอร์ทุกตัวของระบบลูปปิดโดยรวมได้ ซึ่งมีผลในการย้ายตำแหน่งโพลไปอยู่ในตำแหน่งตามที่ต้องการ กลไกการปรับตัว ของ MRAC ในแบบที่นำเสนอนี้ก็ใช้วิธีปรับพารามิเตอร์ k ตัวนี้เพื่อที่จะปรับพารามิเตอร์ของระบบลูปปิด หากสเตตเวกเตอร์ \mathbf{x}_p ยังไม่อยู่ในรูป phase variable form เราสามารถเปลี่ยนให้อยู่ในรูป phase variable form ได้

รูปแบบอ้างอิง (reference model) ต้องกำหนดให้อยู่ในรูปเดียวกับ กระบวนการ

$$\begin{aligned}
 \mathbf{x}_m' &= \mathbf{A}_m \mathbf{x}_m + \mathbf{b}_m r \\
 &= \begin{pmatrix} 0 & 1 & 0 & \dots & 0 \\ 0 & 0 & 1 & \dots & 0 \\ & \vdots & & & \vdots \\ -a_{m1} & -a_{m2} & -a_{m3} & \dots & -a_{mm} \end{pmatrix} \mathbf{x}_m + \begin{pmatrix} 0 \\ 0 \\ \vdots \\ b_{pn} k_0 \end{pmatrix} r
 \end{aligned}$$

ด้วยการกำหนดโมเดลให้อยู่ในรูปเดียวกับกระบวนการ เราสามารถปรับองค์ประกอบทุกตัวของเมตริกซ์ของระบบ \mathbf{A}_c และ \mathbf{b}_c ให้ตรงกับเมตริกซ์ของรูปแบบอ้างอิง \mathbf{A}_m และ \mathbf{b}_m ได้ ซึ่งมีความหมายว่าเราสามารถทำให้ closed-loop transfer function ของกระบวนการ และ รูปแบบอ้างอิงตรงกันได้ ด้วยการเลือกพารามิเตอร์ของตัวควบคุม (k) ที่เหมาะสม ในลักษณะเช่นนี้เรียกว่าเกิดสภาพที่เข้ากับรูปแบบอ้างอิงได้โดยสมบูรณ์ (perfect model-matching condition)

หากระบบเกิดมี zero โครงสร้างของส่วนควบคุมป้อนกลับจะต้องถูกขยายออกไปอีก

2.5.2 การสร้างกฎการปรับตัว

กฎการปรับตัว สามารถสร้างได้โดยใช้วิธีของลีโอปูลอฟสี่ขั้นตอนดังที่ได้กล่าวมาแล้วในหัวข้อที่

2.4

เอกสารนี้เป็นเอกสารที่สงวนไว้สำหรับการใช้งานเพื่อการศึกษาเท่านั้น ไม่อนุญาตให้นำไปใช้ประโยชน์ด้านการค้าไม่ว่ากรณีใดๆ ทั้งสิ้น อีกทั้งห้ามมิให้ดัดแปลงเนื้อหาและต้องอ้างอิงถึงเจ้าของเอกสารทุกครั้งที่มีการนำไปใช้

การสร้างสมการ error

สำหรับอนุพันธ์เทียบกับเวลาของสัญญาณ error vector $\mathbf{e} = \mathbf{x}_p - \mathbf{x}_m$ จะมีรูปสมการดังนี้

$$\begin{aligned} \mathbf{e}' &= \mathbf{x}_p' - \mathbf{x}_m' \\ &= \mathbf{A}_c \mathbf{x}_p + \mathbf{b}_c r - \mathbf{A}_m \mathbf{x}_m - \mathbf{b}_m r \\ &= \mathbf{A}_m (\mathbf{x}_p - \mathbf{x}_m) + (\mathbf{A}_c - \mathbf{A}_m) \mathbf{x}_p + (\mathbf{b}_c - \mathbf{b}_m) r \\ &= \mathbf{A}_m \mathbf{e} + \mathbf{A} \mathbf{x}_p - \mathbf{b} r \end{aligned} \quad (2.5)$$

เมื่อ

$$\begin{aligned} \mathbf{A} &= \mathbf{A}_c - \mathbf{A}_m \\ \mathbf{b} &= \mathbf{b}_c - \mathbf{b}_m \end{aligned} \quad (2.6)$$

กำหนด parameter error vector ϕ

$$\phi^T = (b_{pn_0} k_{mn}, -a_{p1} + b_{pn_1} k_{m1}, \dots, -a_{pn} + b_{pn_n} k_{mn} + a_{mn}) \quad (2.7)$$

ใช้สมการ (2.7) และ (2.3) แทนในสมการที่ (2.5)

$$\begin{aligned} \mathbf{e}' &= \mathbf{A}_m \mathbf{e} + \begin{pmatrix} 0 \\ 0 \\ \vdots \\ 1 \end{pmatrix} \phi^T \omega \\ &= \mathbf{A}_m \mathbf{e} + \mathbf{b}_1 \phi^T \omega \end{aligned} \quad (2.8)$$

สมการ (2.8) แสดงสมการ error ของระบบซึ่งประกอบด้วยส่วนที่เป็นเชิงเส้น \mathbf{A}_m และ \mathbf{b}_1 ซึ่งถูกควบคุมโดยผลคูณที่ไม่เป็นเชิงเส้น $\phi^T \omega$

Lyapunov function

ขั้นต่อไปในการออกแบบคือการเลือก Lyapunov function ดังได้กล่าวไว้แล้วในหัวข้อที่ 2.4 โดยทั่วไป Lyapunov function จะเป็น quadratic function ของทั้ง signal error vector \mathbf{e} และ parameter error vector ϕ

$$V = \mathbf{e}^T \mathbf{P} \mathbf{e} + \phi^T \Gamma^{-1} \phi \quad (2.9)$$

adaptive gain matrix (Γ) จะต้องเป็น positive definite ดังนั้นจึงเลือกให้เป็นเมตริกเส้นทแยงมุม และเป็นผลให้ Γ^{-1} เป็น positive definite ด้วย และเมตริกซ์ \mathbf{P} จะต้องเป็น positive definite

หาอนุพันธ์ของ V และการสร้างกฎการปรับตัว

เพื่อให้ได้ระบบที่ asymptotically stable adaptive system, V' จะต้องเป็น negative definite อนุพันธ์ของ V ได้แก่

$$V' = e^T(A_m^T P + P A_m)e + 2e^T P b_1 \phi^T \omega + 2\phi^T \Gamma^{-1} \phi' \quad (2.10)$$

โดยใช้สมการลิวาปูนอฟ เมตริกซ์ P และ Q จะสามารถหาค่าได้
เทอมแรกด้านขวาของสมการ (2.10) สอดคล้องกับ

$$e^T(A_m^T P + P A_m)e = -e^T Q e$$

เพื่อที่จะประกันว่าระบบลูปปิดจะเสถียร กำหนดให้สองเทอมหลังด้านขวาของสมการ (2.10) เท่ากับศูนย์

$$\begin{aligned} 2e^T P b_1 \phi^T \omega + 2\phi^T \Gamma^{-1} \phi' &= 0 \\ \rightarrow \phi' &= -\Gamma e^T P b_1 \omega \\ &= -\Gamma(p^T e)\omega \end{aligned} \quad (2.11)$$

ผลคูณ $P b_1$ ในสมการ (2.11) เป็นเวกเตอร์ที่ประกอบด้วยหลักที่ n ของ P และผลคูณของเวกเตอร์นี้กับ signal error vector : $p^T e$ เรียกว่า 'compensated error' compensated error จะถูกนำมาใช้ในกฎการปรับตัว เพื่อคำนวณหาอัตราการเปลี่ยนแปลงของพารามิเตอร์ หรือ ϕ'

ขณะที่พารามิเตอร์ของรูปแบบอ้างอิงและกระบวนการถูกสมมติให้คงที่ จากนิยามของ ϕ' (สมการ 2.6) จะได้ว่า

$$\begin{aligned} b_{pn} k_o' &= -\gamma_{00}(p^T e)r \\ b_{pn} k_i' &= -\gamma_{ii}(p^T e)x_{pi} \quad \text{เมื่อ } i = 1, 2, \dots, n \end{aligned}$$

โดย $\Gamma = \text{diag}(\gamma_{00}, \gamma_{11}, \dots, \gamma_{nn})$ ดังนั้น

$$\begin{aligned} k_o' &= -\gamma_{00}(p^T e)r \\ k_i' &= -\gamma_{ii}(p^T e)x_{pi} \end{aligned} \quad (2.12)$$

หรือในรูปทั่วไป

$$\theta' = -\Gamma'(p^T e)\omega \quad (2.13)$$

เมื่อ

$$\Gamma' = (1/b_{pn})\Gamma$$

บทที่ 3

การจำลองระบบควบคุม MRAC ด้วยคอมพิวเตอร์

3.1 จุดประสงค์ในการจำลองระบบด้วยคอมพิวเตอร์

จุดประสงค์ในการจำลองระบบด้วยคอมพิวเตอร์มีสองประการได้แก่

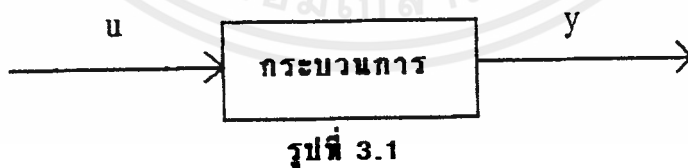
1. ต้องการศึกษาทฤษฎีของ MRAC ว่าจะให้ผลในลักษณะเช่นไร ในขณะที่ส่วนประกอบทุกส่วนเป็นอุดมคติหรืออยู่ภายใต้เงื่อนไขในทฤษฎี
2. แสดงให้เห็นถึงความแตกต่างระหว่างการควบคุมกระบวนการที่มีพารามิเตอร์ไม่แน่นอนด้วยตัวควบคุมคงที่ กับ ตัวควบคุมที่ปรับตัวได้ เมื่อกระบวนการเป็นอุดมคติ

ขอบเขตการจำลองระบบในครั้งนี้ต้องสอดคล้องกับขอบเขตทางทฤษฎีที่กำลังศึกษาที่ได้กล่าวไว้แล้วในบทที่ 2 ซึ่งมีดังนี้ กระบวนการที่จะใช้จำลองมีคุณสมบัติเป็นเชิงเส้น ไม่มีซีโร มีหนึ่งอินพุท หนึ่งเอาต์พุท โดยในการศึกษาครั้งนี้จะระบุอันดับของกระบวนการเป็นอันดับสอง

ในหัวข้อที่จะกล่าวถึงต่อไป จะเริ่มด้วยสมมติกระบวนการที่จะถูกควบคุมซึ่งมีผลตอบสนองต่อสัญญาณอ้างอิงไม่ตรงกับความต้องการ และมีพารามิเตอร์เปลี่ยนไปตามจุดทำงานและเราไม่อาจทราบค่าจากนั้นระบุรูปแบบอ้างอิงที่มีผลตอบสนองตรงกับความต้องการ ขึ้นต่อไปคือหาการควบคุมคงที่ให้กับกระบวนการ และหาการควบคุมที่ปรับตัวได้ให้กับกระบวนการ โดยทุกขั้นตอนแทนด้วยสมการทางคณิตศาสตร์ นำผลที่ได้ทั้งหมดจำลองด้วยคอมพิวเตอร์ และนำมาแสดงรวมทั้งวิเคราะห์ผล ผลที่แสดงโดยคอมพิวเตอร์จะมีสองหน้าต่าง หน้าต่างบนแสดงผลตอบสนองของกระบวนการที่ถูกควบคุมด้วยตัวควบคุมที่ปรับตัวได้ ส่วนหน้าต่างล่างแสดงผลตอบสนองของกระบวนการที่ถูกควบคุมด้วยตัวควบคุมคงที่

3.2 กระบวนการที่ใช้ศึกษา

กระบวนการที่ใช้ศึกษาแสดงดังแผนภาพข้างล่าง



โดยทรานเฟอร์ฟังก์ชัน (transfer function) ระหว่างเอาต์พุท y ต่ออินพุท u ถูกสมมติให้มีสมการดังนี้

$$\frac{y}{u} = \frac{q}{s^2 + 2qs} \quad (3.1)$$

หรือเขียนเป็นสมการเสถทในรูป phase variable form ได้ดังนี้

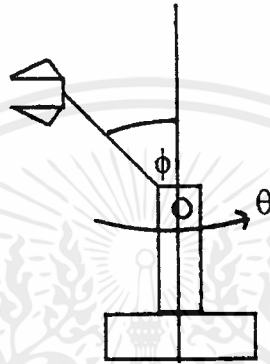
เอกสารนี้เป็นเอกสารที่สงวนไว้สำหรับการใช้งานเพื่อการศึกษาเท่านั้น ไม่อนุญาตให้นำไปใช้ประโยชน์ด้านการค้าไม่ว่ากรณีใดๆ ทั้งสิ้น อีกทั้งห้ามมิให้ตัดแปลงเนื้อหาและต้องอ้างอิงถึงเจ้าของเอกสารทุกครั้งที่มีการนำไปใช้

$$\mathbf{x}' = \begin{pmatrix} 0 & 1 \\ 0 & -2q \end{pmatrix} \mathbf{x} + \begin{pmatrix} 0 \\ q \end{pmatrix} u$$

$$y = \begin{pmatrix} 1 & 0 \end{pmatrix} \mathbf{x} \quad (3.2)$$

สมการที่ (3.1) และ (3.2) แสดงคุณลักษณะของระบบ ตัวแปร q เป็นตัวแปรไม่ทราบค่าซึ่งจะเปลี่ยนแปลงไปตามจุดทำงาน

ตัวอย่างระบบจริงที่แสดงได้ด้วยสมการ (3.1) และ (3.2) ได้แก่ ระบบเซอร์โวมอเตอร์ เช่น มอเตอร์ที่ใช้หมุนแขนกลอินพุทเป็นโวลเตจ v เพื่อที่จะทำให้แขนกลหมุนไปเป็นมุม θ ดังรูปที่ 3.2



รูปที่ 3.2

ซึ่งสามารถประมาณทรานเฟอร์ฟังก์ชันได้ดังสมการ (คูโน [3] และ [4])

$$\frac{\theta}{v} = \frac{K/J}{s^2 + B/J s} \quad (3.3)$$

เป็นรูปเดียวกับสมการที่ (3.1) เมื่อมุมของแขนกล ϕ ยกขึ้นลง จะทำให้โมเมนต์ของความเฉื่อย (moment of inertia) J ใน (3.3) มีค่าเปลี่ยนไป ซึ่งถ้าเปรียบเทียบกับค่า q นั่นคือเราจะไม่ทราบค่า q ใน (3.1) ที่แน่นอน โดยค่า q จะเปลี่ยนไปตามจุดทำงาน ซึ่งในที่นี้เราจะกำหนดให้ที่จุดทำงานปกติค่า q จะเท่ากับ 1 และเปลี่ยนแปลงอยู่ระหว่าง 0.25 ถึง 4

3.3 รูปแบบอ้างอิง

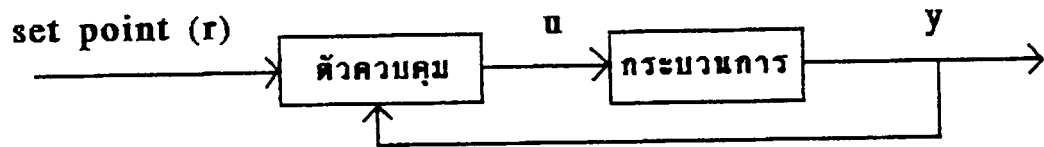
กำหนดให้รูปแบบอ้างอิงมี pole อยู่ที่ $-2 \pm 3.464j$ นั่นคือมีสมการสเตท

$$\mathbf{x}' = \begin{pmatrix} 0 & 1 \\ -16 & -4 \end{pmatrix} \mathbf{x} + \begin{pmatrix} 0 \\ 16 \end{pmatrix} r$$

$$y = \begin{pmatrix} 1 & 0 \end{pmatrix} \mathbf{x} \quad (3.4)$$

3.4 ออกแบบตัวควบคุมคงที่

ตัวควบคุมที่จะนำมาควบคุมกระบวนการจะอยู่ในรูปแบบดังรูปที่ 3.3



รูปที่ 3.3

ตัวควบคุมคงที่ในที่นี้จะใช้วิธีการควบคุมแบบป้อนกลับสเตท

จะเห็นได้ว่ากระบวนการที่เราสมมติขึ้นในสมการ (3.1) มีตัวอินทิเกรตอยู่หนึ่งตัว ดังนั้นการควบคุมให้ระบบลูปปิดมีโพลตามตำแหน่งที่ต้องการและมีเอ๊าท์พุทตาม set point ซึ่งกำหนดให้เป็น unit step สามารถใช้วิธี 'type 1 servo system when plant has an integrator' ใน [1] ซึ่งมีระเบียบวิธีดังนี้

กระบวนการที่สมมติขึ้นมี หนึ่งอินพุท หนึ่งเอ๊าท์พุท ซึ่งสามารถเขียนให้อยู่ในรูป

$$\begin{aligned} \mathbf{x}' &= \mathbf{Ax} + \mathbf{Bu} \\ y &= \mathbf{Cx} \end{aligned} \quad (3.5)$$

โดยในที่นี้ \mathbf{x} เป็นเวกเตอร์ 2 มิติ \mathbf{A} เป็นเมตริกซ์ 2×2 \mathbf{B} เป็นเมตริกซ์ 2×1 \mathbf{C} เป็นเมตริกซ์ 1×2 และ u และ y เป็นสเกลาร์

ตัวควบคุมจะเป็นสเตทป้อนกลับ

$$\begin{aligned} u &= - \begin{pmatrix} 0 & k_2 \end{pmatrix} \begin{pmatrix} x_1 \\ x_2 \end{pmatrix} + k_1(r - x) \\ &= -\mathbf{Kx} + k_1 r \end{aligned} \quad (3.6)$$

โดย

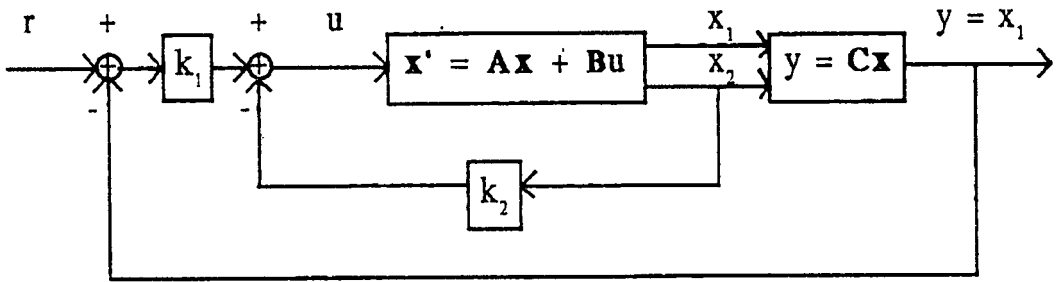
$$\mathbf{K} = (k_1 \quad k_2)$$

เพราะฉะนั้น

$$\mathbf{x}' = \mathbf{Ax} + \mathbf{Bu} = (\mathbf{A} - \mathbf{BK})\mathbf{x} + \mathbf{B}k_1 r \quad (3.7)$$

เราสามารถกำหนด pole ของระบบได้ตามต้องการโดยกำหนด เกนป้อนกลับ \mathbf{K} และเนื่องจากกระบวนการมีอินทิเกรตเตอร์หนึ่งตัว หรือเป็น type 1 ดังนั้นที่สภาวะอยู่ตัวความแตกต่างของ set point r กับ u จะเท่ากับ 0 แผนภาพระบบลูปปิดสามารถแสดงในรูปที่ 3.4

เอกสารนี้เป็นเอกสารที่สงวนไว้สำหรับการใช้งานเพื่อการศึกษาเท่านั้น ไม่อนุญาตให้นำไปใช้ประโยชน์ด้านการค้า ไม่ว่ากรณีใดๆ ทั้งสิ้น อีกทั้งห้ามมิให้ดัดแปลงเนื้อหาและต้องอ้างอิงถึงเจ้าของเอกสารทุกครั้งที่มีการนำไปใช้



รูปที่ 3.4

นำระเบียบวิธีในสมการที่ (3.5) (3.6) และ (3.7) มาใช้กับกระบวนการในสมการที่ (3.2) แต่เนื่องจากในสมการที่ (3.2) มีตัวแปร q ที่มีค่าไม่แน่นอน ในขณะที่ สมการที่ (3.5) (3.6) (3.7) ใช้กับกระบวนการที่เป็นเชิงเส้นไม่แปรเปลี่ยนตามเวลา และรู้ค่าแน่นอน ดังนั้นการออกแบบจึงควรออกแบบที่จุดทำงานปกติที่ได้กำหนดไว้ในตอนต้น คือให้ค่า q เป็นค่า 1 จาก (3.2) จะได้

$$\begin{aligned} \mathbf{x}' &= \begin{pmatrix} 0 & 1 \\ 0 & -2 \end{pmatrix} \mathbf{x} + \begin{pmatrix} 0 \\ 1 \end{pmatrix} u \\ y &= \begin{pmatrix} 1 & 0 \end{pmatrix} \mathbf{x} \end{aligned} \quad (3.8)$$

เมื่อนำสเตทมาป้อนกลับจะได้ระบบลูปปิดเป็น

$$\mathbf{x}' = \left[\begin{pmatrix} 0 & 1 \\ 0 & -2 \end{pmatrix} - \begin{pmatrix} 0 \\ 1 \end{pmatrix} (k_1 \quad k_2) \right] \mathbf{x} + \begin{pmatrix} 0 \\ 1 \end{pmatrix} k_1 r \quad (3.9)$$

ค่า k_1 และ k_2 เป็นเกนป้อนกลับซึ่งจะย้ายโพลของกระบวนการ ให้เป็นโพลของลูปปิดตามที่ต้องการ ในที่นี้โพลที่เราต้องการได้กำหนดไว้ในรูปแบบอ้างอิงแล้วคือ $-2 \pm 3.464j$ ซึ่งมีรูปสมการสเตทดังสมการที่ (3.4) ดังนั้นเกนป้อนกลับจึงต้องมีค่า

$$\mathbf{K} = (16 \quad 2)$$

$$k_1 = 16, \quad k_2 = 2$$

เพื่อที่จะให้ได้รูปสมการสเตทเป็นดังสมการที่ (3.4)

จะสังเกตว่าการใช้ตัวควบคุมคงที่ โดยวิธีสเตทป้อนกลับจะสามารถย้ายโพลมาอยู่ในตำแหน่งที่ต้องการและที่สถานะอยู่ตัวจะมีค่าเท่ากับสัญญาณอ้างอิง หรือ set point แต่อย่างไรก็ตามก็สามารถควบคุมระบบให้อยู่ในสภาพที่ต้องการได้เฉพาะเพียงที่จุดทำงานปกติหรือค่า $q = 1$ เท่านั้นแต่ในที่นี้เราสมมติว่าค่า q จะเปลี่ยนไปตามจุดทำงานโดยมีค่าอยู่ระหว่าง 0.25 ถึง 4 ดังนั้นการควบคุมจึงไม่ครอบคลุมทุกกรณี ซึ่งจะแสดงในผลการควบคุมอีกครั้งหนึ่ง

3.5 การออกแบบตัวควบคุม MRAC

ทฤษฎีเกี่ยวกับตัวควบคุม MRAC ได้กล่าวไว้แล้วในหัวข้อ 2.5 สามารถสรุปว่าการควบคุมประกอบด้วยส่วนการควบคุมปฐมภูมิ และส่วนปรับตัว การควบคุมปฐมภูมิเป็นสเตทฟีดแบ็คในรูปแบบเดียวกับตัวควบคุมคงที่ โดยส่วนปรับตัวจะทำหน้าที่ปรับพารามิเตอร์ของตัวควบคุมปฐมภูมิอีกทีหนึ่ง พารามิเตอร์ที่ถูกปรับก็คือเกนฟีดแบ็คนั่นเอง

ในหัวข้อนี้จะทำการสร้างสมการสำหรับการปรับตัวของพารามิเตอร์ในตัวควบคุม MRAC

จากสมการกระบวนการที่ (3.2)

$$\begin{aligned} \mathbf{x}' &= \begin{pmatrix} 0 & 1 \\ 0 & -2q \end{pmatrix} \mathbf{x} + \begin{pmatrix} 0 \\ q \end{pmatrix} u \\ y &= \begin{pmatrix} 1 & 0 \end{pmatrix} \mathbf{x} \end{aligned} \quad (3.2)$$

ตัวควบคุมปฐมภูมิเมื่อใช้ full state feedback

$$u = k_0 r + k_1 x_{p1} + k_2 x_{p2} \quad (3.10)$$

ดังนั้นสมการต่าง ๆ ที่ต้องนำมาใช้ในการพิสูจน์กฎการปรับตัว ซึ่งได้กำหนดไว้ในสมการที่ (2.2) ถึง (2.4) สำหรับกระบวนการนี้จะเป็นอย่างนี้

$$\begin{aligned} \mathbf{A}_p &= \begin{pmatrix} 0 & 1 \\ 0 & -2q \end{pmatrix} \\ \mathbf{b}_p &= \begin{pmatrix} 0 \\ q \end{pmatrix} \\ \mathbf{A}_c &= \mathbf{A}_p + \mathbf{b}_p \mathbf{K}^T = \begin{pmatrix} 0 & 1 \\ qk_1 & -2q+qk_2 \end{pmatrix} \\ \mathbf{b}_c &= \begin{pmatrix} 0 \\ qk_0 \end{pmatrix} \\ \mathbf{A}_p &= \begin{pmatrix} 0 & 1 \\ -16 & -4 \end{pmatrix} \\ \mathbf{b}_p &= \begin{pmatrix} 0 \\ 16 \end{pmatrix} \end{aligned} \quad (3.11)$$

จากสมการ (3.11) สามารถหา error matrix ได้ดังนี้

$$\mathbf{A} = \mathbf{A}_c - \mathbf{A}_m = \begin{pmatrix} 0 & 0 \\ qk_1+16 & -2q+qk_2+4 \end{pmatrix}$$

เอกสารนี้เป็นเอกสารที่สงวนไว้สำหรับการใช้งานเพื่อการศึกษาเท่านั้น ไม่นิยมนำไปใช้ประโยชน์ด้านการค้า ไม่ว่ากรณีใดๆ ทั้งสิ้น อีกทั้งห้ามมิให้ดัดแปลงเนื้อหาและต้องอ้างอิงถึงเจ้าของเอกสารทุกครั้งที่มีการนำไปใช้

$$\mathbf{b} = \mathbf{b}_c - \mathbf{b}_m = \begin{pmatrix} 0 \\ qk_0-16 \end{pmatrix} \quad (3.12)$$

จากนิยาม

$$\begin{aligned} \phi^T &= (qk_0-16 \quad qk_1+16 \quad -2q+qk_2+4) \\ \omega^T &= (r \quad x_{p1} \quad x_{p2}) \end{aligned} \quad (3.13)$$

จะได้ error equation

$$\mathbf{e}' = \mathbf{A}_m \mathbf{e} + \begin{pmatrix} 0 \\ 1 \end{pmatrix} \phi^T \omega \quad (3.14)$$

ในกรณีนี้ $\mathbf{e}^T = (e \quad e')$ เมื่อ $e = x_{p1} - x_{m1}$ และ $e' = x_{p2} - x_{m2}$

การเลือกฟังก์ชันลิวานอฟจะได้ V' ดังสมการ (2.10) ในส่วนแรก V' สามารถหาค่า positive definite symmetric matrix P โดยใช้สมการของลิวานอฟ ซึ่งในตัวอย่างนี้จะกำหนดให้ Q เป็นเมตริกซ์เอกลักษณ์

$$\mathbf{A}_m^T P + P \mathbf{A} = Q$$

จะได้

$$P = \begin{pmatrix} 288 & 4 \\ 4 & 17 \end{pmatrix} \quad (3.15)$$

จากกฎการปรับตัวตามสมการที่ 3.11

$$\begin{aligned} \phi' &= -\Gamma \mathbf{e}^T P \mathbf{b}_1 \omega = - \begin{pmatrix} \gamma_0 & 0 & 0 \\ 0 & \gamma_1 & 0 \\ 0 & 0 & \gamma_2 \end{pmatrix} (e \quad e') \begin{pmatrix} 4 \\ 17 \end{pmatrix} \begin{pmatrix} r \\ x_{p1} \\ x_{p2} \end{pmatrix} \\ &= -(4e + 17e') \begin{pmatrix} \gamma_0 r \\ \gamma_1 x_{p1} \\ \gamma_2 x_{p2} \end{pmatrix} \end{aligned}$$

จะได้กฎการปรับตัวอยู่ในรูปอัตราการเปลี่ยนแปลงของพารามิเตอร์ของส่วนควบคุมปฐมภูมิ

$$\begin{aligned} k_0' &= -\gamma_0'(4e + 17e')r \\ k_1' &= -\gamma_1'(4e + 17e')x_{p1} \\ k_2' &= -\gamma_2'(4e + 17e')x_{p2} \end{aligned} \quad (3.16)$$

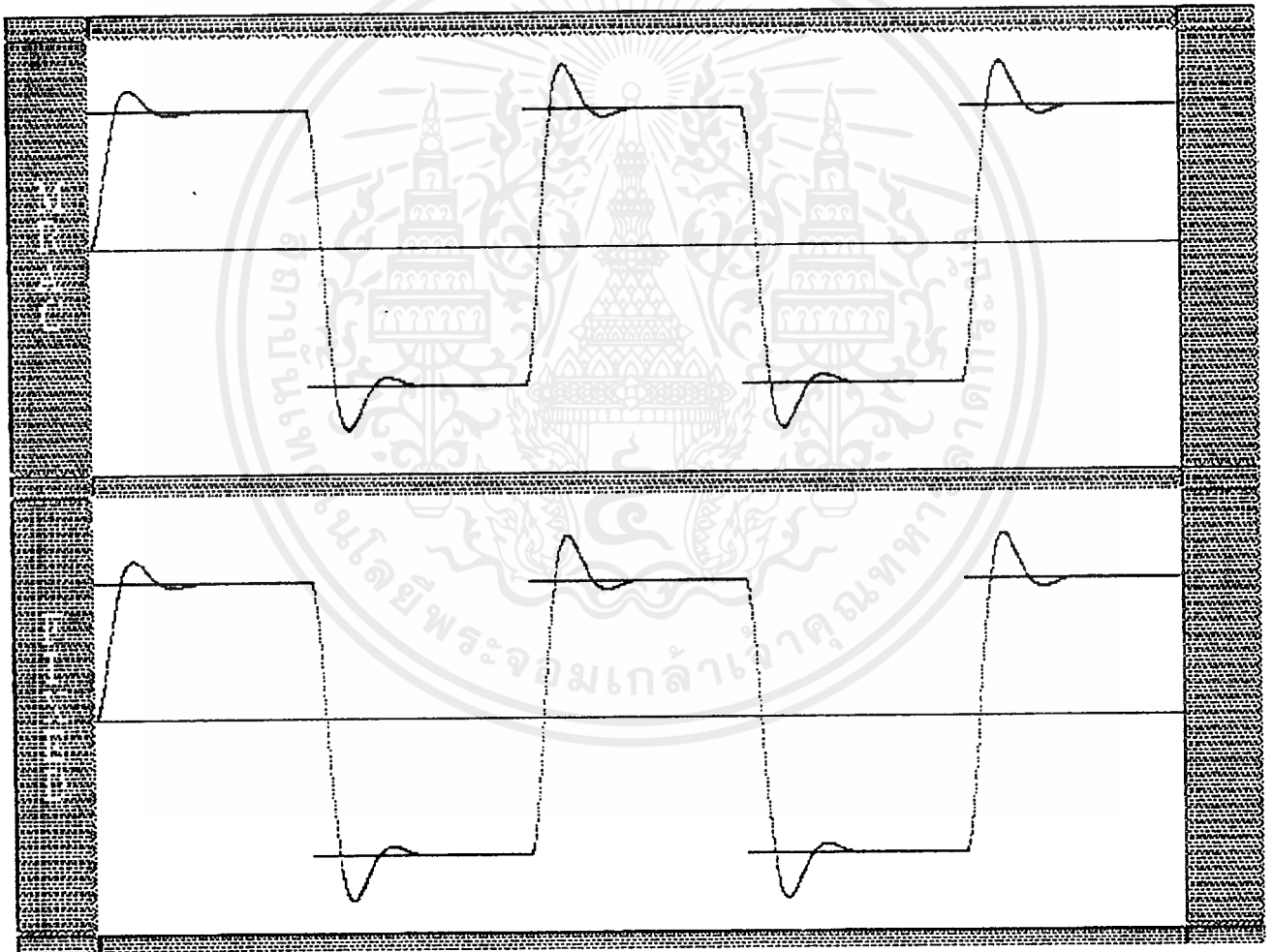
จากรูปสมการค่า γ_i' เสมือนเป็นอัตราเร็วในการปรับตัวเราจะเลือกค่าใดก็ได้ในที่นี่จะให้ เป็น 10

เอกสารนี้เป็นเอกสารที่สงวนไว้สำหรับการใช้งานเพื่อการศึกษาเท่านั้น ไม่อนุญาตให้นำไปใช้ประโยชน์ด้านการค้า ไม่ว่ากรณีใดๆ ทั้งสิ้น อีกทั้งห้ามมิให้ตัดแปลงเนื้อหาและต้องอ้างอิงถึงเจ้าของเอกสารทุกครั้งที่มีการนำไปใช้

3.6 ผลการจำลองระบบด้วยคอมพิวเตอร์ และการวิเคราะห์ผล

การจำลองระบบด้วยคอมพิวเตอร์ในหัวข้อนี้ได้นำผลการวิเคราะห์จากหัวข้อที่แล้วมาแปลงเป็นโปรแกรมจำลอง และ นำผลการจำลองมาแสดงในหัวข้อนี้ (ดูโปรแกรมในภาคผนวก ก)

เริ่มแรก จากสมการกระบวนการที่ (3.1) หรือ (3.2) กำหนดให้ค่า q เท่ากับ 1 หรือจุดทำงานปกติ กำหนดค่าเกนป้อนกลับสำหรับตัวควบคุมคงที่ ตามสมการที่ (3.9) เพื่อให้ได้ผลตอบสนองตามรูปแบบอ้างอิง และกำหนดค่าพารามิเตอร์ให้กับตัวควบคุมปฐมภูมิของการควบคุมแบบ MRAC เช่นเดียวกับที่กำหนดให้กับตัวควบคุมคงที่ (หมายเหตุ การควบคุมปฐมภูมิของ MRAC กับการควบคุมคงที่จะมีลักษณะเดียวกันคือการป้อนกลับสเตท ดังนั้นหากควบคุมกระบวนการคงที่ด้วยสองวิธีโดยตั้งค่าเดียวกันก็จะได้ผลตอบสนองเช่นเดียวกัน) การควบคุมทั้งสองแบบจะได้ผลเหมือนกันคือได้ผลตอบสนองตรงกับรูปแบบอ้างอิง คือได้โพลของระบบลูบปิดอยู่ที่ $-2 \pm 3.464j$ ดังรูป

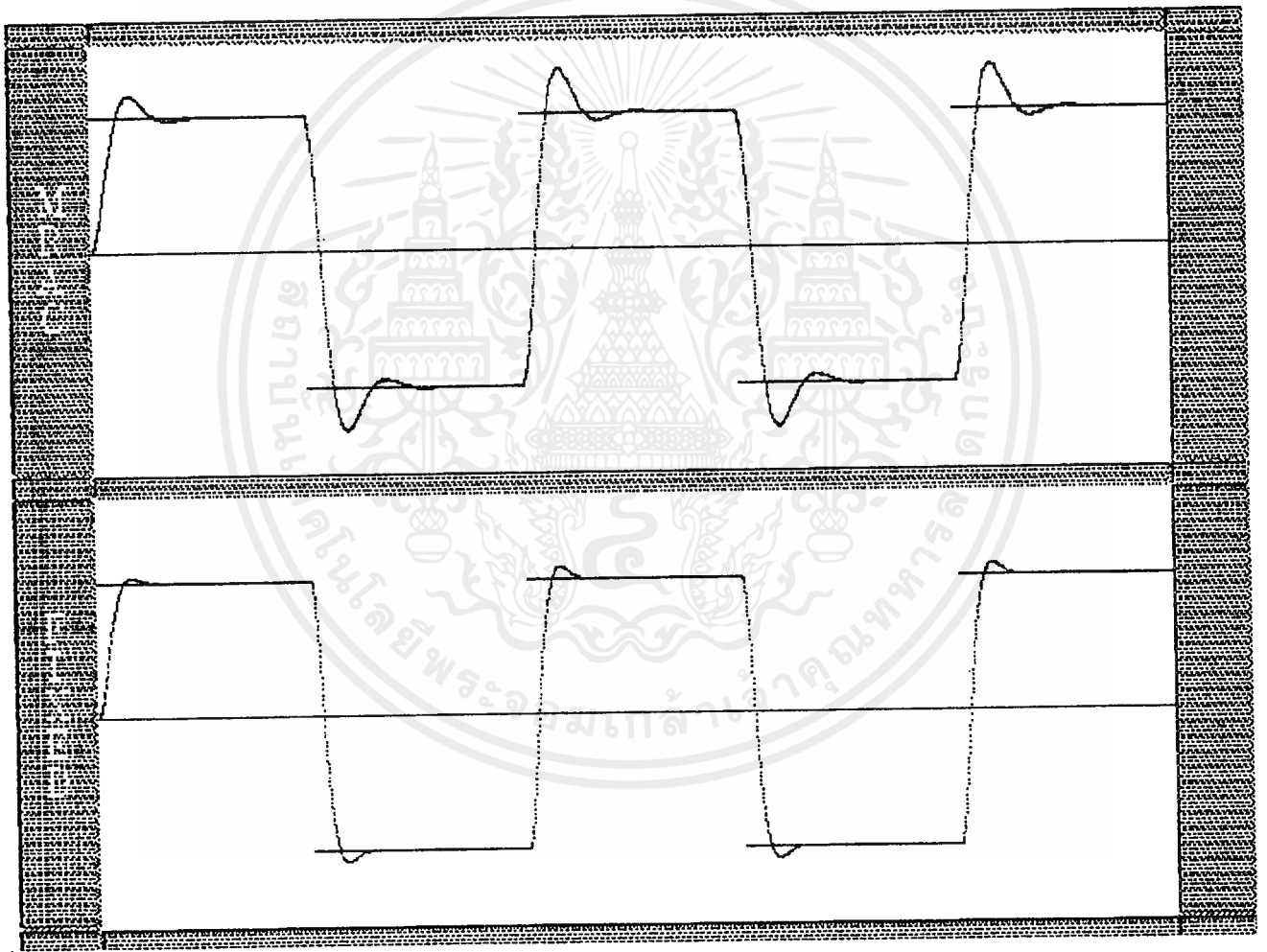


รูปที่ 3.5 ผลตอบสนองเบี่ยง q ของกระบวนการเท่ากับ 1

เอกสารนี้เป็นเอกสารที่สงวนไว้สำหรับการใช้งานเพื่อการศึกษาเท่านั้น ไม่อนุญาตให้นำไปใช้ประโยชน์ด้านการค้า ไม่ว่ากรณีใดๆ ทั้งสิ้น อีกทั้งห้ามมิให้ตัดแปลงเนื้อหาและต้องอ้างอิงถึงเจ้าของเอกสารทุกครั้งที่มีการนำไปใช้

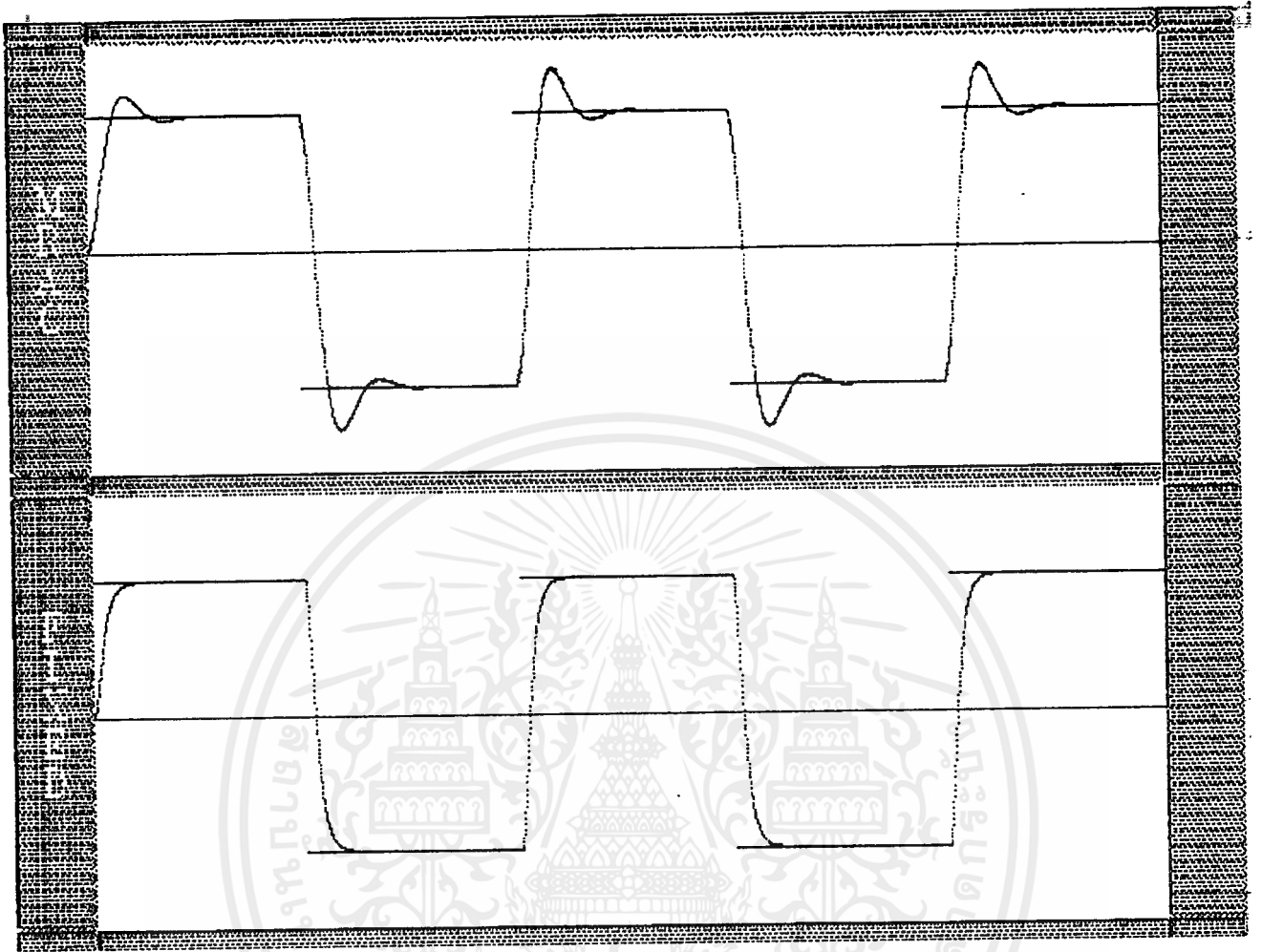
ผลการจำลองพิมพ์ออกมาจากคอมพิวเตอร์ หน้าต่างบนแสดงระบบที่ควบคุมด้วย MRAC หน้าต่างล่างแสดงระบบที่ควบคุมด้วยตัวควบคุมคงที่ แกนนอนเป็นแกนเวลาแกนตั้งเป็นขนาดของผลตอบสนอง หน้าต่างบนมีกราฟสองเส้นเส้นหนึ่งเป็นเส้นประ อีกเส้นหนึ่งเป็นเส้นทึบ เส้นประแสดงรูปแบบอ้างอิงที่ต้องการ เส้นทึบแสดงผลตอบสนองของระบบลูปปิดหากผลตอบสนองของระบบลูปปิดเหมือนรูปแบบอ้างอิงแล้วเส้นทึบจะทับเส้นประทำให้เห็นเป็นเส้นเดียว หน้าต่างล่างมีเส้นทึบเส้นเดียวแสดงผลตอบสนองของระบบลูปปิดเพียงอย่างเดียว อินพุทของระบบลูปปิด หรือ set point ของทั้งสองระบบ เป็น square wave ขนาดเท่ากับหนึ่ง คาบเวลา(ขึ้น ลงหนึ่งรอบ) เท่ากับ 10 วินาที แสดงด้วยเส้นทึบตรง ผลที่นำมาแสดงในที่นี้อาจเห็นไม่ชัดเจนเนื่องจากข้อจำกัดของการพิมพ์ สามารถใช้โปรแกรมในภาคผนวก ก ดูรายละเอียดอีกครั้ง โดยเส้นประที่นำมาแสดงในที่นี้จะถูกแทนด้วย เส้นสีแดง และ เส้นทึบแทนด้วยเส้นสีขาว

ต่อมาเปลี่ยนค่า q ของกระบวนการจาก 1 เป็น 2 แสดงผลดังรูป 3.6



รูปที่ 3.6 ผลตอบสนองเมื่อเปลี่ยน q จาก 1 เป็น 2

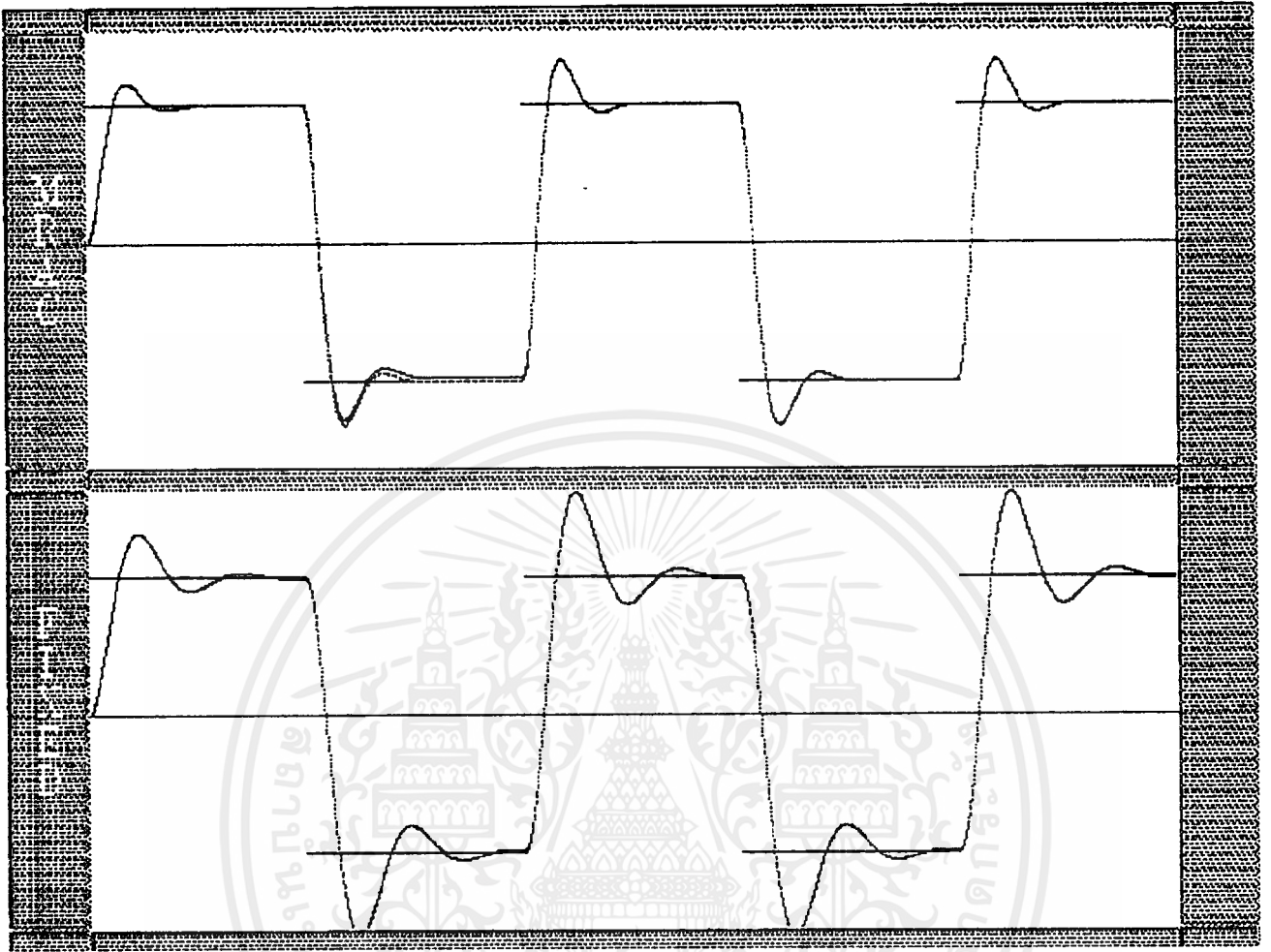
เปลี่ยน q ของกระบวนการจาก 1 เป็น 4 ผลแสดงดังรูปที่ 3.7



รูปที่ 3.7 ผลตอบสนองเมื่อเปลี่ยน q จาก 1 เป็น 4

เอกสารนี้เป็นเอกสารที่สงวนไว้สำหรับการใช้งานเพื่อการศึกษาเท่านั้น ไม่อนุญาตให้นำไปใช้ประโยชน์ด้านการค้า ไม่ว่ากรณีใดๆ ทั้งสิ้น อีกทั้งห้ามมิให้ดัดแปลงเนื้อหาและต้องอ้างอิงถึงเจ้าของเอกสารทุกครั้งที่มีการนำไปใช้

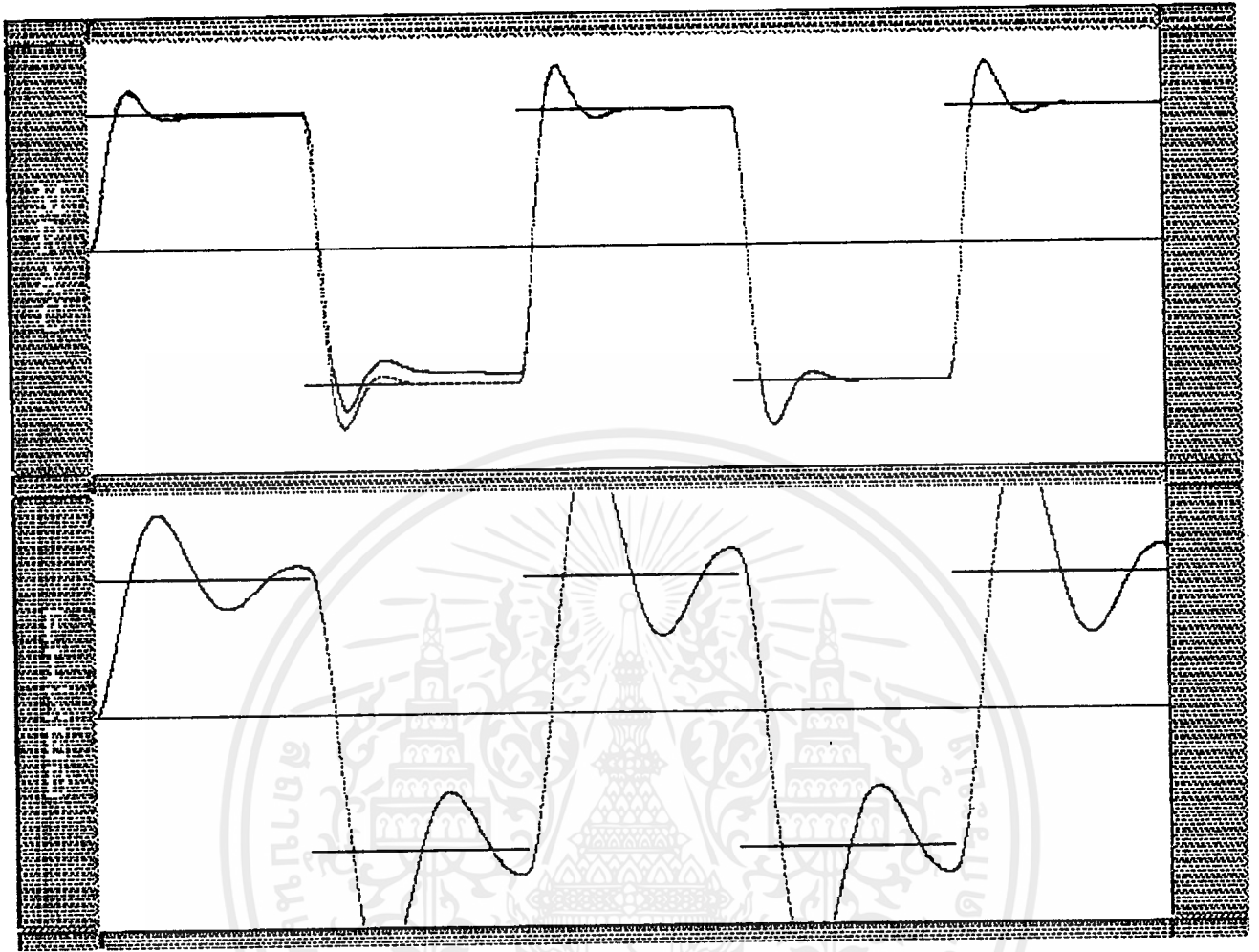
เปลี่ยน q ของกระบวนการจาก 1 เป็น 0.5 ผลแสดงดังรูปที่ 3.8



รูปที่ 3.8 ผลตกบนลงเมื่อเปลี่ยน q จาก 1 เป็น 0.5

เอกสารนี้เป็นเอกสารที่สงวนไว้สำหรับการใช้งานเพื่อการศึกษาเท่านั้น ไม่อนุญาตให้นำไปใช้ประโยชน์ด้านการค้าไม่ว่ากรณีใดๆ ทั้งสิ้น อีกทั้งห้ามมิให้ตัดแปลงเนื้อหาและต้องอ้างอิงถึงเจ้าของเอกสารทุกครั้งที่มีการนำไปใช้

เปลี่ยน q ของกระบวนการจาก 1 เป็น 0.25 ผลแสดงดังรูปที่ 3.9

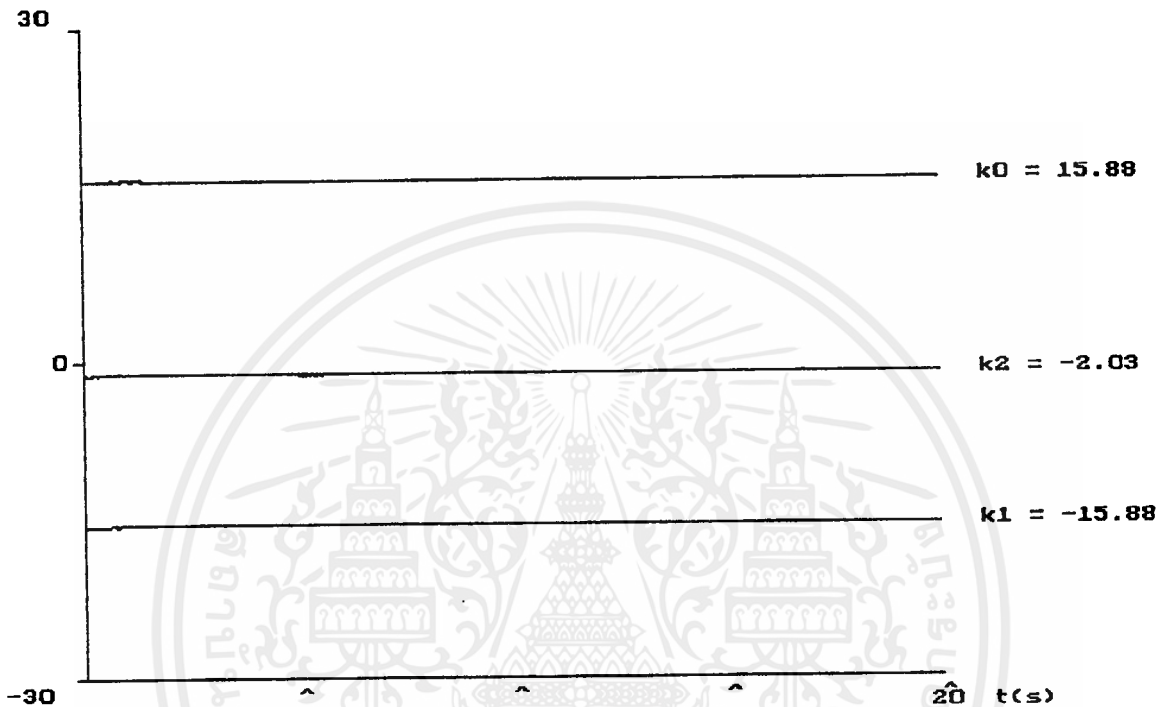


รูปที่ 3.9 ผลตอบสนองเมื่อเปลี่ยน q จาก 1 เป็น 0.25

จากผลการจำลองจะเห็นว่าเมื่อตัวกระบวนการมีการเปลี่ยนแปลงไป ในตัวควบคุมคงที่ซึ่งได้ออกแบบพารามิเตอร์ไว้ตายตัวจะไม่สามารถเปลี่ยนแปลงตัวเองได้ทำให้ตำแหน่งของโพลลูบปิดย้ายไปจากตำแหน่งที่เราต้องการ ซึ่งทำให้การตอบสนองของระบบเปลี่ยนแปลงไป สำหรับตัวควบคุม MRAC แม้ว่ากระบวนการจะมีการเปลี่ยนแปลงไป ตัวควบคุมก็ยังสามารถเปลี่ยนแปลงตัวเองให้ระบบลูบปิดยังคงมีโพลอยู่ที่ตำแหน่ง $-2 \pm 3.464j$ ได้ ซึ่งทำให้การตอบสนองของระบบลูบปิดยังคงเป็นไปตามที่ต้องการ

การที่ MRAC ยังคงสามารถควบคุมให้ได้สมรรถภาพตามที่ต้องการได้ ในขณะที่ตัวควบคุม
 คงที่ไม่สามารถทำได้ เนื่องจากการที่ตัวควบคุม MRAC สามารถเปลี่ยนแปลงค่า k_i ได้โดยอาศัยกฎการ
 ปรับตัวตามสมการ (3.16) ในขณะที่ตัวควบคุมคงที่ไม่สามารถเปลี่ยนแปลงค่า k_i ได้ ดังจะได้มีการแสดง
 การเปลี่ยนแปลงของค่า k_i ดังต่อไปนี้ (สอดคล้องกับรูปที่ 3.5 3.7 และ 3.9)

เมื่อ $q = 1$

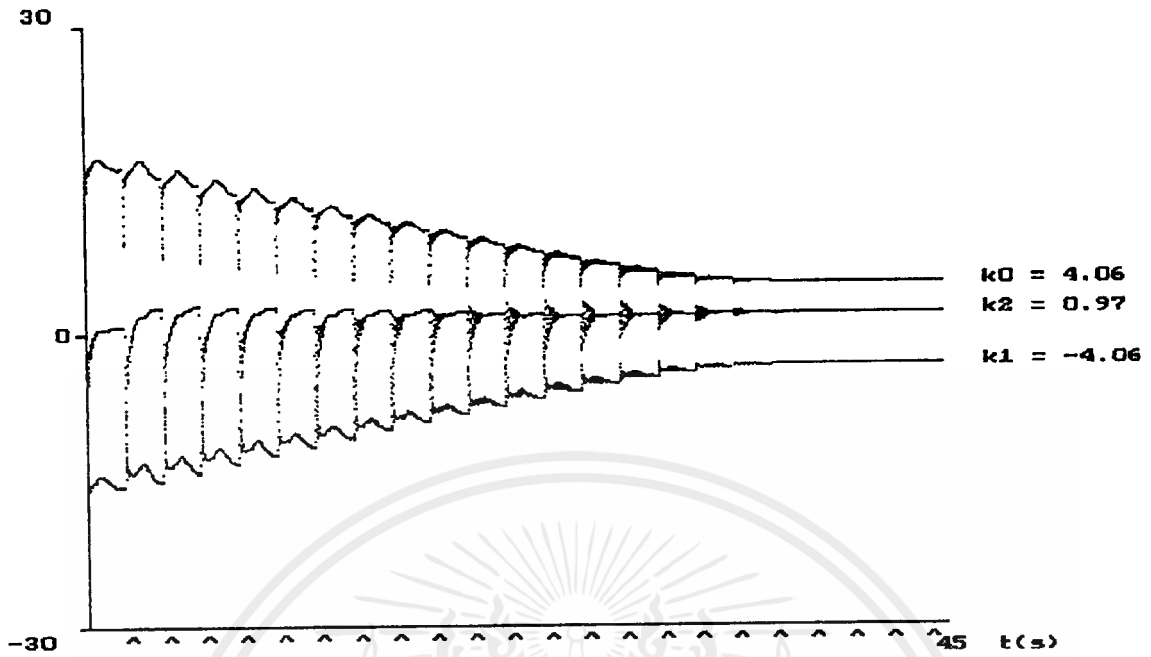


รูปที่ 3.10 ค่า k_i ของตัวควบคุม MRAC เมื่อ q มีค่าคงที่เท่ากับ 1

ในรูปแกนตั้งเป็นค่า k_i แกนนอนเป็นเวลา จะพบว่าค่า k_i ของ MRAC จะไม่มีการเปลี่ยนแปลงเนื่องจาก
 ตอนเริ่มต้นได้มีการตั้งค่า k_i ที่เหมาะสมไว้ แล้วและจะเห็นว่าถ้าค่า k_i จะไม่หนีจากค่าที่เหมาะสมนั้น ในรูป
 ที่แกนเวลาตรงที่มีหัวลูกศรเป็นจุดที่เปลี่ยนแปลง set point คาบของหัวลูกศรเป็นครึ่งหนึ่งของ square
 wave ในรูปที่ 3.5 ถึง 3.9 คือช่วงห่างของหัวลูกศรเป็นเวลาเท่ากับ 5 วินาที

โปรแกรมแสดงค่า k_i ไม่ได้เสนอไว้ในภาคผนวก แต่สามารถนำโปรแกรมในภาคผนวก ก
 มาดัดแปลงได้

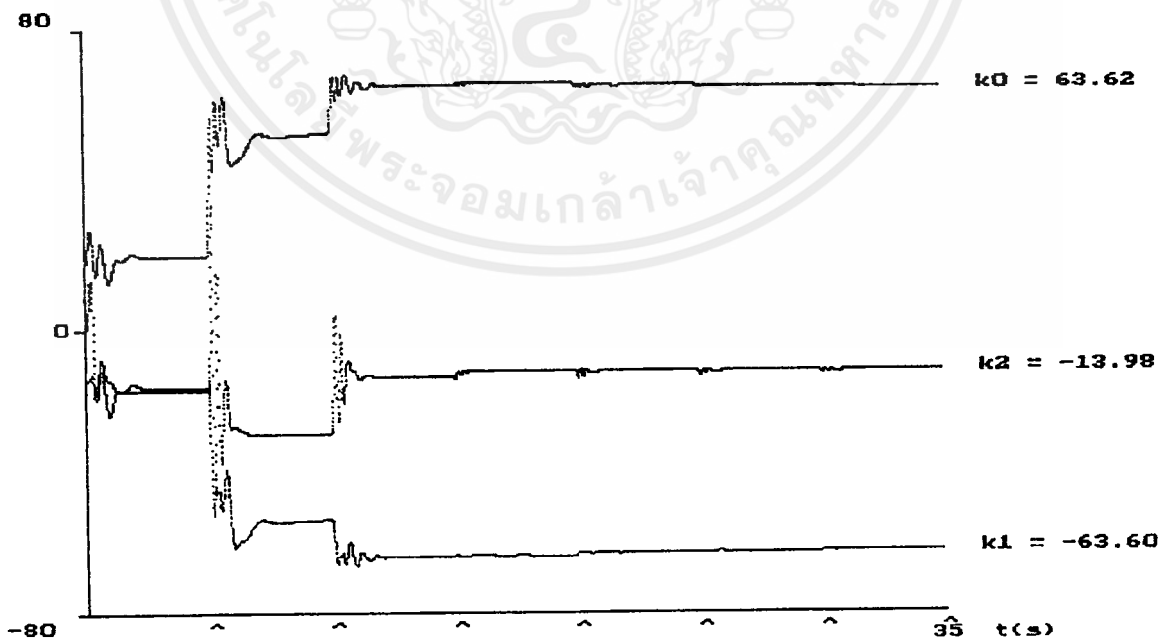
เมื่อ q เปลี่ยนจาก 1 เป็น 4



รูปที่ 3.11 ค่า k_i ของตัวควบคุม MRAC เมื่อ q เปลี่ยนจาก 1 เป็น 4

จะพบว่าค่า k_i ของ MRAC จะมีการเปลี่ยนแปลงจากค่าเริ่มต้น เข้าสู่ค่า k ที่เหมาะสมกับกระบวนการที่มีค่า $q = 4$ โดยการทำงานของกฎการปรับตัวตามสมการ (3.16) (คาบของหัวลูกศรมีค่าเท่ากับ 2 วินาทีซึ่งต่างจากรูปที่ 3.7 ซึ่งเป็นรูปที่สอดคล้องกัน การเปลี่ยนคาบของหัวลูกศรที่ควรเป็น 5 วินาทีเช่นเดียวกับรูป 3.7 มาเป็น 2 วินาทีเนื่องจากค่า k เปลี่ยนช้าเกินไป จึงเลือกคาบการเปลี่ยนระดับสัญญาณให้เร็วขึ้น)

เมื่อ q เปลี่ยนจาก 1 เป็น 0.25



รูปที่ 3.12 ค่า k_i ของตัวควบคุม MRAC เมื่อ q เปลี่ยนจาก 1 เป็น 0.25

จะพบว่าค่า k_i ของ MRAC จะมีการเปลี่ยนแปลงจากค่าเริ่มต้น เข้าสู่ค่า k ที่เหมาะสมกับกระบวนการที่มีค่า $q = 0.25$ โดยการทำงานของกฎการปรับตัวตามสมการ (3.16) (แม้ว่ากรณีใดๆ ทั้งสิ้น อีกทั้งห้ามมิให้ตัดแปลงเนื้อหาและต้องอ้างอิงถึงเจ้าของเอกสารทุกครั้งที่มีการนำไปใช้)

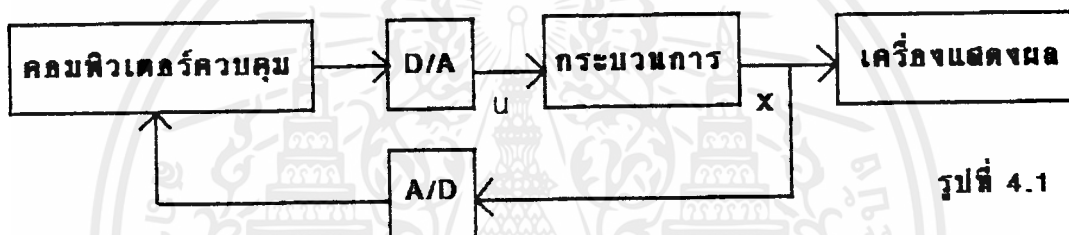
บทที่ 4

การควบคุมระบบจริงด้วย MRAC

ในบทที่แล้วได้แสดงการจำลองการควบคุมระบบด้วยคอมพิวเตอร์ ในวิธี MRAC ซึ่งเป็นการควบคุมภายใต้เงื่อนไขที่ทุกองค์ประกอบของระบบเป็นอุดมคติตามทฤษฎี สำหรับในบทที่ 4 นี้เป็นการแสดงการทดลองการควบคุมระบบจริงด้วยวิธี MRAC จุดประสงค์ก็เพื่อศึกษาผลของการควบคุมในทางปฏิบัติ ภายใต้ องค์ประกอบที่ไม่เป็นอุดมคติซึ่งจะแสดงถึงความมั่นคงของทฤษฎีต่อสภาพแวดล้อม (robustness) ในการทดลองได้มีการทดลองเปรียบเทียบกับ การควบคุมคงที่เช่นเดียวกับบทที่แล้วด้วย

4.1 องค์ประกอบในการทดลอง

องค์ประกอบในการทดลองแสดงได้ดังรูปที่ 4.1



รูปที่ 4.1

สัญญาณอนาลอกทั้งหมดในระบบอยู่ในช่วงไม่เกิน 12 ถึง -12 โวลต์ ระบบทั้งหมดทำเลียนแบบระบบที่ได้จำลอง ในบทที่ 3

คอมพิวเตอร์ควบคุม

การควบคุมกับระบบจริงเราใช้คอมพิวเตอร์ทำหน้าที่เป็นตัวควบคุม การควบคุมจึงเป็นแบบไม่ต่อเนื่อง แต่เราใช้ความถี่ในการควบคุมสูงพอสมควรเมื่อเทียบกับความถี่ของระบบดังนั้นจึงนำระเบียบวิธีของแบบต่อเนื่องที่กล่าวในบทที่แล้วมาใช้

การควบคุมใช้อินเทอร์รัพของ timer ของคอมพิวเตอร์ (interrupt 1C) มาใช้ซึ่งจะทริกด้วยความถี่ 18.2044 Hz หมายความว่าคาบเวลาในการสุ่มสัญญาณจะมีค่าประมาณ 0.055 วินาที และช่วงเวลาในการคำนวณค่าสัญญาณควบคุมตามวิธี MRAC มีค่าประมาณ 1/94 เท่าของช่วงการสุ่มสัญญาณ หรือ ประมาณ 1 เปอร์เซ็นต์ของช่วงการสุ่มสัญญาณ (ใช้เครื่องคอมพิวเตอร์ IBM compatible, 80386, math co-processor) โปรแกรมที่ใช้ควบคุมอยู่ในภาคผนวก ข

A/D และ D/A

เนื่องจากตัวควบคุมใช้คอมพิวเตอร์ดังนั้นจึงต้องมีการแปลงสัญญาณเข้าซึ่งเป็นเสตท x และ x' จากอนาลอกให้กลายเป็นดิจิตอล (A/D) และแปลงสัญญาณออกซึ่งเป็นสัญญาณควบคุม u (ที่ได้จากการคำนวณด้วยคอมพิวเตอร์) จากดิจิตอลให้เป็นอนาลอก (D/A)

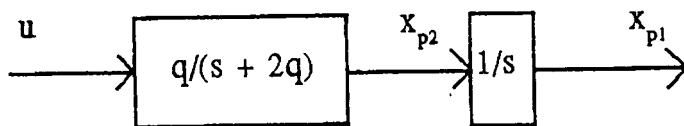
ตัวแปลงสัญญาณ A/D ใช้การ์ด PCL 726, Lab card ส่วนตัวแปลงสัญญาณ D/A ใช้การ์ด PCL 812, Lab card สัญญาณทางอนาลอกอยู่ในช่วงไม่เกิน ± 10 โวลต์

ไม่ว่ากรณีใดๆ ทั้งสิ้น อีกทั้งห้ามมิให้ตัดแปลงเนื้อหาและต้องอ้างอิงถึงเจ้าของเอกสารทุกครั้งที่มีการนำไปใช้

กระบวนการ

กระบวนการจริงที่ใช้ควบคุมได้แก่ process simulator PTS-10 ของบริษัท Pacific ซึ่งเป็นกระบวนการอิเล็กทรอนิกส์ที่วัดคลองระบบเชิงเส้นสามารถปรับทรานเฟอร์ฟังก์ชันและพารามิเตอร์ได้

ทรานเฟอร์ฟังก์ชันของกระบวนการเป็นเช่นเดียวกับที่ได้จำลองในบทที่ 3 อันได้แก่สมการ 3.1 แต่ได้แปลงรูปให้สามารถใช้กับ PTS-10 ได้ดังบล็อกไดอะแกรมข้างล่าง



สัญญาณเข้าออก และ สัญญาณในกระบวนการเป็นสัญญาณไฟฟ้าอยู่ในช่วงไม่เกิน ± 12 โวลต์

หมายเหตุ PTS-10 คุณสมบัติใกล้เคียงกับอุดมคติมาก คือ เป็นเชิงเส้นและมีสัญญาณรบกวนน้อยมาก

เครื่องวัดแสดงผล

เป็นเครื่อง Servocorder SR 6221 ของบริษัท Graphtec ซึ่งใช้วัดสัญญาณไฟฟ้าและเขียนออกมาด้วยปากกา ดังนั้นผลที่แสดงในบทนี้จะมาจากเครื่องวัดนี้ โดยสัญญาณแต่ละเส้นจะเป็นสัญญาณที่มีอัตราส่วนเดียวกันซึ่งอยู่ระหว่าง ± 10 โวลต์

ผลการทดลองของกระบวนการจริงที่นำมาแสดงในที่นี้เป็นผลที่ได้จากการบันทึกของ Servocorder กระดาษกราฟมีอัตราส่วนในแนวตั้ง 42 ช่องต่อ 10 โวลต์ หรือประมาณ 1 ช่องต่อ 0.25 โวลต์ สำหรับอัตราส่วนในแนวนอนประมาณ 1 ช่องต่อ 2 วินาที

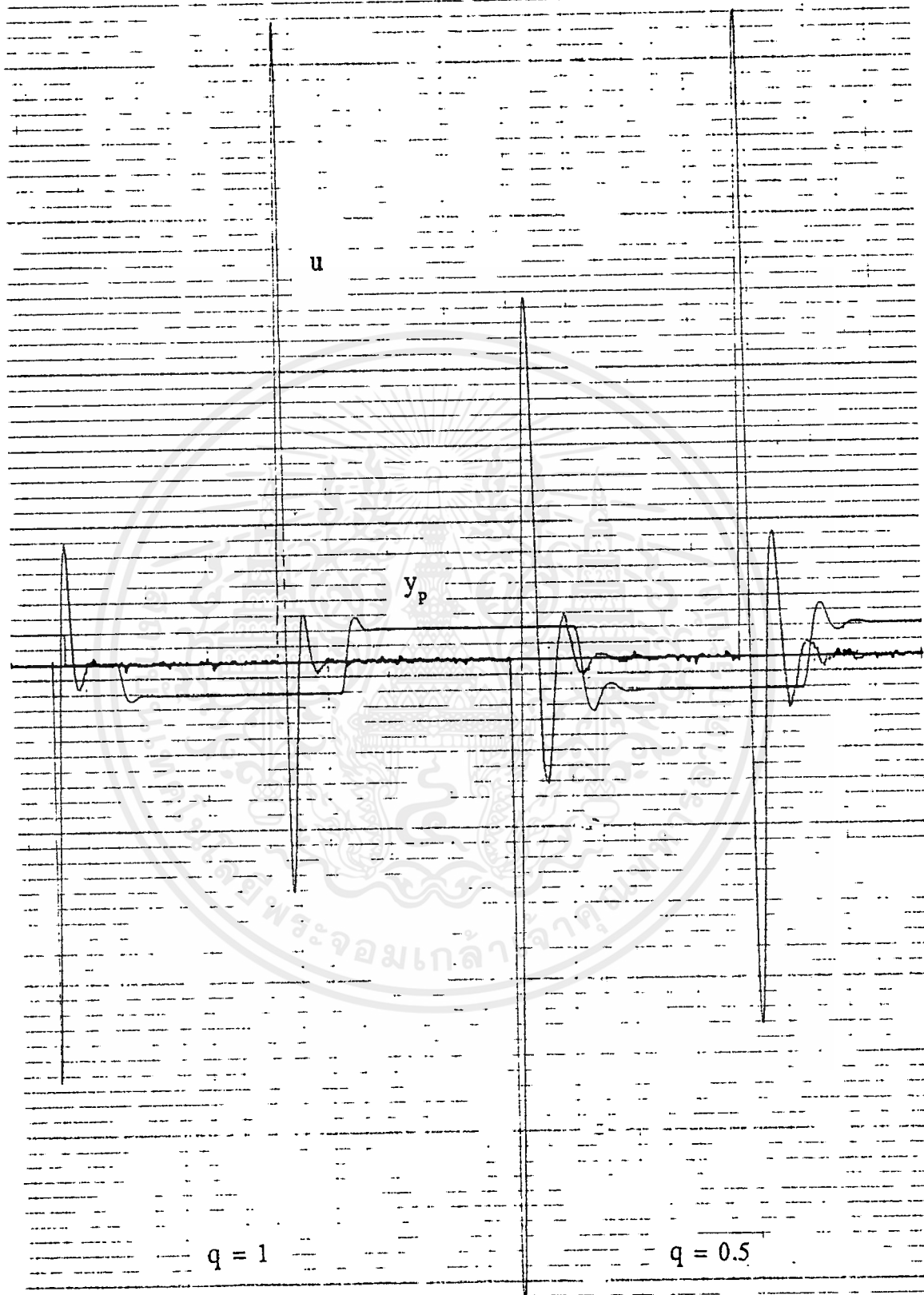
รูปแบบของสัญญาณอ้างอิง (set point) ที่ใช้ทดลอง

ดังได้กล่าวไว้แล้วว่า การทดลองกับกระบวนการจริงเลียนแบบลักษณะทุกอย่างจากการจำลองด้วยคอมพิวเตอร์ในบทที่ 3 ดังนั้นสัญญาณอ้างอิงหรือ set point จึงเป็น square wave เช่นเดียวกันแต่มีส่วนที่ต่างกันคือคาบของ set point ที่เป็น square wave เปลี่ยนจาก 10 วินาทีเป็น 30 วินาที สำหรับแอมพลิจูดของ set point จะเปลี่ยนไปตามการทดลองในแต่ละขั้น

4.2 วิเคราะห์ผลการควบคุมระบบจริงโดยใช้ตัวควบคุมคงที่ หรือ ตัวควบคุมสแตปออนก๊อ

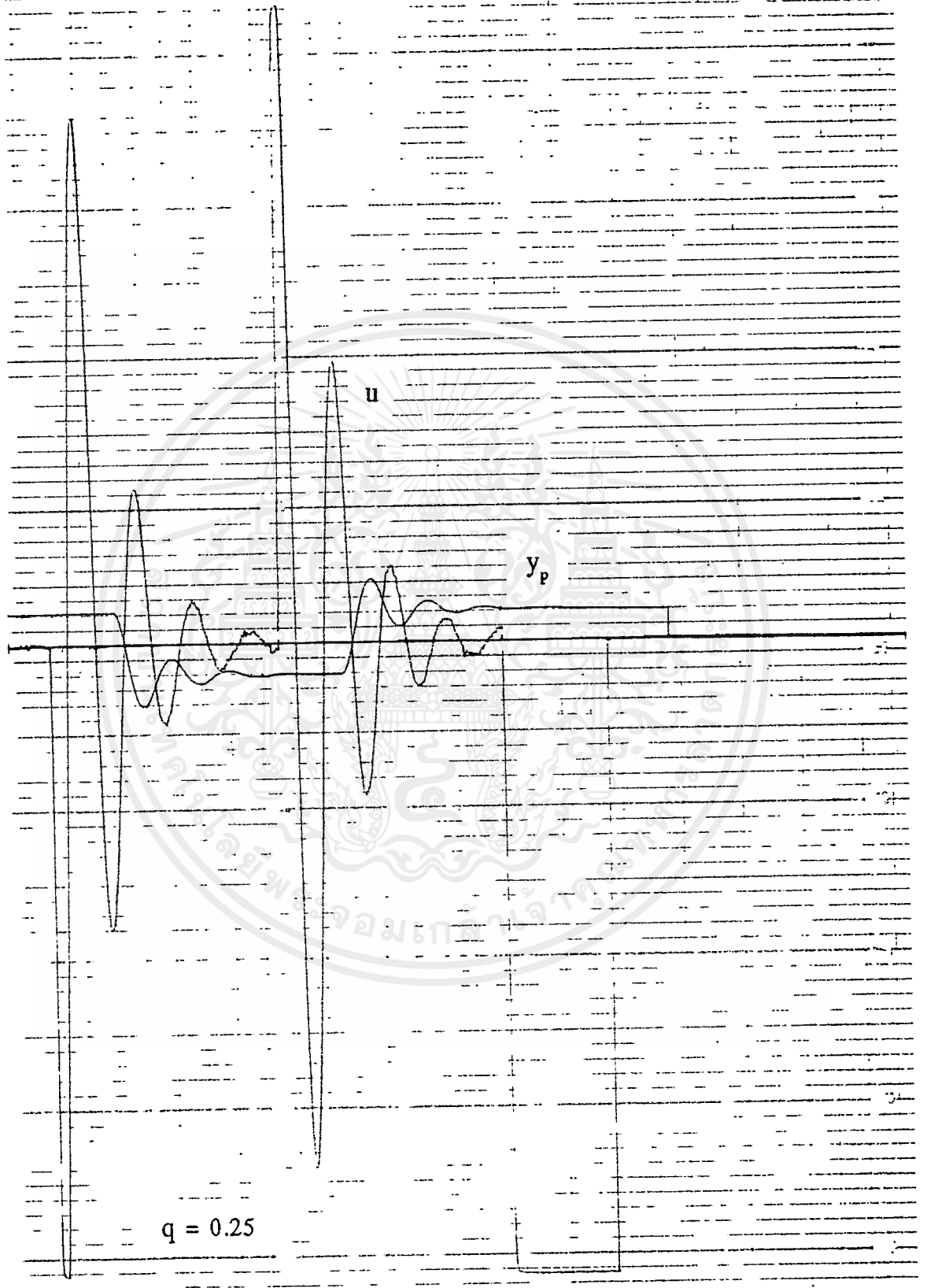
ผลที่ได้เป็นเช่นเดียวกับที่ได้จากการจำลองด้วยคอมพิวเตอร์ แสดงดังรูปที่ 4.2

จากรูปที่ 4.2 จะพบว่าการใช้ตัวควบคุมคงที่ จะสามารถควบคุมระบบได้ตามต้องการเมื่อกระบวนการยังไม่มีเปลี่ยนแปลง แต่เมื่อระบบมีการเปลี่ยนแปลง โดยการเปลี่ยนแปลงค่า q จะพบว่าโพลของลูปปิดมีการเปลี่ยนตำแหน่ง ทำให้พฤติกรรมของระบบเกิดการแกว่งมากขึ้น



รูปที่ 4.2 ผลการทดลองกับระบบจริงเมื่อตัวควบคุมเป็นการป้อนกลับสเตท

เอกสารนี้เป็นเอกสารที่สงวนไว้สำหรับการใช้งานเพื่อการศึกษาเท่านั้น ไม่อนุญาตให้นำไปใช้ประโยชน์ด้วยการค้า
ไม่ว่ากรณีใดๆ ทั้งสิ้น อีกทั้งห้ามมิให้ตัดแปลงเนื้อหาและต้องอ้างอิงถึงเจ้าของเอกสารทุกครั้งที่มีการนำไปใช้



รูปที่ 4.2 ผลการทดลองกับระบบจริงเมื่อตัวควบคุมเป็นการป้อนกลับสเตท

เอกสารนี้เป็นเอกสารที่สงวนไว้สำหรับใช้ในการเรียนการสอนเท่านั้น ไม่อนุญาตให้นำไปใช้ประโยชน์ด้านการค้า
ไม่ว่ากรณีใดๆ ทั้งสิ้น อีกทั้งห้ามมี^{2,4}ดแปลงเนื้อหาและต้องอ้างอิงถึงเจ้าของเอกสารทุกครั้งที่มีการนำ^{2,3}ไปใช้

4.3 การวิเคราะห์การควบคุมระบบจริงโดยใช้ตัวควบคุม MRAC

เมื่อทำการติดตั้งระบบครบถ้วนได้มีการบันทึกผลการทดลองต่าง ๆ ดังนี้

ขั้นที่ 1

รูปที่ 4.3 เมื่อตั้ง set point เท่ากับ 5.0 โวลต์ และ γ ทุกตัวเท่ากับ 1 (ในสมการ 16) พบว่าได้ผลดัง

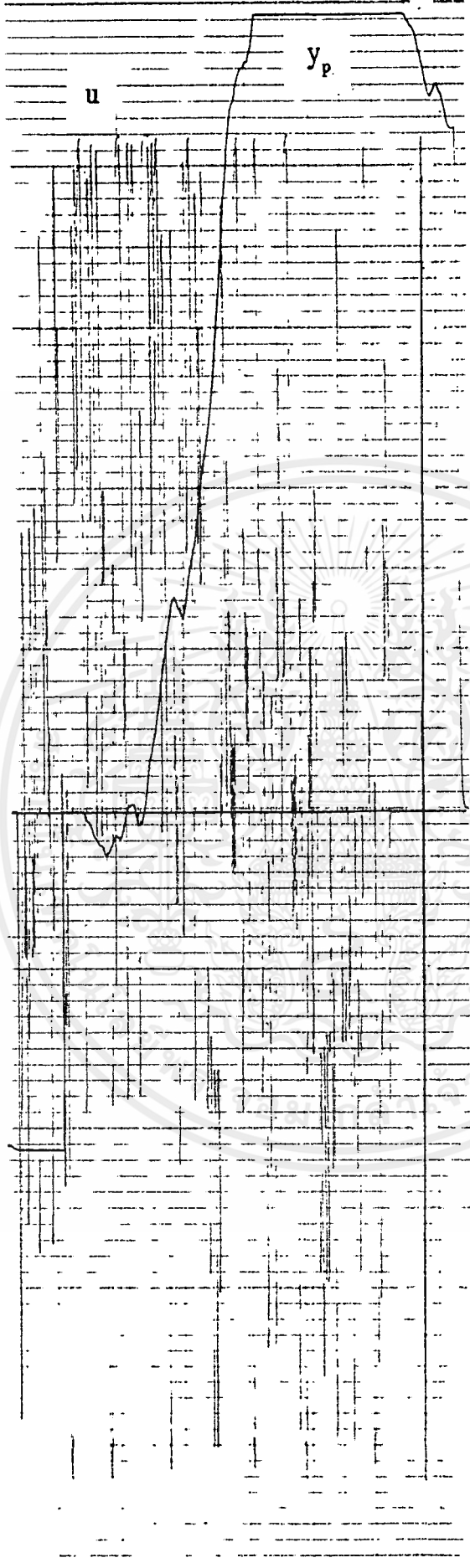
รูปที่ 4.4 และ เมื่อตั้ง set point เท่ากับ 5.0 โวลต์ และ ลดค่า γ ทุกตัวให้เป็น 0.1 ผลที่ได้เป็นดัง

วิเคราะห์ผลการทดลองขั้นที่ 1

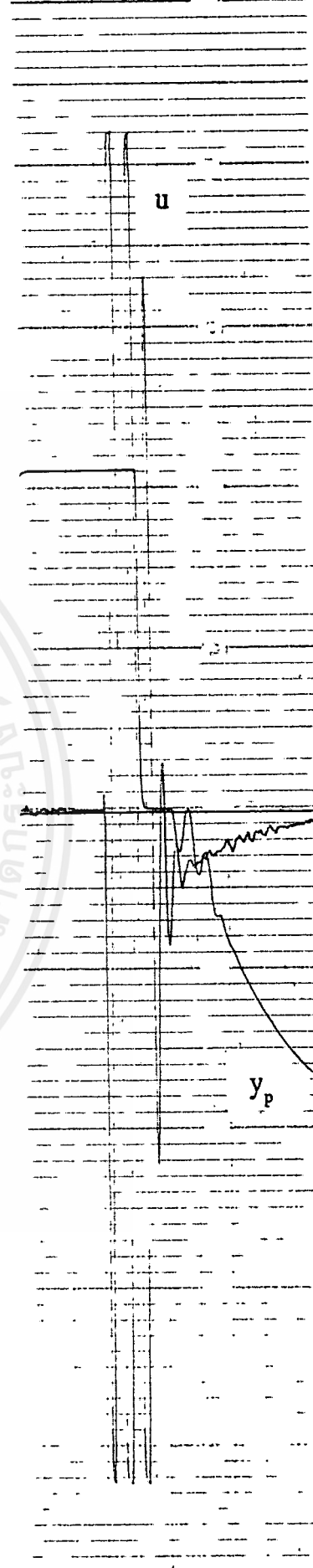
จากผลทั้งสองจะเห็นว่าเกิดการแกว่งของสัญญาณขึ้น ซึ่งเป็นผลจากการที่การปรับตัวเร็วเกินไป และ เนื่องจากมีการตั้ง set point ที่สูงจนสัญญาณ u ที่ออกจากคอมพิวเตอร์ไปยังระบบเกิดการอิ่มตัว (สัญญาณ u จะต้องมีค่าอยู่ภายใน ± 10 โวลต์)



รูปที่ 4.4 ผลการทดลองกับระบบจริงเมื่อใช้ตัวควบคุม MRAC , $sp = 5.0$, $\gamma = 0.1$



รูปที่ 4.3 ผลการทดลองกับระบบจริงเมื่อใช้ตัวควบคุม MRAC , $sp = 5.0$, $\gamma = 1$



ขั้นที่ 2

ตั้ง set point เท่ากับ 0.5 โวลต์ และ γ เท่ากับ 1 เพื่อลดผลที่เกิดจากการอิมพัลส์ของ u จะได้ผลว่าระบบสามารถทำงานได้ดังรูปที่ 4.5

จากผลการทดลองพบว่า MRAC สามารถทำงานได้ แต่จะเห็นว่าเกิดผลคือค่า k จะมีการเปลี่ยนแปลงสูงขึ้นเรื่อย ๆ ซึ่งทำให้พฤติกรรมของเอาต์พุตมีการเปลี่ยนแปลง ไม่ได้เข้าสู่รูปแบบอ้างอิง

และถ้าปล่อยให้ระบบดำเนินการไปได้ช่วงเวลาหนึ่งจะทำให้ค่า k มีค่าเพิ่มขึ้นจนมีค่าสูงมาก ซึ่งแสดงผลดังรูปที่ 4.6

ซึ่งถ้าค่า k มีค่าสูงมากเกินไปจะทำให้ระบบมีการแกว่งของสัญญาณ

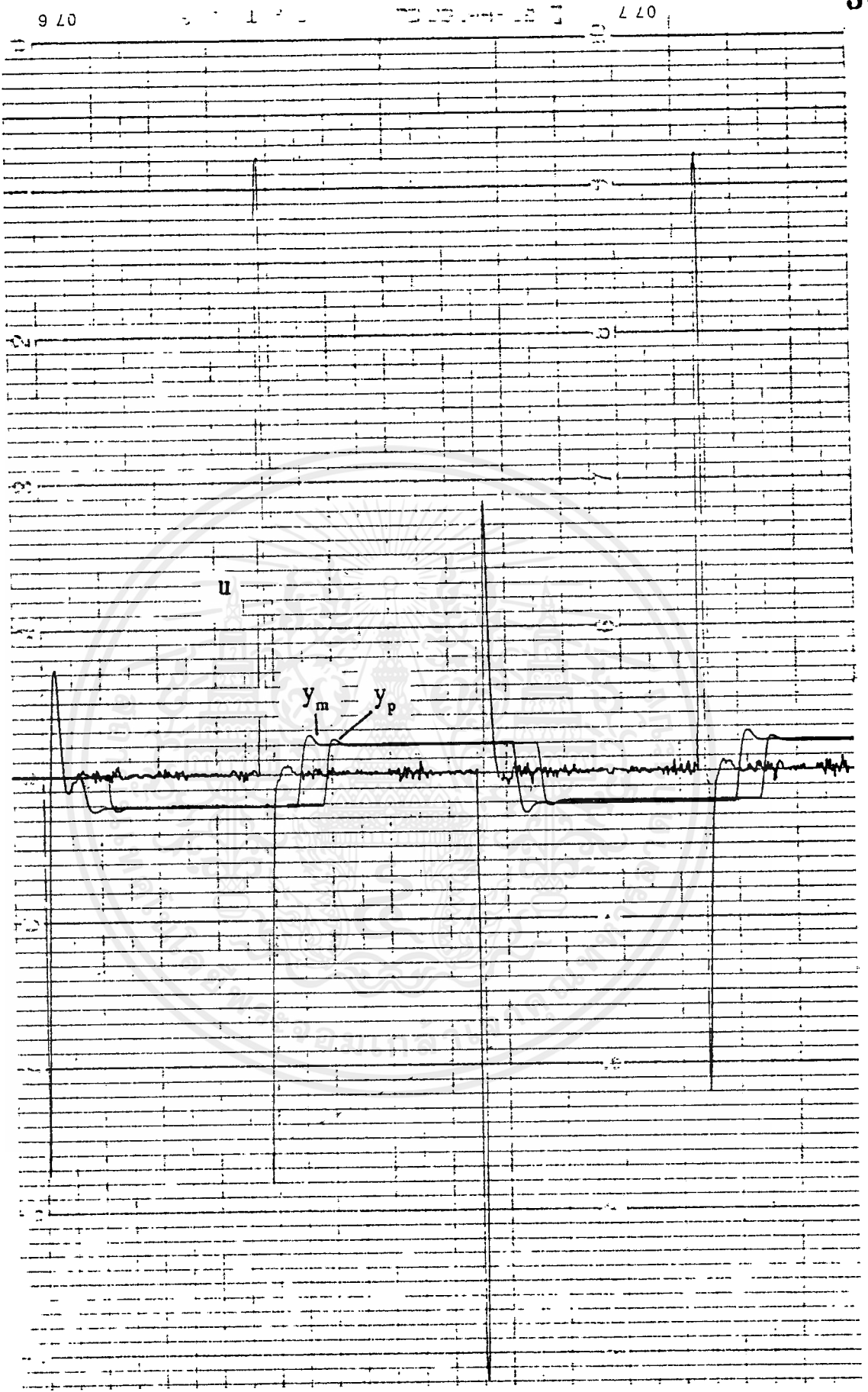
ในขั้นนี้แม้ว่าพฤติกรรมของระบบจะไม่เข้าสู่รูปแบบอ้างอิงแต่เมื่อมีการเปลี่ยนแปลงค่า q ของกระบวนการจะ ได้ผลดังรูปที่ 4.7

ผลที่เกิดขึ้นจะเห็นว่า ผลตอบสนองของระบบก็ยังคงดีกว่า ผลตอบสนองของตัวควบคุมคงที่ (เปรียบเทียบรูป 4.2 และ 4.7 ซึ่งเป็นการควบคุมภายใต้เงื่อนไขเดียวกัน)

การที่ผลตอบสนองของกระบวนการจริงไม่เป็นไปตามทฤษฎีนั้นสามารถแยกสาเหตุที่สำคัญได้ ดังนี้

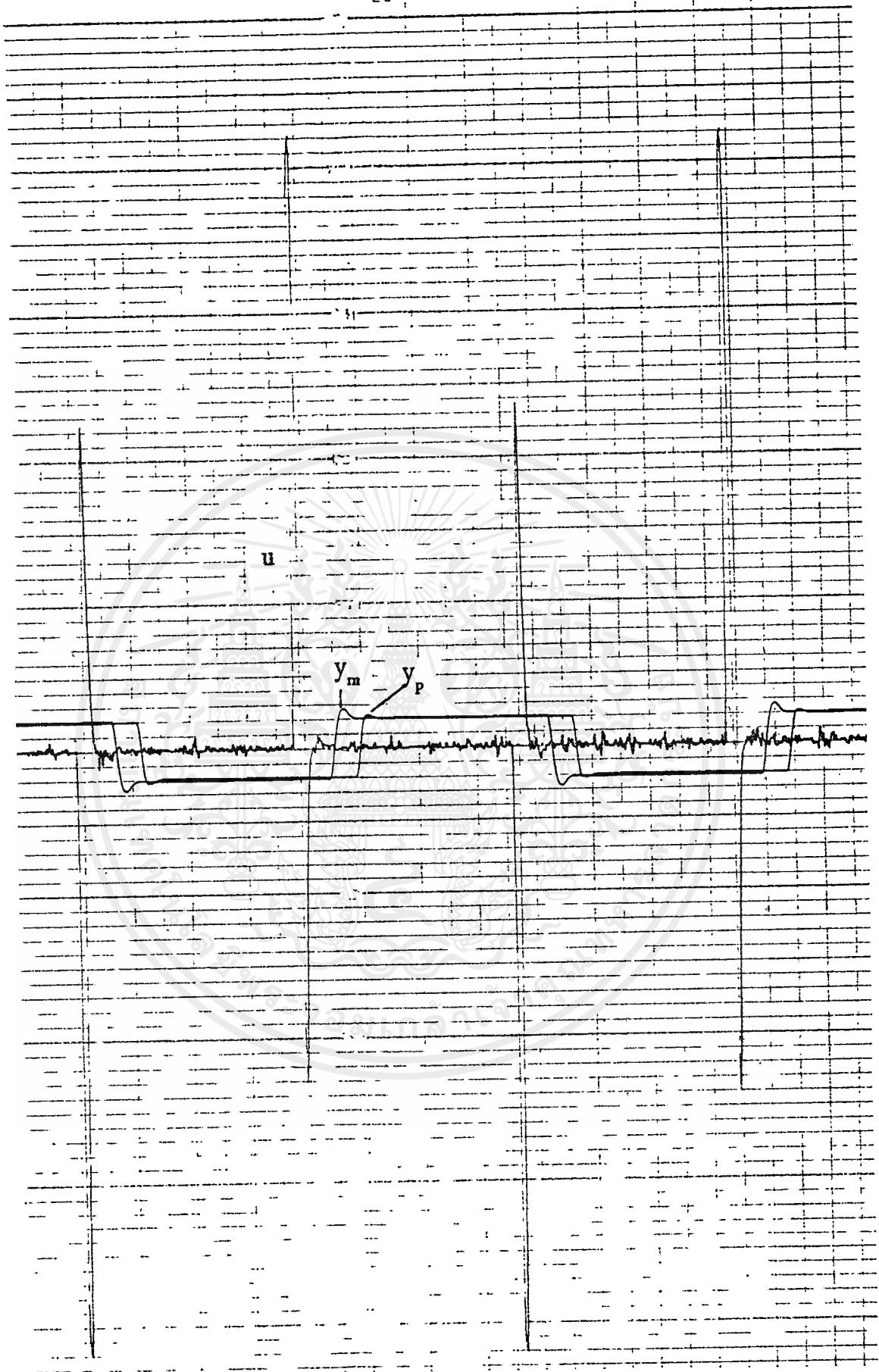
- สัญญาณมีการอิมพัลส์
- ระบบโดยรวมอาจไม่ใช่อันดับสองจริง ถึงแม้ว่า PTS-10 จะมีคุณสมบัติเป็นอุดมคติ แต่อุปกรณ์อินเทอร์เฟซอาจทำให้เกิดโพลาไรซ์ที่อยู่ที่ไกลซึ่งมองไม่เห็นอย่างชัดเจน
- อาจมีสัญญาณรบกวน

เนื่องจาก PTS-10 มีคุณสมบัติใกล้เคียงกับอุดมคติดังนั้นสัญญาณรบกวนควรมีผลน้อยในที่นี้ (แต่ในสถานการณ์อื่นอาจมีความสำคัญอย่างยิ่ง) ดังนั้นในหัวข้อต่อไปจะใช้สาเหตุที่สมมติฐานไว้ในสองข้อแรกเป็นพื้นฐาน และใช้โปรแกรมจำลองระบบในบทที่ 3 หรือในภาคผนวก ก เป็นเครื่องมือในการศึกษาถึงผลตอบสนองของระบบควบคุมต่อสถานการณ์ทั้งสอง



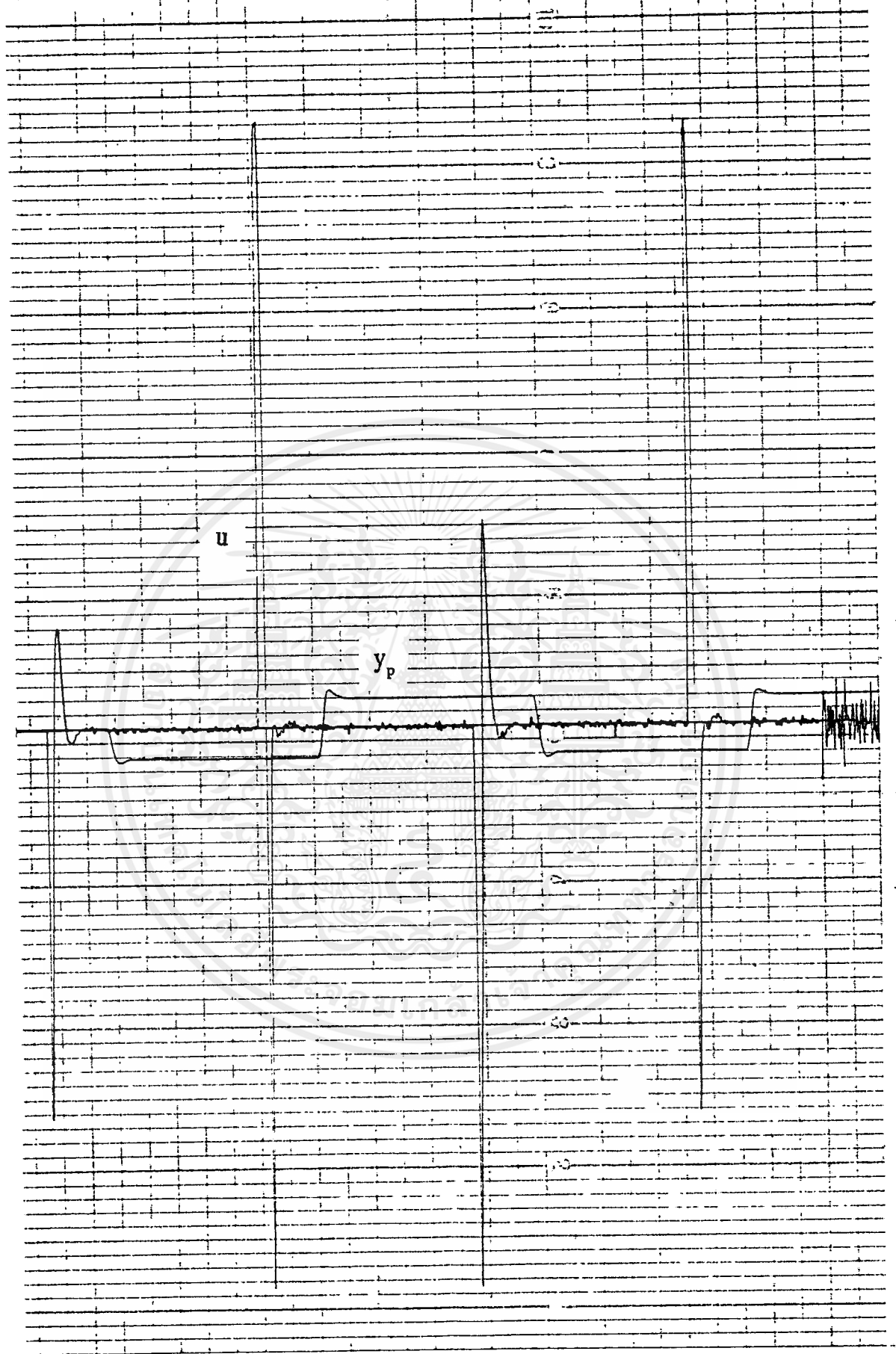
รูปที่ 4.5 ผลการทดลองกับระบบจริงเมื่อใช้ตัวควบคุม MRAC , $sp = 0.5$, $\gamma = 1$

เอกสารนี้เป็นเอกสารที่สงวนลิขสิทธิ์ของสถาบันเทคโนโลยีพระจอมเกล้าเจ้าคุณทหารลาดกระบัง ซึ่งได้สงวนลิขสิทธิ์ไว้ทั้งในระดับสากลและระดับ
 โฉมใหม่ โดยที่ห้ามมิให้คัดลอกและต้องอ้างอิงถึงเจ้าของเอกสารทุกครั้งที่มีการนำไป

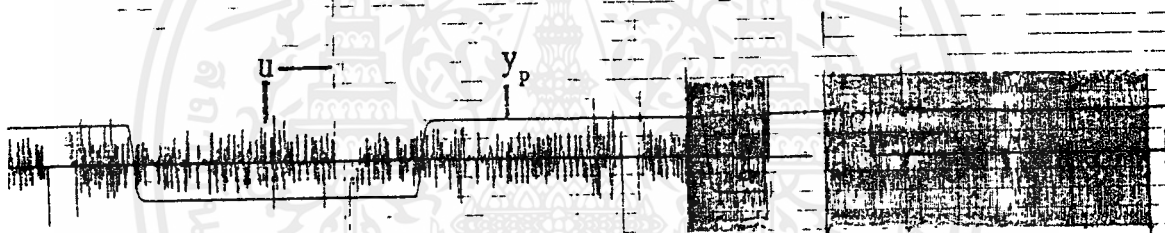


รูปที่ 4.5 ผลการทดลองกับระบบจริงเมื่อใช้ตัวควบคุม MRAC , $sp = 0.5, \gamma = 1$

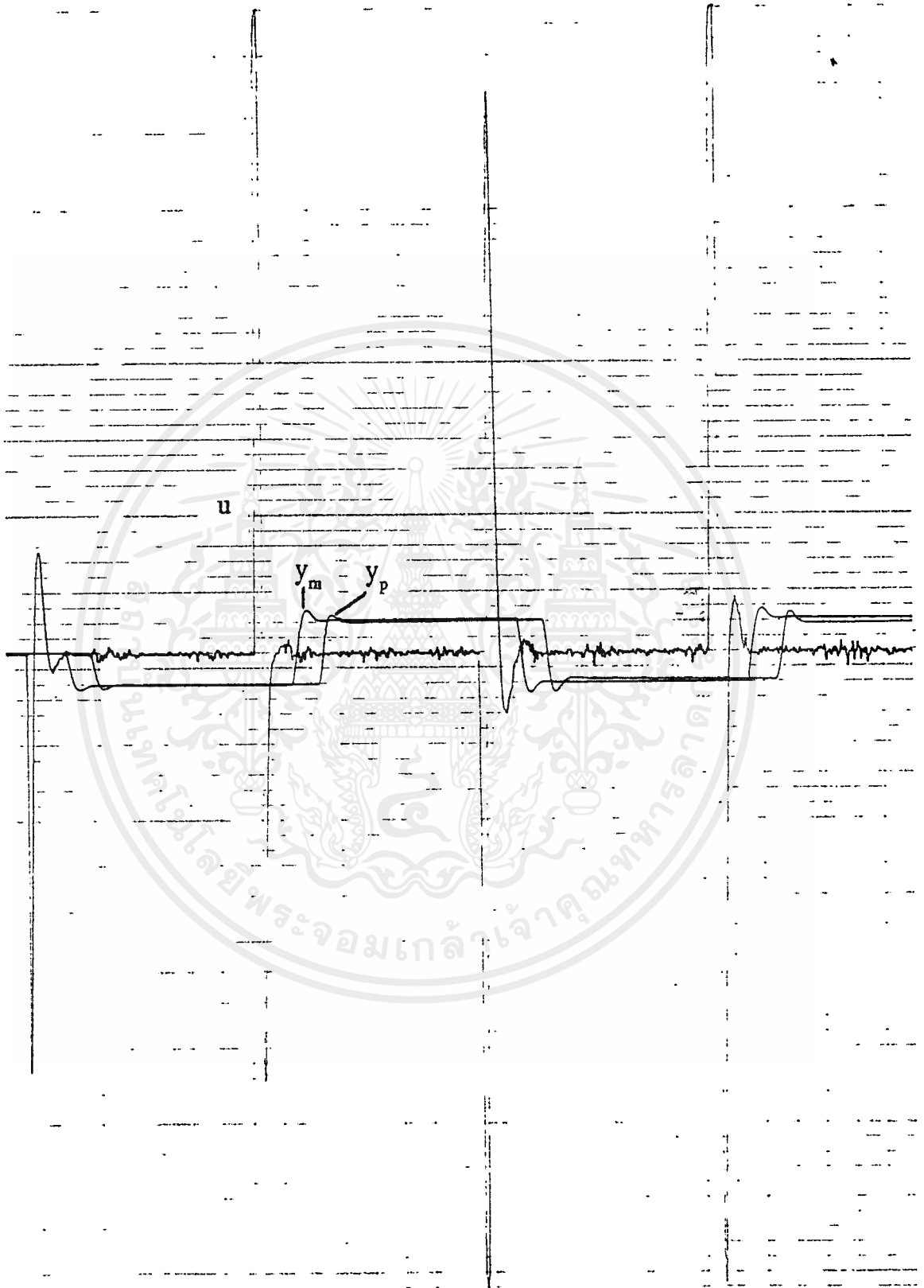
เอกสารนี้เป็นเอกสารที่สงวนไว้สำหรับควรใช้เฉพาะเพื่อการศึกษานั้น ไม่อนุญาตให้ทำไปใช้ประโยชน์อื่นใด
ไม่ว่ากรณีใดๆ ทั้งสิ้น อีกทั้งห้ามมิให้คัดแปลงเนื้อหาและต้องอ้างอิงถึงเจ้าของเอกสารทุกครั้งที่มีการนำไปใช้



รูปที่ 4.6 ผลการทดลองกับระบบจริงเมื่อใช้ตัวควบคุม MRAC , $sp = 0.5$, $\gamma = 1$ และเวลาผ่านไปนาน
เอกสารนี้เป็นเอกสารที่สงวนไว้สำหรับการใช้งานเพื่อการศึกษาเท่านั้น ไม่อนุญาตให้นำไปใช้ประโยชน์ด้วยวิธีการ
ไม่ว่ากรณีใดๆ ทั้งสิ้น อีกทั้งห้ามมิให้ดัดแปลงเนื้อหา และต้องอ้างอิงถึงเจ้าของเอกสารทุกครั้งที่มีการนำไปใช้

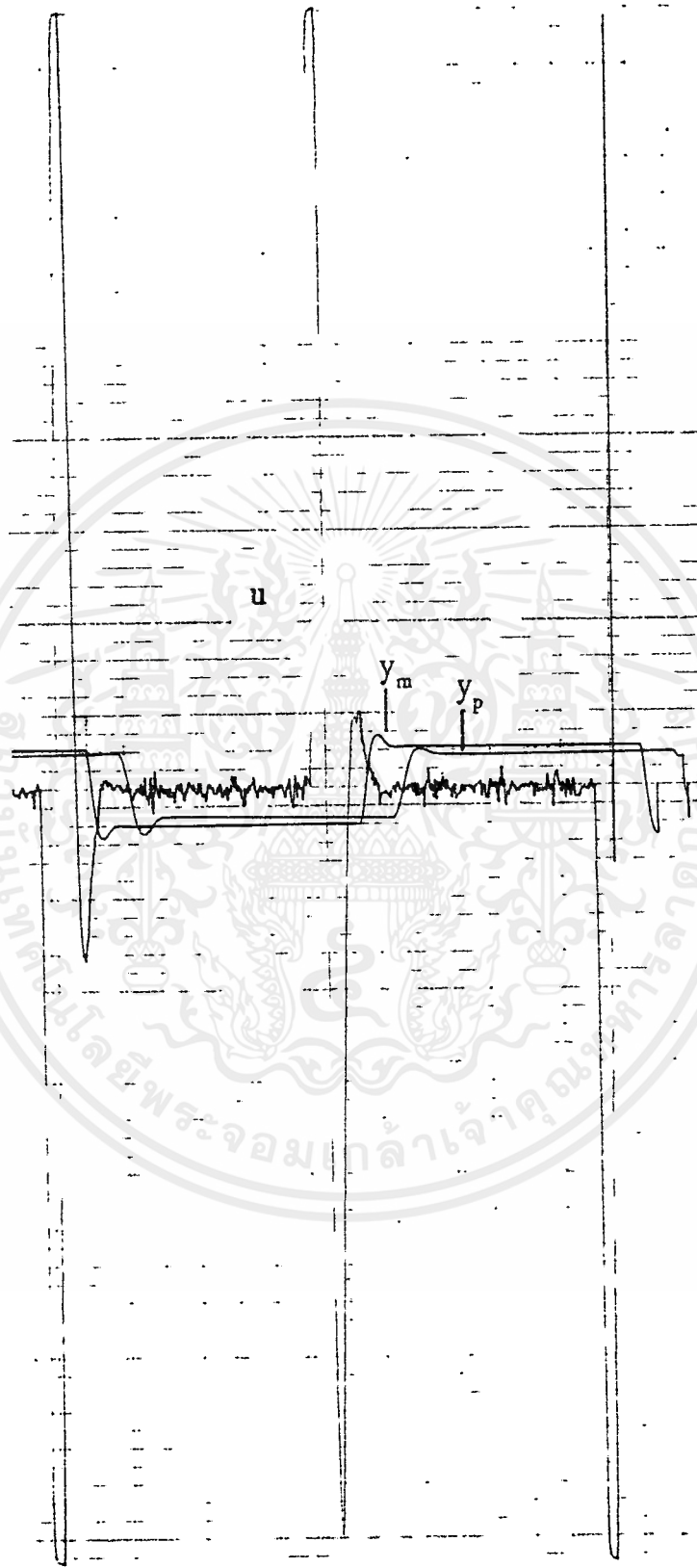


รูปที่ 4.6 ผลการทดลองกับระบบจริงเมื่อใช้ตัวควบคุม MRAC , $sp = 0.5$, $\gamma = 1$ และเวลาผ่านไปนาน เอกสารนี้เป็นเอกสารที่สงวนไว้สำหรับการใช้งานเพื่อการศึกษาเท่านั้น ไม่อนุญาตให้นำไปใช้ประโยชน์ด้านการค้า ไม่ว่าจะกรณีใดๆ ทั้งสิ้น อีกทั้งห้ามมิให้ดัดแปลงเนื้อหาและต้องอ้างอิงถึงเจ้าของเอกสารทุกครั้งที่มีการนำไปใช้



รูปที่ 4.7 ผลการทดลองกับระบบจริงเมื่อใช้ตัวควบคุม MRAC , $sp = 0.5$, $\gamma = 1$ และเปลี่ยนค่า q

เอกสารนี้เป็นเอกสารที่สงวนลิขสิทธิ์การใช้งานเพื่อการศึกษาเท่านั้น ไม่อนุญาตให้นำไปใช้ประโยชน์ด้านการค้า
ไม่ว่ากรณีใดๆ ทั้งสิ้น อีกทั้งห้ามมิให้ดัดแปลงเนื้อหาและต้องอ้างอิงถึงเจ้าของเอกสารทุกครั้งที่มีการนำไปใช้



รูปที่ 4.7 ผลการทดลองกับระบบจริงเมื่อใช้ตัวควบคุม MRAC , $sp = 0.5$, $\gamma = 1$ และเปลี่ยนค่า q
 $q = 0.25$

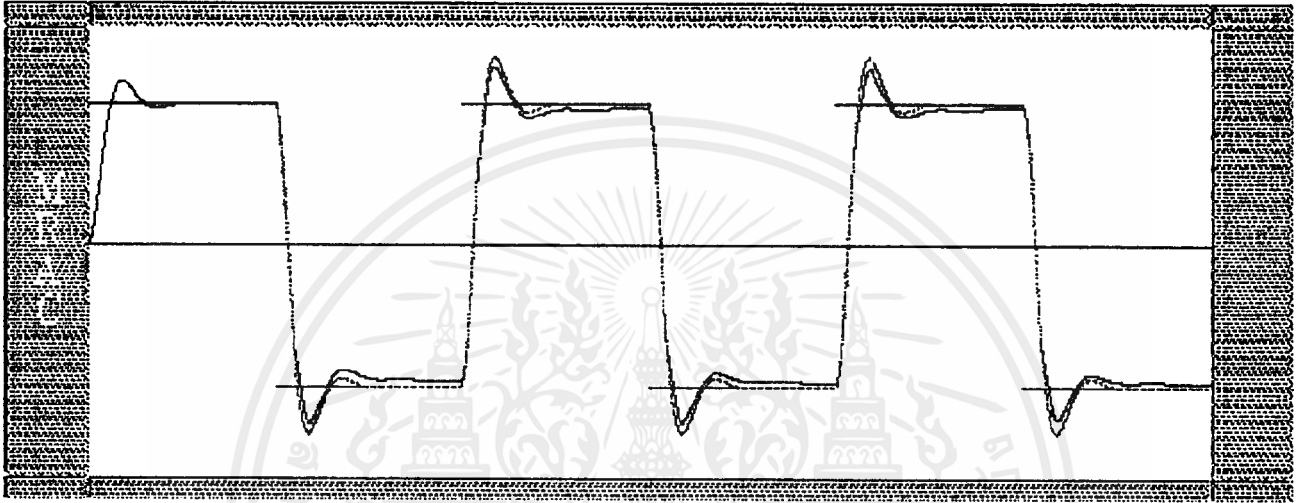
เอกสารนี้เป็นเอกสารที่สงวนไว้สำหรับการใช้งานเพื่อการศึกษเท่านั้น ไม่อนุญาตให้นำไปใช้ประโยชน์ด้านการค้า
 ไม่ว่ากรณีใดๆ ทั้งสิ้น อีกทั้งห้ามมิให้ดัดแปลงเนื้อหาและต้องอ้างอิงถึงเจ้าของเอกสารทุกครั้งที่มีการนำไปใช้

วิเคราะห์ผลการทดลองขั้นที่ 2

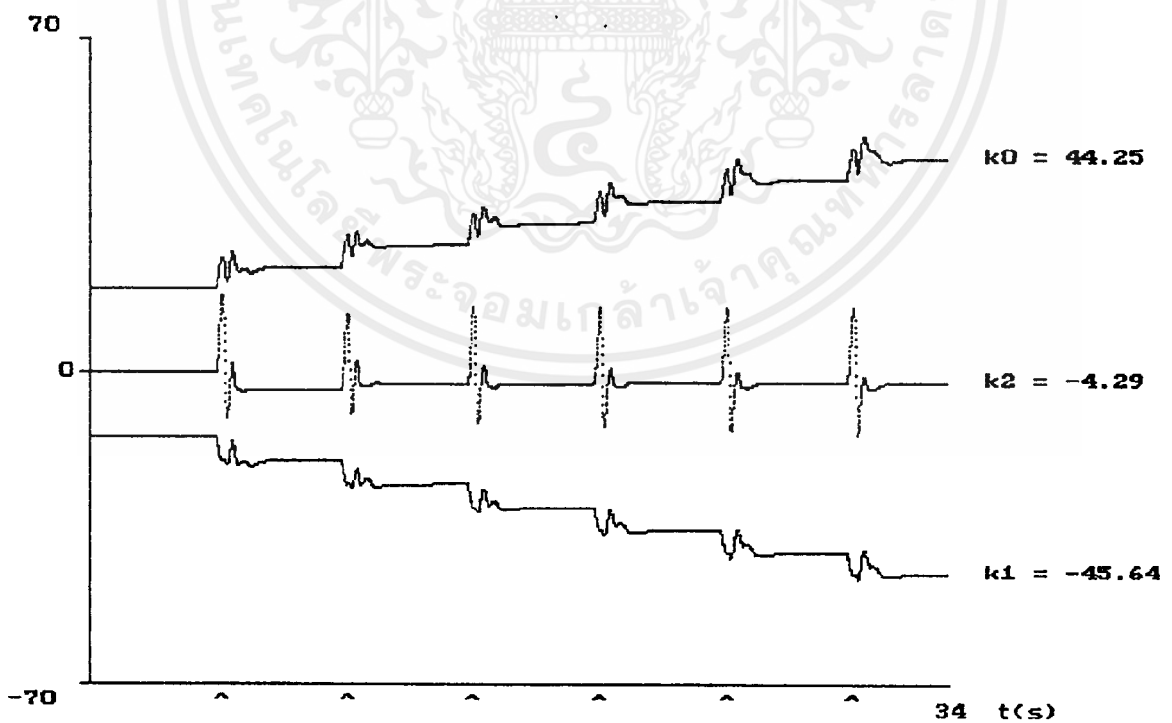
ในหัวข้อนี้จะทำการค้นหาสาเหตุที่ทำให้ค่า k มีค่าสูงขึ้นเรื่อย ๆ ไม่เข้าสู่จุดสมดุล โดยการจำลองสถานะการด้วยคอมพิวเตอร์

2.1 ทำการศึกษาผลที่เกิดจากการอิ่มตัว (saturation) ของสัญญาณควบคุม u

ได้ทำการใช้โปรแกรมในภาคผนวก ก มาดัดแปลง โดยทำการกำหนดของเขตของสัญญาณควบคุมให้มีของเขตอยู่ในช่วง ± 10 โวลต์ เพื่อให้เกิดการอิ่มตัวขึ้น ซึ่งได้ผลดังรูปที่ 4.8 และ 4.9



รูปที่ 4.8 ผลตอบสนองของ MRAS เมื่อมีเงื่อนไขของการอิ่มตัวของ u



รูปที่ 4.9 การปรับตัวของ k ที่สอดคล้องกับผลรูปที่ 4.8

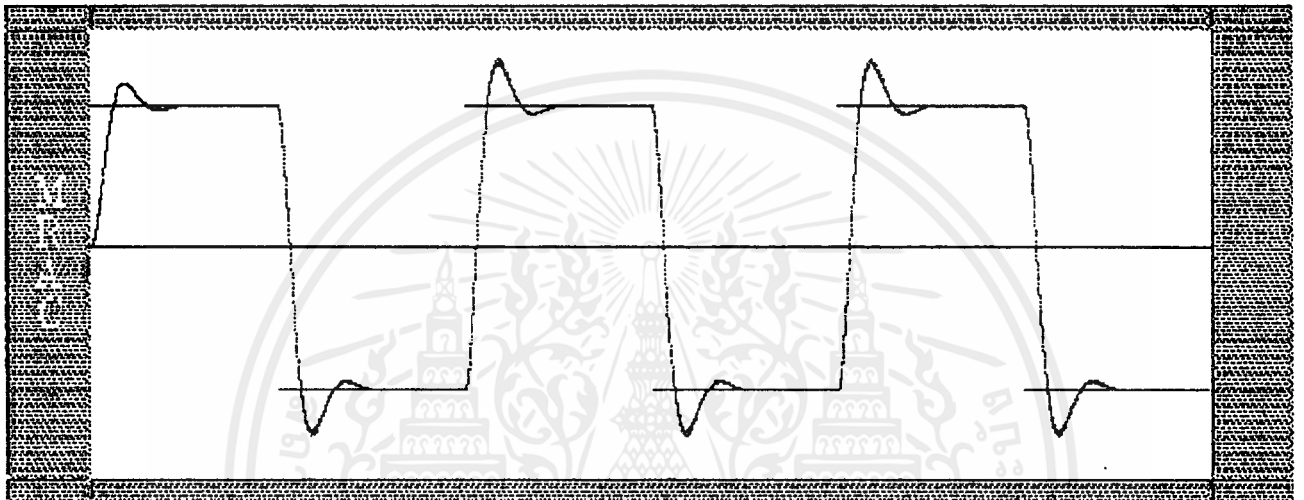
ผลการจำลองมีลักษณะเช่นเดียวกับในบทที่สาม ผลตอบสนองเส้นประแสดงรูปแบบอ้างอิง เส้นทึบแสดงผลตอบสนองของกระบวนการที่ถูกควบคุมแล้ว เส้นทึบตรงเป็น set point แต่ขนาดเปลี่ยนเป็น 0.5 และคาบเปลี่ยนเป็น 30 วินาที เพื่อให้สอดคล้องกับการทดลองกับกระบวนการจริง

ไม่ว่ากรณีใดๆ ทั้งสิ้น อีกทั้งห้ามมิให้คัดลอกเนื้อหาและต้องอ้างอิงถึงเจ้าของเอกสารทุกครั้งที่มีการนำไปใช้

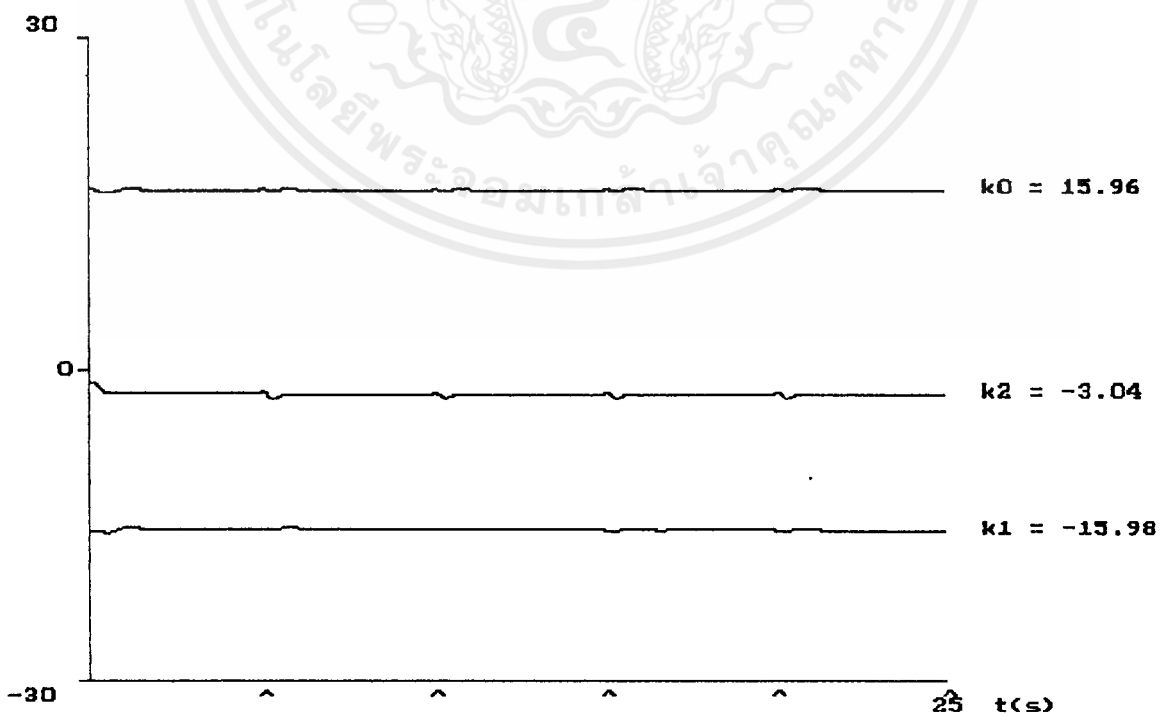
จะพบว่าเนื่องจากการที่สัญญาณ u ที่ออกจากการ์ด D/A ของคอมพิวเตอร์เข้าสู่ตัวระบบมีการ อัดตัว จะส่งผลให้ค่า k ถูกปรับไปเรื่อย ๆ ไม่เข้าสู่ค่าสมดุล ซึ่งทำให้เกิดปรากฏการณ์ที่เกิดขึ้นกับระบบ จริงดังรูป 4.7

2.2 ทำการศึกษาผลที่เกิดปรากฏการณ์เข้ากันไม่ได้ของระบบ กับ รูปแบบอ้างอิง (model mismatch)

เมื่อนำโปรแกรมจำลองระบบด้วยคอมพิวเตอร์ในภาคผนวก ก มาดัดแปลงโดยการเปลี่ยน กระบวนการจาก $1/s(s+2)$ เป็น $100/s(s+2)(s+100)$ ซึ่งเป็นระบบอันดับสามเป็นการเพิ่มโพลที่อยู่ไกลจาก จุดกำเนิดมากและมีผลต่อกระบวนการน้อย และใช้รูปแบบอ้างอิงเดิมที่เป็นอันดับสอง พบว่าได้ผลดังรูปที่ 4.10 และได้สังเกตการเปลี่ยนแปลงของค่า k ดังรูปที่ 4.11



รูปที่ 4.10 ผลตอบสนองของ MRAS เมื่อเกิดปรากฏการณ์ model mismatch



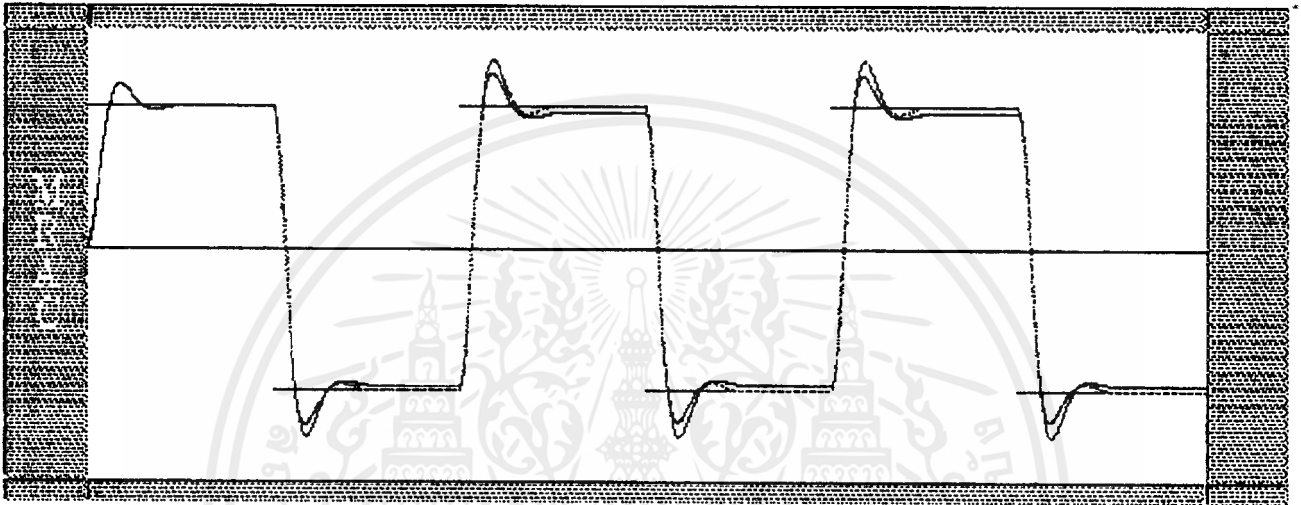
รูปที่ 4.11 การปรับตัวของ k ซึ่งสอดคล้องกับผลในรูปที่ 4.10

เอกสารนี้เป็นเอกสารที่สงวนไว้สำหรับการใช้งานเพื่อการศึกษาเท่านั้น ไม่อนุญาตให้นำไปเผยแพร่โดยไม่ได้รับอนุญาต
ไม่ว่ากรณีใดๆ ทั้งสิ้น อีกทั้งห้ามมิให้ดัดแปลงเนื้อหาและต้องอ้างอิงถึงเจ้าของเอกสารทุกครั้งที่มีการนำไปใช้

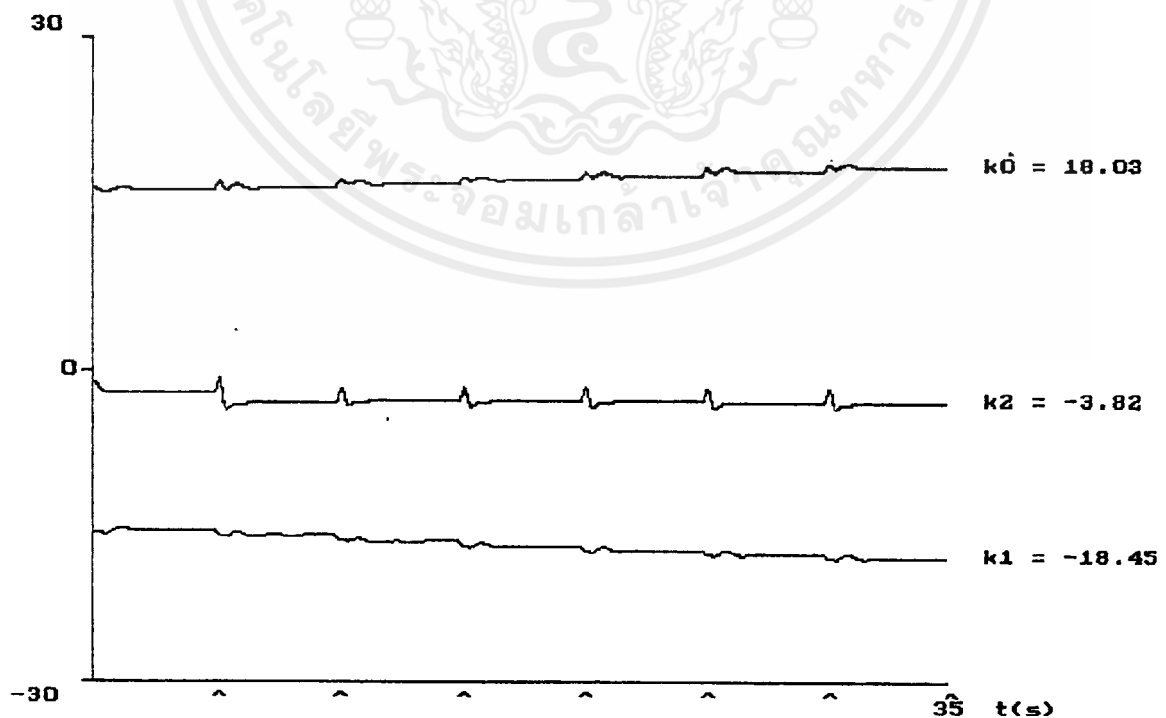
จะพบว่าเมื่อกระบวนการมีอันดับสูงขึ้น โดยการเพิ่มโพลที่ห่างจากจุดกำเนิดไปทางซ้ายมือมาก MRAC ก็ยังสามารถปรับค่า k ที่ทำให้ผลตอบสนองของระบบเข้าสู่รูปแบบอ้างอิงได้ แต่ค่า k ที่สถานะคงที่แล้วจะแตกต่างจากค่า k เมื่อไม่มีผลจากโพลที่เพิ่มขึ้น

2.3 ทำการศึกษาผลที่เกิดจากการอึดตัวของสัญญาณควบคุม u บวกกับปรากฏการณ์ model mismatch

โดยการจำลองให้เกิดเหตุการณ์เช่นเดียวกับกรณี 2.1 บวกกับ 2.2 ซึ่งได้ผลดังรูปที่ 4.12 และ 4.13



รูปที่ 4.12 ผลตอบสนองเมื่อเกิดการอึดตัวบวกกับปรากฏการณ์ model mismatch



รูปที่ 4.13 การปรับตัวของ k ซึ่งสอดคล้องกับผลในรูปที่ 4.12

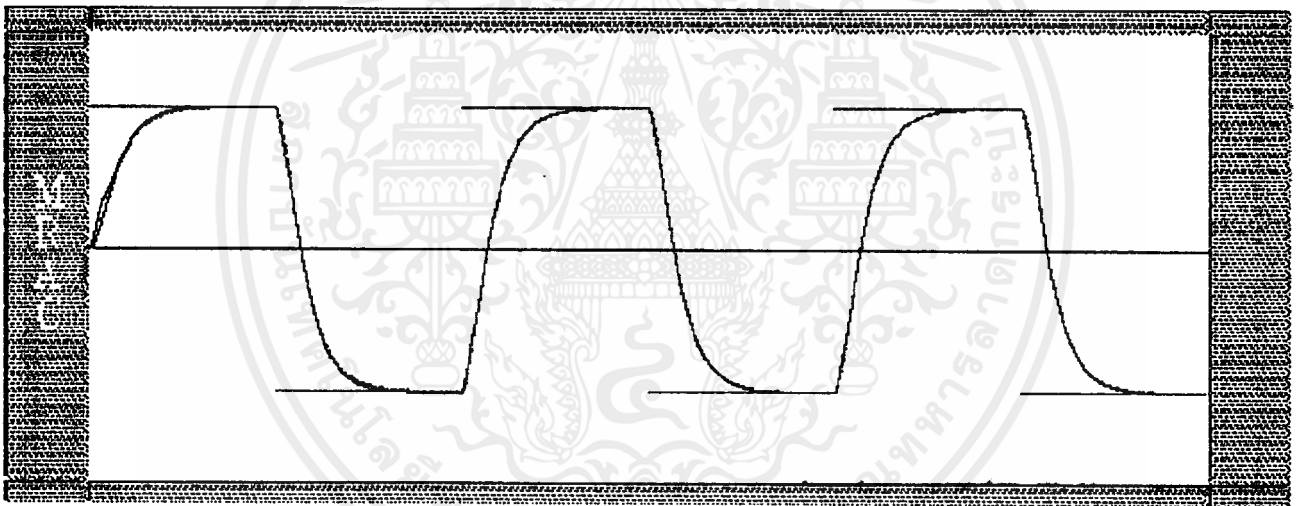
เอกสารนี้เป็นเอกสารที่สงวนลิขสิทธิ์สำหรับการใช้งานเพื่อการศึกษาเท่านั้น เมื่ออนุญาตให้เผยแพร่ไปยังประชาชนด้านการค้าไม่ว่ากรณีใดๆ ทั้งสิ้น อีกทั้งห้ามมิให้ตัดแปลงเนื้อหาและต้องอ้างอิงถึงเจ้าของเอกสารทุกครั้งที่มีการนำไปใช้

จะพบว่าผลตอบสนองของระบบและการเปลี่ยนแปลงของค่า k จะมีลักษณะใกล้เคียงกับรูป 2.1 ซึ่งเป็นผลจากการอิมพัลส์ซึ่งจะทำให้ค่า k ไม่เข้าสู่ค่าคงที่ แต่จะมีค่าเพิ่มขึ้นเรื่อย ๆ ในทางเดียว จึงทำให้ผลตอบสนองของกระบวนการไม่เข้าสู่รูปแบบอ้างอิง

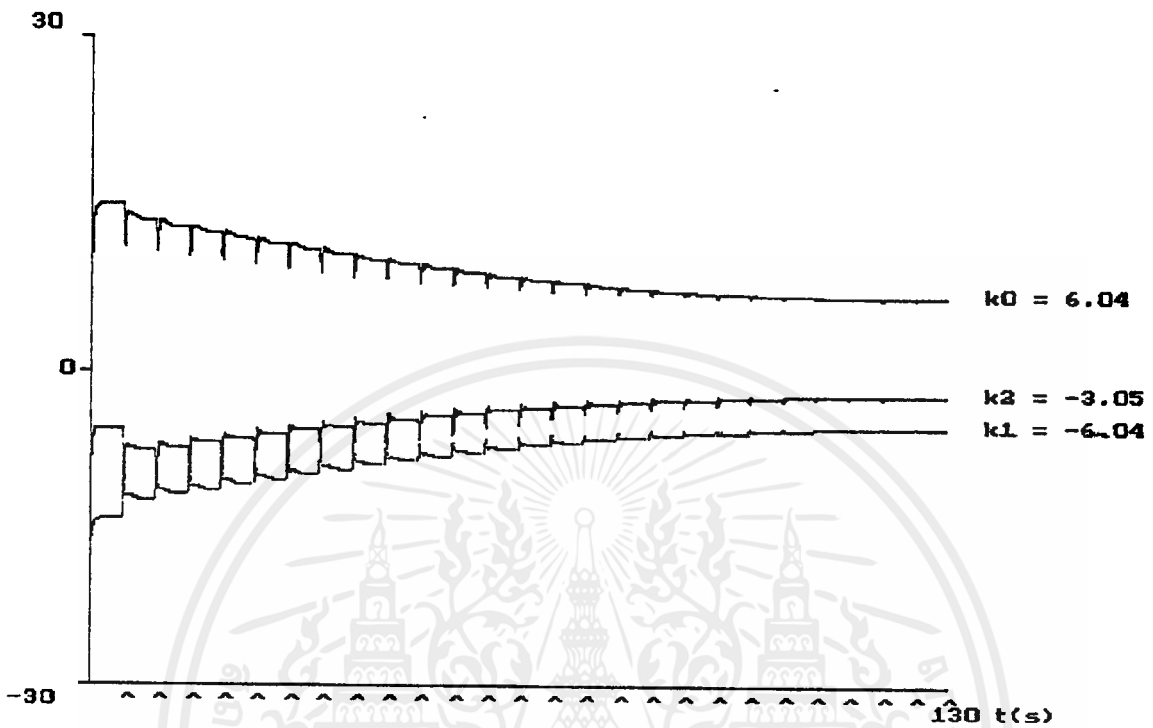
แต่สิ่งที่แตกต่างจากหัวข้อ 2.1 คือในหัวข้อนี้มีผลจากการไม่เข้ากันของระบบกับรูปแบบอ้างอิง โดยมีการเพิ่มโพลที่ห่างจากจุดกำเนิดมาก ๆ ทำให้เป็นกระบวนการอันดับสาม จึงพบว่า ในช่วงที่มีการเปลี่ยนแปลง set point ค่า k จะมีการเปลี่ยนแปลงที่เร็วกว่าในหัวข้อ 2.1 ซึ่งมีผลมาจากโพลที่เพิ่มเข้ามา อาจทำให้ระบบถูกหน่วง และ การแกว่งของค่า k จะน้อยลง

2.4 ทำการศึกษาระบบที่เกิดการอิมพัลส์ของสัญญาณควบคุม u แต่บวกการเปลี่ยนแปลงรูปแบบอ้างอิงเพื่อลดผลของการอิมพัลส์

ในหัวข้อนี้ได้ทำการเปลี่ยนแปลงรูปแบบอ้างอิงจาก $16/s^2+4s+16$ เป็น $6/s^2+5s+6$ เพื่อให้โพลเปลี่ยนจาก $-2 \pm 3.464j$ เป็น -2 และ -3 ซึ่งจะเป็น overdamped หรือ ระบบอ้างอิงจะถูกหน่วงให้ช้าลงเพื่อลดผลของการอิมพัลส์ของ u ได้ผลดังรูปที่ 4.14 และค่า k ที่ปรับตัวดังรูปที่ 4.15



รูปที่ 4.14 ผลตอบสนองของ MRAS กรณีเกิดการอิมพัลส์แต่หน่วงรูปแบบอ้างอิง

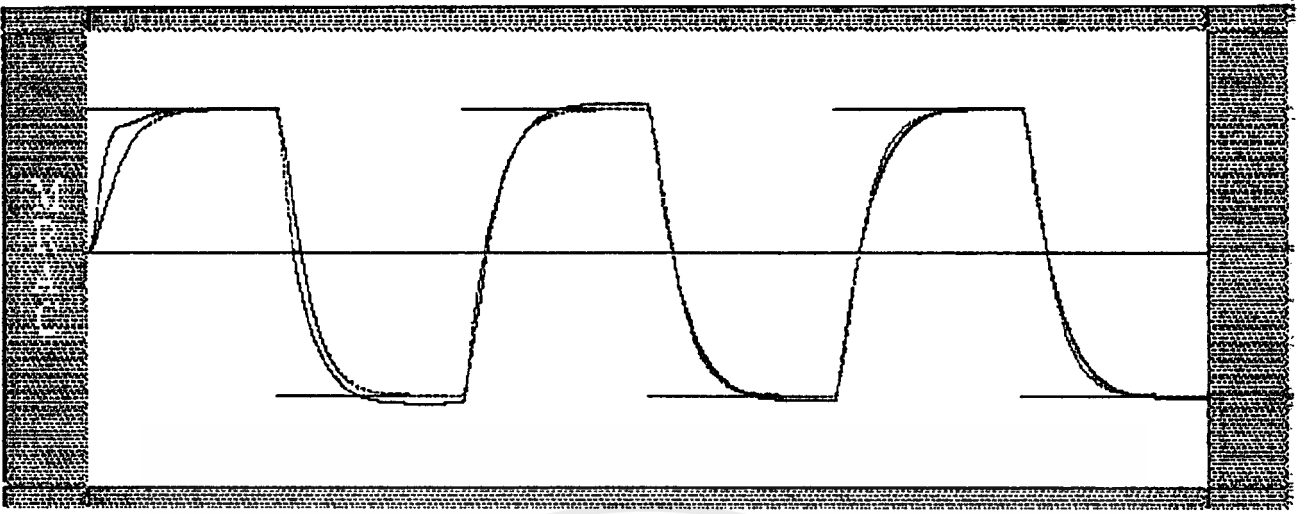


รูปที่ 4.15 การปรับตัวของค่า k ที่สอดคล้องกับผลในรูปที่ 4.14

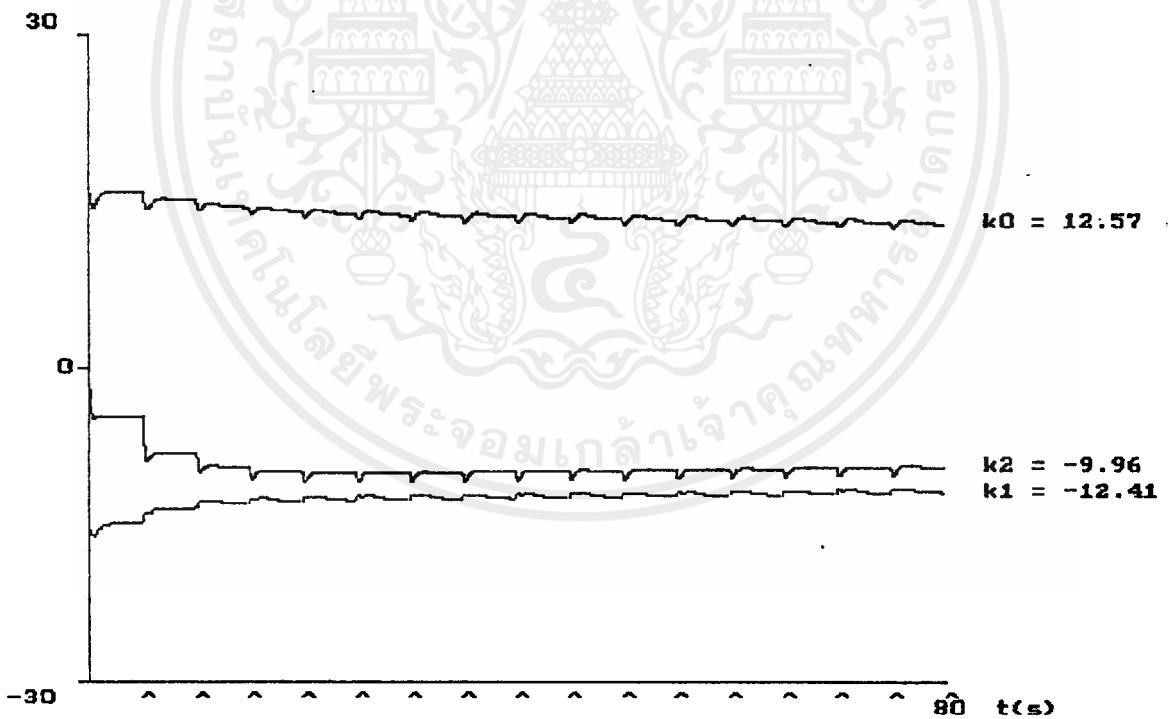
จาก 2.1 พบว่าต้นเหตุที่ทำให้ค่า k ไม่เข้าสู่สถานะคงที่คือผลจากการอิมิตัวของสัญญาณควบคุม แต่เมื่อลดผลจากการอิมิตัว โดยการเปลี่ยนแปลงรูปแบบอ้างอิงในลักษณะที่ผลตอบสนองช้าลงจะทำให้ไม่เกิด u ที่มีค่าสูงเกินไป ซึ่งจะเป็นการลดผลจากการอิมิตัว จึงทำให้ MRAC สามารถปรับค่า k ให้เข้าสู่ค่า k ที่เหมาะสมได้ และ ค่า k เมื่อคงที่แล้วก็มีค่าที่สอดคล้องกับค่า k ที่ได้จากการคำนวณ เมื่อไม่มีการอิมิตัว

2.5 ทำการศึกษาระบบที่มีการอิมิตัว บวกกับปรากฏการณ์ model mismatch แต่เปลี่ยนแปลงรูปแบบอ้างอิง ให้มีความหน่วงมากขึ้นเพื่อลดผลของการอิมิตัว

โดยใช้ระบบดังหัวข้อ 2.4 แต่ได้เปลี่ยนกระบวนการจาก $1/s(s+2)$ เป็น $100/s(s+2)(s+100)$ ซึ่งเป็นระบบอันดับ 3 ในขณะที่รูปแบบอ้างอิงยังเป็นระบบอันดับสองที่ย้ายโพลจาก $-2 \pm 3.464j$ มาเป็น -2 และ -3 เพื่อศึกษาผลของ model mismatch ได้ผลดังรูปที่ 4.16 และ 4.17



รูปที่ 4.16 ผลตอบสนองเมื่อเกิดการอับตัวของ u + model mismatch + หน่วงรูปแบบอ้างอิง



รูปที่ 4.17 การปรับตัวของค่า k ที่สอดคล้องกับผลในรูปที่ 4.16

จะพบว่า MRAC สามารถทำให้ผลตอบสนองของระบบเข้าสู่รูปแบบอ้างอิงได้เช่นเดียวกับหัวข้อ 2.4 แต่สิ่งที่แตกต่างกันคือค่า k เมื่อเข้าสู่สภาวะคงที่แล้วจะเป็นคนละค่ากับในหัวข้อ 2.4 (เป็นผลจาก model mismatch เหมือนกับในหัวข้อ 2.2 ซึ่งแสดงผลของการ mismatch)

เอกสารนี้เป็นเอกสารที่สงวนไว้สำหรับการใช้งานเพื่อการศึกษาเท่านั้น ไม่อนุญาตให้นำไปใช้ประโยชน์ด้านการค้า ไม่ว่ากรณีใดๆ ทั้งสิ้น อีกทั้งห้ามมิให้ดัดแปลงเนื้อหาและต้องอ้างอิงถึงเจ้าของเอกสารทุกครั้งที่มีการนำไปใช้

ขั้นที่ 3

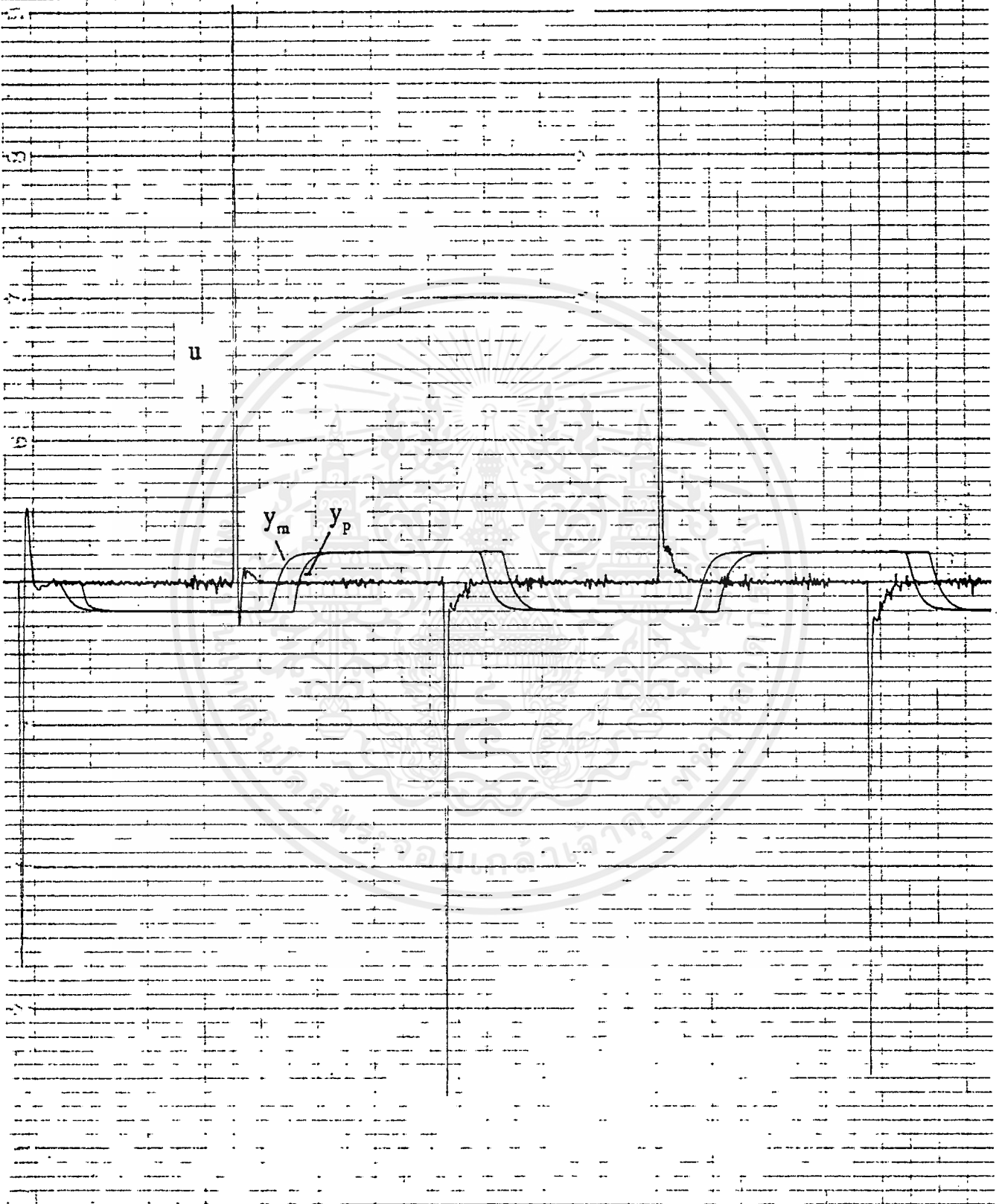
ทำการทดลองกับระบบจริงโดยการเปลี่ยนแปลงรูปแบบอ้างอิงดังได้กล่าวไว้ในขั้นตอนที่ 2.4 ถึง 2.6 ซึ่งมีผลตอบสนองเป็น overdamped ซึ่งถูกหน่วงให้ช้าลง เพื่อที่จะลดผลจากการอึดตัว ซึ่งได้ผลดังรูปที่ 4.18

จากรูปจะพบว่าเมื่อเวลาผ่านไป MRAC จะทำให้ผลตอบสนองเข้าสู่ reference model ได้ตามต้องการ โดยค่า k จะเข้าสู่ค่าที่เหมาะสม

และเมื่อมีการเปลี่ยนแปลงพารามิเตอร์ในกระบวนการ (q) ได้ผลดังรูปที่ 4.19

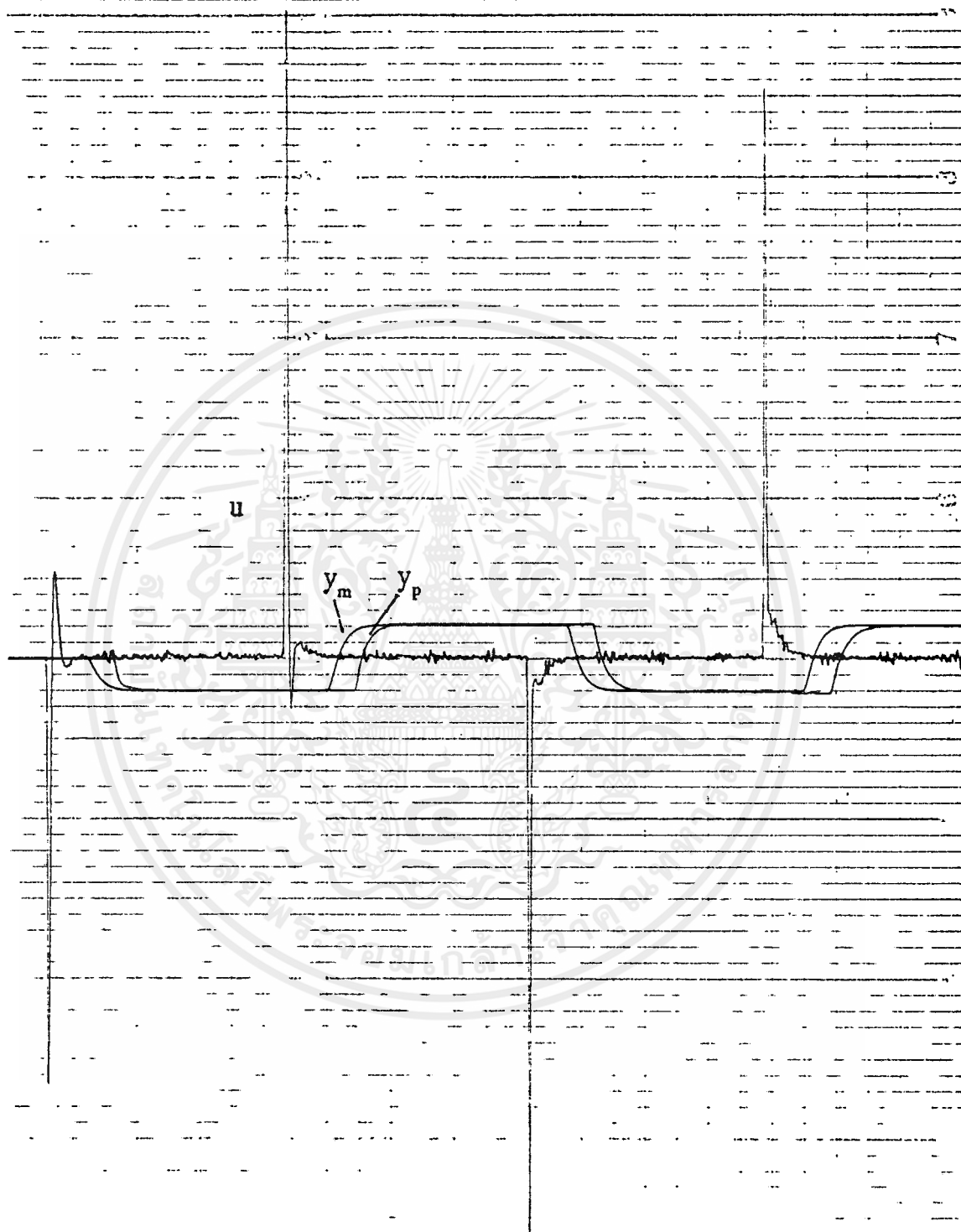
จะเห็นว่า MRAC สามารถควบคุมให้ผลตอบสนองเข้าสู่รูปแบบอ้างอิงได้ตามต้องการแม้ว่ากระบวนการจะเปลี่ยนแปลง





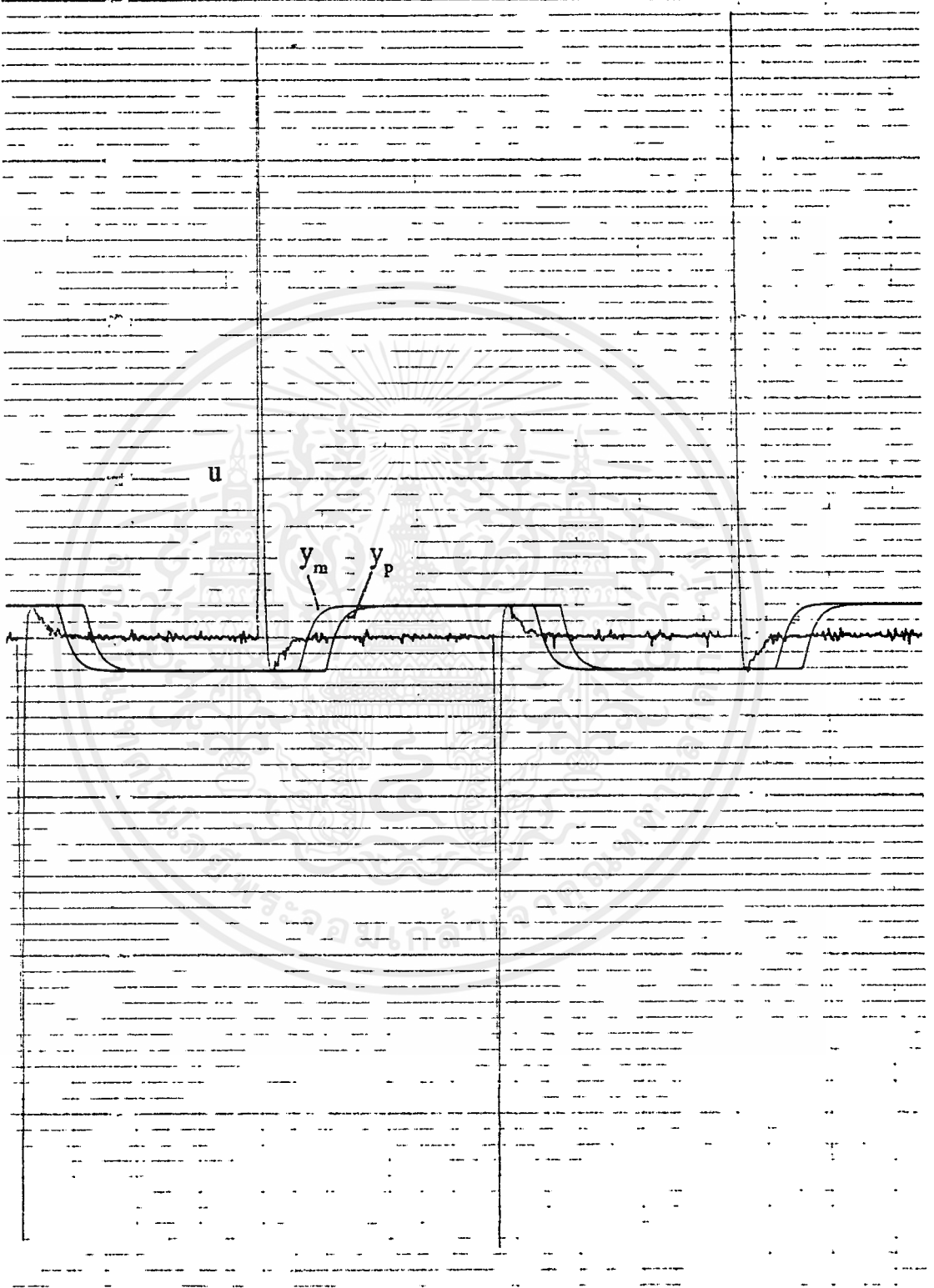
รูปที่ 4.18 ผลการทดลองกับระบบจริงเมื่อลดผลการอิมตัวโดยหน่วงรูปแบบอ้างอิง $q = 1$

เอกสารนี้เป็นเอกสารที่สงวนไว้สำหรับการใช้งานเพื่อการศึกษาเท่านั้น ไม่อนุญาตให้นำไปใช้ประโยชน์ด้านการค้า
 ไม่ว่าโดยใดๆ ทั้งสิ้น อีกทั้งห้ามมิให้ดัดแปลงเนื้อหาและต้องอ้างอิงถึงเจ้าของเอกสารทุกครั้งที่มีการนำไปใช้



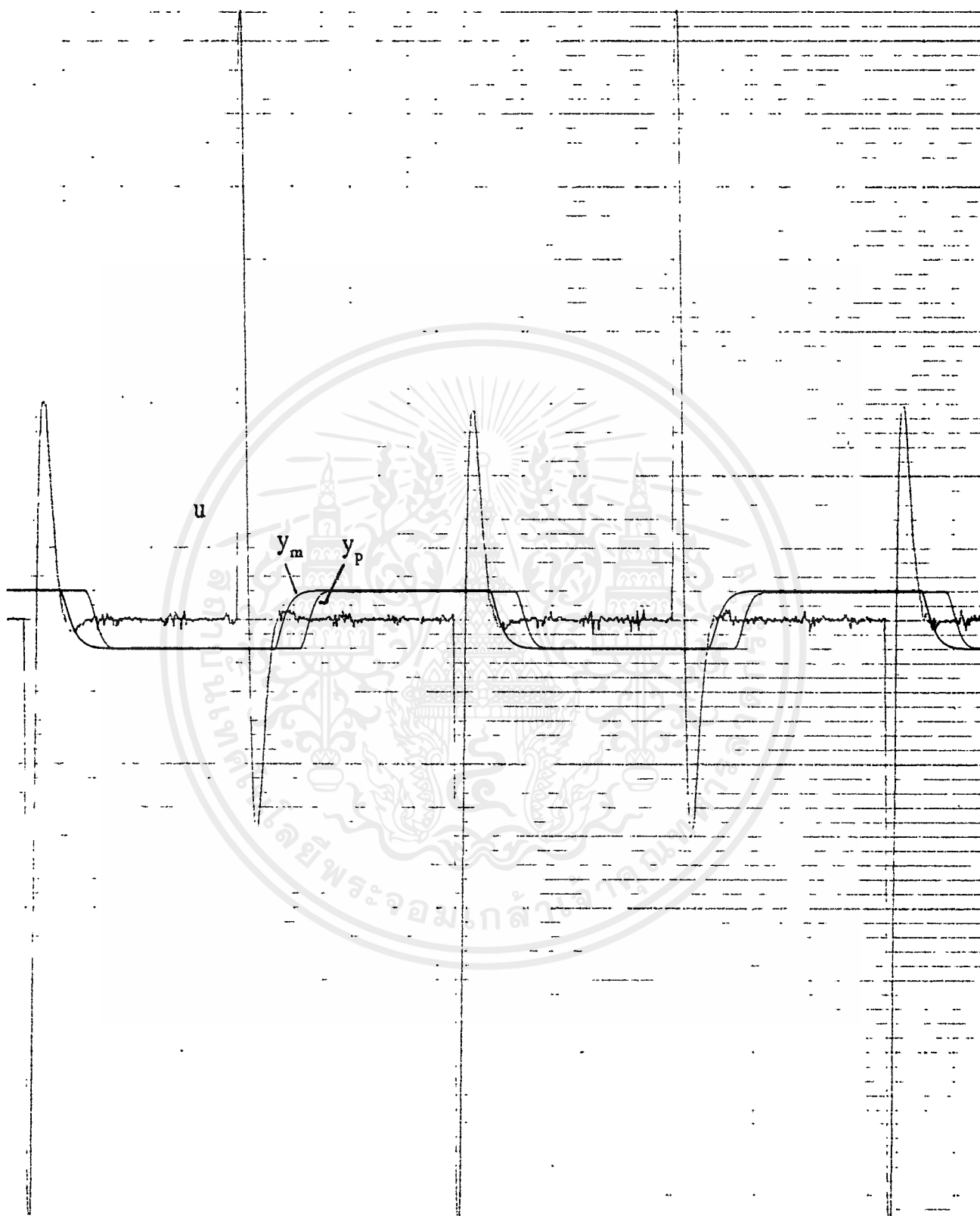
รูปที่ 4.19 ผลการทดลองกับระบบจริงเมื่อลดผลการอิ่มตัวโดยหน่วงรูปแบบอังกิ $q = 1$

เอกสารนี้เป็นเอกสารที่สงวนไว้สำหรับการใช้งานเพื่อการศึกษาเท่านั้น ไม่อนุญาตให้นำไปใช้ประโยชน์ด้านการค้า
ไม่ว่ากรณีใดๆ ทั้งสิ้น อีกทั้งห้ามมิให้ดัดแปลงเนื้อหาและต้องอ้างอิงถึงเจ้าของเอกสารทุกครั้งที่มีการนำไปใช้



รูปที่ 4.19 ผลการทดลองกับระบบจริงเมื่อลดผลการอ้อมตัวโดยหน่วงรูปแบบอังกอิง และลองแปรค่า $q = 0.5$

เอกสารนี้เป็นเอกสารที่สงวนไว้สำหรับการใช้ภายในเพื่อการศึกษาเท่านั้น ไม่อนุญาตให้นำไปใช้ประโยชน์ด้วยวิธีการ
ไม่ว่ากรณีใดๆ ทั้งสิ้น อีกทั้งห้ามมิให้ตัดแปลงเนื้อหาและต้องอ้างอิงถึงเจ้าของเอกสารทุกครั้งที่มีการนำไปใช้



รูปที่ 4.19 ผลการทดลองกับระบบจริงเมื่อลดผลการอิมตัวโดยหน่วงรูปแบบอ้างอิง และลองแปรค่า q
 $q = 0.25$

เอกสารนี้เป็นเอกสารที่สงวนไว้สำหรับการใช้งานเพื่อการศึกษาเท่านั้น ไม่อนุญาตให้นำไปใช้ประโยชน์ด้านการค้า
 ไม่มีการแก้ไข ทั้งสิ้น อีกทั้งยังมีให้ดูแบบลงเนื้อหาและข้ออ้างอิงถึงเอกสารที่สงวนไว้ให้
 1/ 7 = 0.25

สรุปผลของโครงการ

จากโครงการนี้พบว่าทฤษฎี MRAC สามารถทำการควบคุม และ ปรับตัวตามกระบวนการได้จริง ดังผลที่ได้จากการจำลอง ซึ่งจำกัดปัจจัยภายนอกอื่น ๆ ออกไป และเมื่อได้นำ MRAC มาใช้กับกระบวนการจริง พบว่าข้อสังเกตหนึ่งข้อ และมีปัจจัยสำคัญสองประการที่มีผลต่อการควบคุมของ MRAC

ข้อสังเกตคือ การที่จะให้ได้ผลตอบสนองที่รวดเร็วเราจะต้องใช้สัญญาณควบคุมที่มีค่าสูงกว่าค่าที่ set point ที่ต้องการใช้จริงถึง 10 เท่าหรืออาจจะมากกว่านั้น นั่นแสดงให้เห็นถึงข้อจำกัดของธรรมชาติที่มีต่อระบบ ไม่เฉพาะกับระบบควบคุม MRAC หรือ MRAS (Model Reference Adaptive System) เท่านั้น แต่เกิดขึ้นกับระบบควบคุมทุกแบบ จึงควรระวังในเรื่องนี้

และปัจจัยที่มีความสำคัญสองประการได้แก่

1. การอิมิตัวของสัญญาณควบคุม u ที่ออกจากตัวควบคุม (คอมพิวเตอร์) ไปสู่กระบวนการ

เนื่องจากสัญญาณ u นี้จะถูกสร้างจากการ์ด D/A จึงทำให้ค่า u ถูกจำกัดอยู่ระหว่าง ± 10 โวลต์ ซึ่งการแก้ปัญหานี้อาจแก้ได้โดยการเพิ่มตัวขยายสัญญาณให้สูงขึ้น แต่ก็ยังคงมีข้อจำกัดทางกายภาพของกระบวนการที่จะรับสัญญาณได้ไม่เกิน ± 12 โวลต์ ซึ่งการอิมิตัวนี้จะมีผลต่อ MRAC ทำให้การปรับค่า K ไม่เข้าสู่สภาวะคงที่ และถ้าค่า k สูงขึ้นเรื่อย ๆ อาจไปถึงจุดที่ระบบไม่สามารถรับได้และเกิดการแกว่งหรือ oscillation ได้ จึงได้ทำการลดผลของการอิมิตัวลงโดยการเปลี่ยนรูปแบบของรูปแบบอ้างอิง โดยทำให้มีผลตอบสนองที่ช้าลง ซึ่งจะใช้ u ที่ต่ำลง ทำให้ MRAC สามารถทำงานได้ปกติตามทฤษฎี

2. การไม่เข้ากันระหว่างกระบวนการ กับ รูปแบบอ้างอิง

ในการใช้ MRAC กับกระบวนการจริง อันดับของระบบรวมอาจมีค่าสูงกว่าที่ได้กำหนดไว้ในรูปแบบอ้างอิงซึ่งอาจเนื่องมาจากผลของส่วน interface และส่วนประกอบอื่น ๆ ในระบบ ซึ่งถ้ากระบวนการรวม มีอันดับที่สูงขึ้น เนื่องจากโพลที่อยู่ห่างจากจุดกำเนิดมาก จะมีผลน้อย ซึ่ง MRAC ยังสามารถควบคุมได้ แต่ผลที่แตกต่างคือ ค่า k ในสภาวะคงที่อาจมีค่าสูงขึ้นเนื่องจากต้องมีการใช้สัญญาณควบคุมที่สูงขึ้นเพื่อชดเชยการหน่วงของผลตอบสนองของระบบอันเนื่องมาจากโพลที่อยู่ห่างจากจุดกำเนิด

และนอกจากปัจจัยสองข้อดังกล่าวแล้ว ยังอาจมีปัจจัยอื่น ๆ อีกที่มีผลต่อ MRAC ยกตัวอย่างเช่น

- สัญญาณรบกวนในระบบ
- สัญญาณรบกวนในการวัด
- dead time ใน transfer function ของระบบ
- ความไม่เป็นเชิงเส้นของระบบ

แต่สำหรับระบบในโครงการนี้มีผลจากปัจจัยเหล่านี้น้อยเนื่องจากส่วนประกอบของระบบในโครงการนี้ประกอบขึ้นเพื่อให้ได้ใกล้เคียงกับอุดมคติ จึงไม่ได้วิเคราะห์ผลดังกล่าวไว้ในที่นี้

ภาคผนวก



เอกสารนี้เป็นเอกสารที่สงวนไว้สำหรับการใช้งานเพื่อการศึกษาเท่านั้น ไม่อนุญาตให้นำไปใช้ประโยชน์ด้านการค้า
ไม่ว่ากรณีใดๆ ทั้งสิ้น อีกทั้งห้ามมิให้ดัดแปลงเนื้อหาและต้องอ้างอิงถึงเจ้าของเอกสารทุกครั้งที่มีการนำไปใช้

ภาคผนวก ก

โปรแกรมจำลอง MRAC

รายละเอียดของโปรแกรม MRACSIM

- เป็นโปรแกรมเปรียบเทียบการทำงานของระบบลูปปิดอันดับสองที่มีตัวควบคุม MRAC กับที่มีตัวควบคุมสแตทป้อนกลับดังที่ได้ โดยสมการทุกอย่างเสนอไว้ในบทที่ 3
- การจำลองใช้ระเบียบวิธีของ Runge-Kutta
- ค่า q ของกระบวนการในสมการที่ 3.1 และ 3.2 สามารถเปลี่ยนได้ 5 ระดับ ตั้งแต่ q เท่ากับ 0.25, 0.5, 1, 2 และ 4 กดปุ่มลูกศรขึ้นจะเพิ่มค่า q กดปุ่มลูกศรลงจะลดค่า q โดยตอนเริ่มต้นโปรแกรมจะตั้งค่า q เท่ากับ 1 ซึ่งเป็นจุดทำงานปกติ และค่าพารามิเตอร์ของตัวควบคุมจะตั้งค่าเริ่มต้นให้ระบบลูปปิดมีผลตอบสนองตรงกับรูปแบบอ้างอิง
- กดปุ่มใด ๆ เพื่อหยุดการจำลองระบบและกดอีกครั้งเพื่อออกจากโปรแกรม

โปรแกรมย่อย

```
int f_to_i(double x)
    เปลี่ยนเลขทศนิยมเป็นเลขจำนวนเต็ม โดยปัดเศษ

void s_x_v(double scalar, double vector[], double vector_r[])
    vector_r = scalar*vector

void s_x_m(double scalar, double matrix[][N], double matrix_r[][N])
    matrix_r = scalar*matrix

void v_mul_v(double vector_1[], double vector_2[], double matrix_r[][N])
    matrix_r = vector_1*vector_2T
    เป็นการคูณของหลักกับแถว

void v_x_v(double vector_1[], double vector_2[], double *scalar)
    scalar = vector_1T*vector_2
    เป็นการคูณของแถวกับหลัก

void m_x_v(double matrix[][N], double vector[], double vector_r[])
    matrix_r = matrix*vector

void m_add_m(double matrix_1[][N], double matrix_2[][N],
    double matrix_r[][N])
    matrix_r = matrix_1 + matrix_2

void v_add_v(double vector_1[], double vector_2[], double vector_r[])
    vector_r = vector_1+vector_2
```

เอกสารนี้เป็นเอกสารที่สงวนไว้สำหรับการศึกษาเท่านั้น ไม่อนุญาตให้นำไปใช้ประโยชน์ด้านการค้า
ไม่ว่ากรณีใดๆ ทั้งสิ้น อีกทั้งห้ามมิให้ดัดแปลงเนื้อหาและต้องอ้างอิงถึงเจ้าของเอกสารทุกครั้งที่มีการนำไปใช้

void move_graph(void)

เลื่อนหน้าจอเพื่อทำให้กราฟผลตอบสนองเคลื่อนไปเรื่อย ๆ

void plot(void)

นำผลที่ได้จากการคำนวณผลตอบสนองมาจุดลงไปในหน้าจอ

void sys(double t, double un, double xn[], double xn_1[])

นำเสตทเวกเตอร์ xn และ un มาเข้าสมการสเตทของกระบวนการ เพื่อให้ได้อนุพันธ์ของเสตทเวกเตอร์ xn

void pid_ctr_sys(void)

จำลองผลตอบสนองต่อไปของระบบควบคุมคงที่ ที่ควบคุมโดยวิธีป้อนกลับสเตท โดยวิธีของ Runge-Kutta

void adp_ctr_sys(void)

จำลองผลตอบสนองต่อไปของระบบควบคุมปรับตัวได้ ที่ควบคุมโดยวิธี MRAC ด้วยสมการ ลีอาปูนอฟ การจำลองใช้วิธีของ Runge-Kutta

void ref_sys(void)

นำเสตทเวกเตอร์ xn และ un ของรูปแบบอ้างอิงมาเข้าสมการสเตทของรูปแบบอ้างอิง เพื่อให้ได้อนุพันธ์ของเสตทเวกเตอร์ xn ของรูปแบบอ้างอิง

void set_parameter(void)

ตั้งค่าพารามิเตอร์ของกระบวนการโดยขึ้นอยู่กับค่า q

void initialize(void)

ตั้งค่าเริ่มต้นให้กับทุกอย่างของระบบ

void init_image(void)

วาดหน้าจอ

void readme(void)

ออกข้อความบอกคุณลักษณะของโปรแกรมโดยย่อ

ตัวแปร

pid_x, pid_y, pid_u, pid_e

adp_x, adp_y, adp_u, adp_e, adp_de

pid_k

adp_k, adp_dk

sys_A, sys_B, sys_C, sys_d

ref_A, ref_B, ref_C, ref_d

k_1, k_2, k_3, k_4

g

h

sp

เป็นตัวแปรของระบบควบคุมคงที่

เป็นตัวแปรของระบบควบคุมปรับตัวได้

พารามิเตอร์ของตัวควบคุมคงที่หรือเกนป้อนกลับสเตท

พารามิเตอร์ของตัวควบคุมปฐมภูมิของตัวควบคุมปรับตัว

เป็นพารามิเตอร์ของสมการสเตทของกระบวนการ

เป็นพารามิเตอร์ของสมการสเตทของรูปแบบอ้างอิง

ค่าคงที่ใช้ในระเบียบวิธี Runge-Kutta

ค่าคงที่ γ ในสมการ (3.16) ในกฎการปรับตัว

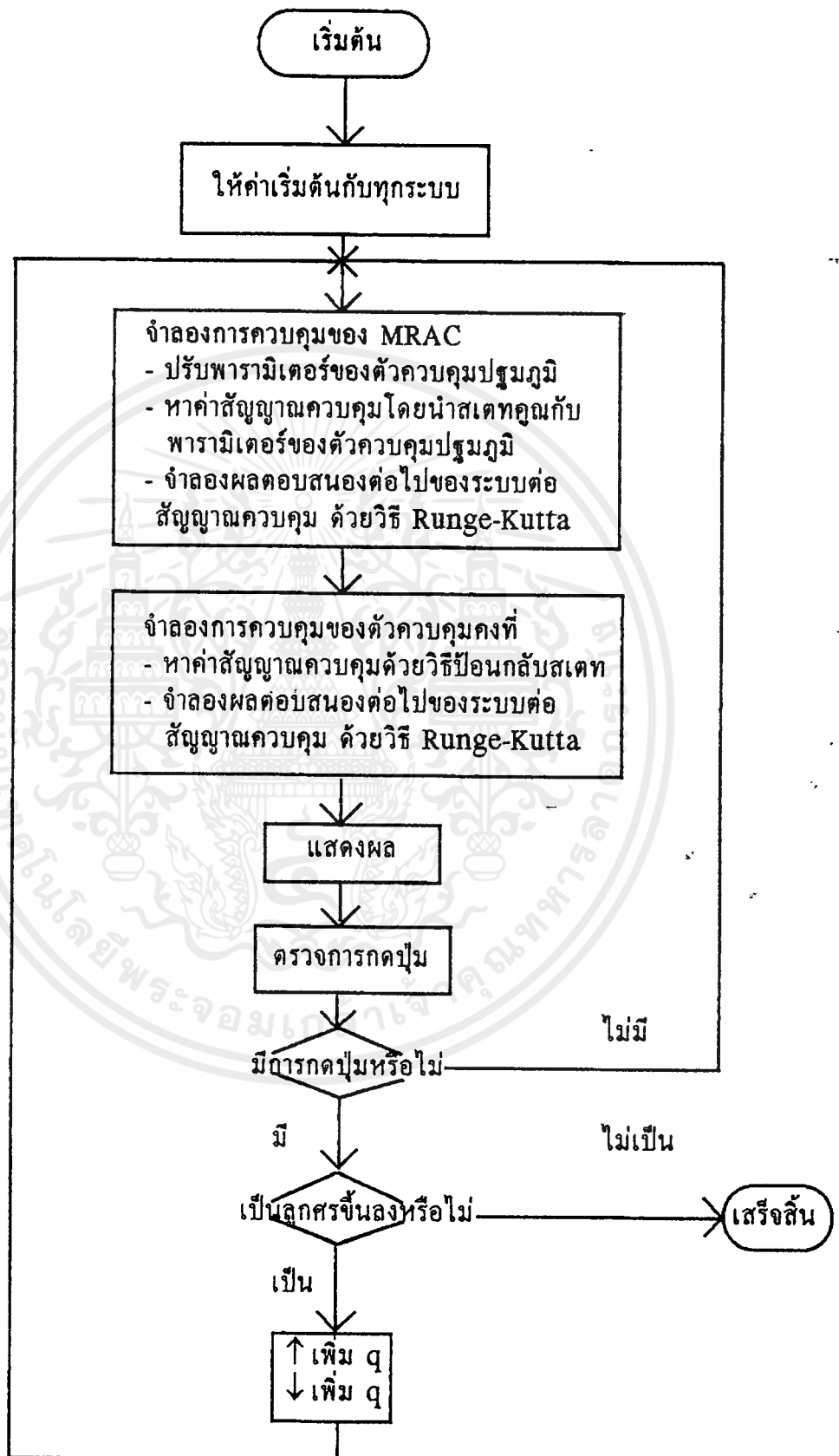
คาบเวลาในการจำลองแต่ละครั้ง

set point

เอกสารนี้เป็นเอกสารที่สงวนไว้สำหรับการใช้งานเพื่อการศึกษาเท่านั้น ไม่อนุญาตให้นำไปใช้ประโยชน์ด้านการค้า

ไม่ว่ากรณีใดๆ ทั้งสิ้น อีกทั้งห้ามมิให้ดัดแปลงเนื้อหาและต้องอ้างอิงถึงเจ้าของเอกสารทุกครั้งที่มีการนำไปใช้

Flow Chart



เอกสารนี้เป็นเอกสารที่สงวนไว้สำหรับการใช้งานเพื่อการศึกษาเท่านั้น ไม่อนุญาตให้นำไปใช้ประโยชน์ด้านการค้าไม่ว่ากรณีใดๆ ทั้งสิ้น อีกทั้งห้ามมิให้ดัดแปลงเนื้อหาและต้องอ้างอิงถึงเจ้าของเอกสารทุกครั้งที่มีการนำไปใช้

```

/*          M R A C SIMULATION ( 29/9/92 )          */
/* MRACSIM.C : This program is written to simulate MRAS.          */

#include <stdio.h>
#include <conio.h>
#include <graphics.h>
#include <process.h>
#include <math.h>
#include <dos.h>
#include <alloc.h>

#define N 2

int f_to_i(double x);
void s_x_v(double scalar, double vector[], double vector_r[]);
void s_x_m(double scalar, double matrix[][N], double matrix_r[][N]);
void v_mul_v(double vector_1[], double vector_2[], double matrix_r[][N]);
void v_x_v(double vector_1[], double vector_2[], double *scalar);
void m_x_v(double matrix[][N], double vector[], double vector_r[]);
void m_add_m(double matrix_1[][N], double matrix_2[][N],
             double matrix_r[][N]);
void v_add_v(double vector_1[], double vector_2[], double vector_r[]);
void move_graph(void);
void plot(void);
void sys(double t, double un, double xn[], double xn_1[]);
void pid_ctr_sys(void);
void adp_ctr_sys(void);
void ref_sys(double t, double un, double xn[], double xn_1[]);
void ref_mod_sys(void);
void set_parameter(void);
void initialize(void);
void init_image(void);
void readme(void);

char mixcolor[8] = {0xff,0x00,0xff,0x00,0xff,0x00,0xff,0x00};
char *bmp;

double ratio_x, ratio_y, init_x, init_y_pid, init_y_adp;
double q;
double sp, t, h;
double sys_a[N+1], sys_b[N+1];
double sys_A[N][N], sys_B[N], sys_C[N], sys_d;
double pid_x[N], pid_e, pid_u, pid_y;
double pid_k[N];
double adp_x[N], adp_e, adp_de, adp_u, adp_y;
double adp_k[N], adp_dk[N], adp_k_sp, adp_dk_sp;
double g[N+1];
double ref_A[N][N], ref_B[N], ref_C[N], ref_d;
double ref_x[N], ref_e, ref_u, ref_y;
double k1[N], k2[N], k3[N], k4[N];
double temp1[N], temp2[N], temp3[N], temp4[N];

```

เอกสารนี้เป็นเอกสารที่สงวนไว้สำหรับการใช้งานเพื่อการศึกษาเท่านั้น ไม่อนุญาตให้นำไปใช้ประโยชน์ด้านการค้า
ไม่ว่ากรณีใดๆ ทั้งสิ้น อีกทั้งห้ามมิให้ดัดแปลงเนื้อหาและต้องอ้างอิงถึงเจ้าของเอกสารทุกครั้งที่มีการนำไปใช้

```

int f_to_i(double x)
{
    double y;

    if(modf(x,&y) >= 0.5)
        return(y + 1);
    else if(modf(x,&y) <= -0.5)
        return(y - 1);
    else
        return(y);
}

void s_x_v(double scalar, double vector[], double vector_r[])
{
    int i;

    for(i = 0; i < N; i++)
        vector_r[i] = scalar*vector[i];
}

void s_x_m(double scalar, double matrix[][N], double matrix_r[][N])
{
    int i,j;

    for(i = 0; i < N; i++)
        for(j = 0; j < N; j++)
            matrix_r[i][j] = scalar * matrix[i][j];
}

void v_mul_v(double vector_1[], double vector_2[], double matrix_r[][N])
{
    int i,j;

    for(i = 0; i < N; i++)
        for(j = 0; j < N; j++)
            matrix_r[i][j] = vector_1[i] * vector_2[j];
}

void v_x_v(double vector_1[], double vector_2[], double *scalar)
{
    int i;
    double temp;

    temp = 0.0;
    for(i = 0; i < N; i++)
        temp += vector_1[i]*vector_2[i];
    *scalar = temp;
}

void m_x_v(double matrix[][N], double vector[], double vector_r[])
{
    int i, j;
    double temp;

    for(i = 0; i < N; i++){
        temp = 0.0;
        for(j = 0; j < N; j++){
            temp += matrix[i][j]*vector[j];
        }
        vector_r[i] = temp;
    }
}

```

เอกสารนี้เป็นเอกสารที่สงวนไว้สำหรับการใช้งานเพื่อการศึกษาเท่านั้น ไม่อนุญาตให้นำไปใช้ประโยชน์ด้านการค้า
ไม่ว่ากรณีใดๆ ทั้งสิ้น อีกทั้งห้ามมีให้ดัดแปลงเนื้อหาและต้องอ้างอิงถึงเจ้าของเอกสารทุกครั้งที่มีการนำไปใช้

```

void m_add_m(double matrix_1[][N], double matrix_2[][N],
             double matrix_r[][N])
{
    int i,j;

    for(i = 0; i < N; i++)
        for(j = 0; j < N; j++)
            matrix_r[i][j] = matrix_1[i][j] + matrix_2[i][j];
}

void v_add_v(double vector_1[], double vector_2[], double vector_r[])
{
    int i;

    for(i = 0; i < N; i++)
        vector_r[i] = vector_1[i] + vector_2[i];
}

void move_graph(void)
{
    /*move pid viewport*/
    getimage(43,getmaxy()/2+6,getmaxx()-41,getmaxy()-11,bmp);
    putimage(42,getmaxy()/2+6,bmp,0);
    setcolor(0);
    line(getmaxx()-41,getmaxy()/2+6,getmaxx()-41,getmaxy()-11);
    putpixel(getmaxx()-41,3*getmaxy()/4,15);

    /*move adaptive viewport*/
    getimage(43,12,getmaxx()-41,getmaxy()/2-6,bmp);
    putimage(42,12,bmp,0);
    setcolor(0);
    line(getmaxx()-41,12,getmaxx()-41,getmaxy()/2+6);
    putpixel(getmaxx()-41,getmaxy()/4,15);
}

void plot(void)
{
    static int absc = 0;
    static int ordi_pid = 0, ordi_ref = 0, ordi_adp = 0;

    ordi_pid = f_to_i(init_y_pid - pid_y*ratio_y);
    ordi_ref = f_to_i(init_y_adp - ref_y*ratio_y);
    ordi_adp = f_to_i(init_y_adp - adp_y*ratio_y);
    if(f_to_i(init_x + t*ratio_x) <= getmaxx()-41){
        absc = f_to_i(init_x + t*ratio_x);
        putpixel(absc, f_to_i(init_y_pid - sp*ratio_y), 11);
        putpixel(absc, f_to_i(init_y_adp - sp*ratio_y), 11);
        if((ordi_pid > getmaxy()/2+6)&&(ordi_pid < getmaxy()-11))
            putpixel(absc, ordi_pid, 15);
        else
            ;
        putpixel(absc, ordi_ref, 12);
        if((ordi_adp > 12)&&(ordi_adp < getmaxy()/2-6))
            putpixel(absc, ordi_adp, 15);
        else
            ;
    }
}

```

เอกสารนี้เป็นเอกสารที่สงวนไว้สำหรับการใช้งานเพื่อการศึกษาเท่านั้น ไม่อนุญาตให้นำไปใช้ประโยชน์ด้านการค้า
ไม่ว่ากรณีใดๆ ทั้งสิ้น อีกทั้งห้ามมิให้ดัดแปลงเนื้อหาและต้องอ้างอิงถึงเจ้าของเอกสารทุกครั้งที่มีการนำไปใช้

```

else{
    if( f_to_i(init_x + t*ratio_x) > absc ){
        absc = f_to_i(init_x + t*ratio_x);
        move_graph();
    }
    else
        ;
    putpixel(getmaxx()-41, f_to_i(init_y_pid - sp*ratio_y), 11);
    putpixel(getmaxx()-41, f_to_i(init_y_adp - sp*ratio_y), 11);
    if((ordi_pid > getmaxy()/2+6)&&(ordi_pid < getmaxy()-11))
        putpixel(getmaxx()-41, ordi_pid, 15);
    else
        ;
    putpixel(getmaxx()-41, ordi_ref, 12);
    if((ordi_adp > 12)&&(ordi_adp < getmaxy()/2-6))
        putpixel(getmaxx()-41, ordi_adp, 15);
    else
        ;
}
}

void sys(double t, double un, double xn[], double xn_1[])
{
    double Ax[N], Bu[N];

    m_x_v(sys_A, xn, Ax);
    s_x_v(un, sys_B, Bu);
    v_add_v(Ax, Bu, xn_1);
}

void pid_ctr_sys(void)
{
    /*Calculate state feedback control signal.*/
    v_x_v(pid_k,pid_x,&pid_u);
    pid_u = -1.0*pid_u + pid_k[0]*sp;

    /*Calculate pid_x(k+1) with runge-kutta method.*/
    sys(t, pid_u, pid_x, temp1);
    s_x_v(h, temp1, k1);
    s_x_v(0.5, k1, temp1);
    v_add_v(pid_x, temp1, temp1);
    sys(t + h/2, pid_u, temp1, temp2);
    s_x_v(h, temp2, k2);
    s_x_v(0.5, k2, temp2);
    v_add_v(pid_x, temp2, temp2);
    sys(t + h/2, pid_u, temp2, temp3);
    s_x_v(h, temp3, k3);
    v_add_v(pid_x, k3, temp3);
    sys(t + h, pid_u, temp3, temp4);
    s_x_v(h, temp4, k4);
    s_x_v(2.0, k2, temp1);
    s_x_v(2.0, k3, temp2);
    v_add_v(k1, temp1, k2);
    v_add_v(k2, temp2, k3);
    v_add_v(k3, k4, temp3);
    s_x_v(1.0/6.0, temp3, temp4);
    v_add_v(pid_x, temp4, pid_x);
    v_x_v(sys_C, pid_x, &pid_y);
}

```

เอกสารนี้เป็นเอกสารลิขสิทธิ์ของมหาวิทยาลัยเทคโนโลยีพระจอมเกล้าธนบุรี ไม่อนุญาตให้นำไปใช้ประโยชน์ด้านการค้า
ไม่ว่ากรณีใดๆ ทั้งสิ้น อีกทั้งห้ามมิให้ดัดแปลงเนื้อหาและต้องอ้างอิงถึงเจ้าของเอกสารทุกครั้งที่มีการนำไปใช้

```

void adp_ctr_sys(void)
{
    /*Adaptive Laws*/
    adp_e = adp_x[0] - ref_x[0];
    adp_de = adp_x[1] - ref_x[1];

    adp_dk_sp = -1.0*g[0]*(4*adp_e + 17*adp_de)*sp*h;
    adp_dk[0] = -1.0*g[1]*(4*adp_e + 17*adp_de)*adp_x[0]*h;
    adp_dk[1] = -1.0*g[2]*(4*adp_e + 17*adp_de)*adp_x[1]*h;

    adp_k_sp += adp_dk_sp;
    adp_k[0] += adp_dk[0];
    adp_k[1] += adp_dk[1];

    /*Calculate adaptive control signal*/
    v_x_v(adp_k,adp_x,&adp_u);
    adp_u = adp_u + adp_k_sp*sp;

    /*Calculate adp_x(k+1) with runge-kutta method*/
    sys(t, adp_u, adp_x, temp1);
    s_x_v(h, temp1, k1);
    s_x_v(0.5, k1, temp1);
    v_add_v(adp_x, temp1, temp1);
    sys(t + h/2, adp_u, temp1, temp2);
    s_x_v(h, temp2, k2);
    s_x_v(0.5, k2, temp2);
    v_add_v(adp_x, temp2, temp2);
    sys(t + h/2, adp_u, temp2, temp3);
    s_x_v(h, temp3, k3);
    v_add_v(adp_x, k3, temp3);
    sys(t + h, adp_u, temp3, temp4);
    s_x_v(h, temp4, k4);
    s_x_v(2.0, k2, temp1);
    s_x_v(2.0, k3, temp2);
    v_add_v(k1, temp1, k2);
    v_add_v(k2, temp2, k3);
    v_add_v(k3, k4, temp3);
    s_x_v(1.0/6.0, temp3, temp4);
    v_add_v(adp_x, temp4, adp_x);
    v_x_v(sys_C, adp_x, &adp_y);
}

```

```

void ref_sys(double t, double un, double xn[], double xn_1[])
{
    double Ax[N], Bu[N];

    m_x_v(ref_A, xn, Ax);
    s_x_v(un, ref_B, Bu);
    v_add_v(Ax, Bu, xn_1);
}

```

```

void ref_mod_sys(void)
{
    /*Calculate model reference x(k+1) with runge-kutta method*/
    ref_sys(t, ref_u, ref_x, temp1);
    s_x_v(h, temp1, k1);
    s_x_v(0.5, k1, temp1);
    v_add_v(ref_x, temp1, temp1);
    ref_sys(t + h/2, ref_u, temp1, temp2);
    s_x_v(h, temp2, k2);
    s_x_v(0.5, k2, temp2);

```

```

        v_add_v(ref_x, temp2, temp2);
        ref_sys(t + h/2, ref_u, temp2, temp3);
        s_x_v(h, temp3, k3);
        v_add_v(ref_x, k3, temp3);
        ref_sys(t + h, ref_u, temp3, temp4);
        s_x_v(h, temp4, k4);
        s_x_v(2.0, k2, temp1);
        s_x_v(2.0, k3, temp2);
        v_add_v(k1, temp1, k2);
        v_add_v(k2, temp2, k3);
        v_add_v(k3, k4, temp3);
        s_x_v(1.0/6.0, temp3, temp4);
        v_add_v(ref_x, temp4, ref_x);
        v_x_v(sys_C, ref_x, &ref_y);
    }

```

```

void set_parameter(void)
{

```

```

    sys_A[0][1] = 1.0;
    sys_A[1][1] = -2.0*q;

```

```

    sys_B[0] = 0.0;
    sys_B[1] = 1.0*q;

```

```

    sys_C[0] = 1.0;
    sys_C[1] = 0.0;

```

```

    sys_d = 0.0;
}

```

```

void initialize(void)
{

```

```

    q = 1.0;

```

```

    /*initialize system*/
    set_parameter();

```

```

    sp = 1.0;
    t = 0;
    h = 1.0/128.0;

```

```

    /*initialize pid control*/
    pid_k[0] = 16.0;
    pid_k[1] = 2.0;
    pid_y = 0.0;

```

```

    /*initialize adaptive control*/
    adp_k[0] = -16.0;
    adp_k[1] = -2.0;
    adp_k_sp = 16.0;
    adp_y = 0.0;
    g[0] = 10.0;
    g[1] = 10.0;
    g[2] = 10.0;

```

```

    /*initialize reference model*/
    ref_A[0][1] = 1.0;
    ref_A[1][0] = -16.0;
    ref_A[1][1] = -4.0;

```

เอกสารนี้เป็นเอกสารที่สงวนไว้สำหรับการใช้งานเพื่อการศึกษาเท่านั้น ไม่อนุญาตให้นำไปใช้ประโยชน์ด้านการค้า
ไม่ว่ากรณีใดๆ ทั้งสิ้น อีกทั้งห้ามมิให้ดัดแปลงเนื้อหาและต้องอ้างอิงถึงเจ้าของเอกสารทุกครั้งที่มีการนำไปใช้


```

line(0,getmaxy()/2-7,41,getmaxy()/2-7);
line(getmaxx()-39,getmaxy()/2-7,getmaxx(),getmaxy()/2-7);
line(getmaxx()-40,getmaxy()/2-6,getmaxx(),getmaxy()/2-6);

for(i=0; i<2; i++){
    putpixel(41+i,12,0);
    putpixel(41+i,getmaxy()/2-6,0);
    putpixel(41+i,getmaxy()/2+6,0);
    putpixel(41+i,getmaxy()-11,0);
}
putpixel(getmaxx()-41,13,0);
putpixel(getmaxx()-41,getmaxy()/2+6,0);
putpixel(getmaxx()-41,getmaxy()-11,0);
putpixel(getmaxx()-41,getmaxy()/2-6,0);
putpixel(0,12,0);
putpixel(0,getmaxy()/2+6,0);
putpixel(0,getmaxy()-11,0);
putpixel(0,getmaxy()/2-6,0);
putpixel(getmaxx(),13,0);
putpixel(getmaxx(),getmaxy()/2+6,0);
putpixel(getmaxx(),getmaxy()-11,0);
putpixel(getmaxx(),getmaxy()/2-6,0);

setfillstyle(0,0);
bar(42,12,getmaxx()-41,getmaxy()/2-6);
bar(42,getmaxy()/2+6,getmaxx()-41,getmaxy()-11);

setcolor(0);
settextstyle(1,0,2);
outtextxy(15,80,"M");
outtextxy(15,100,"R");
outtextxy(15,120,"A");
outtextxy(17,140,"C");
outtextxy(15,300,"F");
outtextxy(17,320,"I");
outtextxy(15,340,"X");
outtextxy(15,360,"E");
outtextxy(15,380,"D");

init_x = 42;
init_y_adp = getmaxy()/4;
init_y_pid = 3*getmaxy()/4;

ratio_x = (getmaxx()-82.0)/25.0;
ratio_y = getmaxy()/6.0 - 10;

setcolor(15);
line(41,getmaxy()/4,getmaxx()-41,getmaxy()/4);
line(41,3*getmaxy()/4,getmaxx()-41,3*getmaxy()/4);

/*initgraphviewport*/
size = imagesize(42,getmaxy()/2+6,getmaxx()-41,getmaxy()-11);
bmp = (char *)malloc(size);
}

```

```

void readme(void)
{
    clrscr();
    printf("(18/3/93)\n");
    printf("This program is written to simulate MRAS.\n");
    printf("Press arrow key up and down to change the process.\n");
    printf("Look for detail in the thesis.\n");
    printf("Press any key to start simulation and ");
    printf("press another key to quit the program.\n");
    getch();
}

main()
{
    int G_DRIVER, G_MODE, G_ERROR, i, ex;
    double test_num;
    union inkey{
        char ch[2];
        int i;
    } c;
    char ch;

    readme();

    /*Initgraph*/
    detectgraph (&G_DRIVER, &G_MODE);
    initgraph(&G_DRIVER, &G_MODE, "");

    /*Initialize mornitor*/
    init_image();

    /*Initialize control system*/
    initialize();

    for(ex = 0; ex == 0; ){
        adp_ctr_sys();
        ref_mod_sys();
        pid_ctr_sys();
        plot();
        t += h;
        if(fmod(t,5.0) == 0.0){
            sp *= -1;
            ref_u = sp;
        }
        if(bioskey(1)){
            c.i = bioskey(0);
            if(c.ch[0] == 0){
                ch = c.ch[1];
                if(ch == 72){
                    q *= 2.0;
                    if(q > 4)
                        q = 4;
                    else
                        ;
                }
                if(ch == 80){
                    q /= 2.0;
                    if(q < .25)
                        q = 0.25;
                    else
                        ;
                }
            }
        }
    }
}

```

เอกสารนี้เป็นเอกสารที่สงวนไว้สำหรับการใช้งานเพื่อการศึกษาเท่านั้น มิใช่ผู้ดูแลให้นำไปใช้ประโยชน์ด้านการค้า
ไม่ว่ากรณีใดๆ ทั้งสิ้น อีกทั้งห้ามมิให้ดัดแปลงเนื้อหาและต้องอ้างอิงถึงเจ้าของเอกสารทุกครั้งที่มีการนำไปใช้

```
        if(ch == 71){
            q = 1;
        }
        else
            ;
        set_parameter();
    }
    else
        ex = 1;
}
}
getch();
closegraph();
}
```



เอกสารนี้เป็นเอกสารที่สงวนไว้สำหรับการใช้งานเพื่อการศึกษาเท่านั้น ไม่อนุญาตให้นำไปใช้ประโยชน์ด้านการค้า
ไม่ว่ากรณีใดๆ ทั้งสิ้น อีกทั้งห้ามมิให้ดัดแปลงเนื้อหาและต้องอ้างอิงถึงเจ้าของเอกสารทุกครั้งที่มีการนำไปใช้

ภาคผนวก ข

โปรแกรมตัวควบคุม MRAC

รายละเอียดของโปรแกรม MRAC.C

- เป็นโปรแกรมที่ใช้ควบคุมกับระบบจริงอันดับสองเพื่อให้ได้ผลตอบสนองตามที่ได้กำหนดไว้ในบทที่ 3
- โปรแกรมนี้ใช้ยืนยันผลของโปรแกรมจำลองในภาคผนวก ก และหาผลกระทบของข้อจำกัดของระบบที่ไม่เป็นไปตามทฤษฎี
- วิธีคำนวณค่าสัญญาณอ้างอิง ใช้วิธีที่กล่าวไว้ในบทที่ 2 โดยถือว่าความถี่การสุ่มสัญญาณสูงกว่าความถี่ของระบบมาก และใช้การคำนวณแบบเวลาต่อเนื่อง
- โปรแกรมนี้ใช้กับเครื่อง PTS-10 ของบริษัท Pacific และต้องมีการ์ด A/D PCL 812 และ D/A PCL 726 ต่อกับคอมพิวเตอร์ที่พอร์ตเบอร์ 220 และ 2C0 ตามลำดับ และวัดสัญญาณด้วยเครื่อง servocorder ของบริษัท Graphtec
- ต่อเอาต์พุตช่องที่ 0 ของ PCL 726 กับอินพุตของ PTS-10 ต่อเอาต์พุต y ของ PTS-10 เข้ากับอินพุตช่องที่ 0 ของ PCL 812 และ y' เข้ากับช่องที่ 1
- ต่อสัญญาณเริ่มทำงานของ PTS-10 เข้ากับอินพุตช่องที่ 2 ของ PCL 812 ต่อเอาต์พุตช่องที่ 1 ของ PCL 726 (y_m) และต่อเอาต์พุต y และ y' เข้ากับเครื่อง servocorder เพื่อวัดสัญญาณ
- เปิดเครื่อง PTS-10 ก่อน จากนั้นรันโปรแกรม เมื่อเริ่มให้ระบบทำงานกดปุ่ม start บน PTS-10 โปรแกรมจะตรวจจับสัญญาณเริ่มทำงานของ PTS-10 และทำงานไปพร้อมกันทันที เมื่อหยุดการทำงานของ PTS-10 ให้กดปุ่มเดิมกับตอนเริ่มทำงาน และโปรแกรมจะหยุดทำงานในขณะเดียวกันทันที
- การควบคุมจะใช้อินเทอร์รัพของไทม์เมอร์ของ PC ที่ตำแหน่ง 1C เป็นตัวกระตุ้นให้โปรแกรมทำงานเพื่อให้ได้ความถี่การสุ่มสัญญาณและการควบคุมคงที่ (18.2044 Hz) ดังนั้นเครื่องคอมพิวเตอร์ที่ใช้ทำงานควรทำงานเร็วมากพอ ผลที่นำออกแสดงในบทที่ 4 เวลาในการคำนวณประมาณ 1เปอรเซ็นต์ของคาบการสุ่มสัญญาณ หรือคาบของการอินเทอร์รัพ
- การแสดงผลจะแสดง เหนือของตัวควบคุมปฐมภูมิที่ปรับตัว AK[0], [1], [2] และ ผลตอบสนองของกระบวนการ กับ ผลตอบสนองของรูปแบบอ้างอิงที่สอดคล้องกัน IN[0], MX[0] ตามลำดับ

โปรแกรมย่อย

void interrupt mrac(void)

โปรแกรม interrupt service routine (ISR) ซึ่งบรรจุโปรแกรมที่ทำหน้าที่เป็นตัวควบคุม MRAC

void installint(void)

เก็บค่า address ของอินเทอร์รัพ 1C เดิม และ นำ address ของ mrac() เข้าไปแทนที่

void model(void)

ให้ค่าเริ่มต้นกับรูปแบบอ้างอิง

void readme(void)

เอกสารนี้แสดงข้อความบอกคุณสมบัติโดยย่อของโปรแกรมนั้น ไม่อนุญาตให้นำไปใช้ประโยชน์ด้านการค้า ไม่ว่ากรณีใดๆ ทั้งสิ้น อีกทั้งห้ามมิให้ดัดแปลงเนื้อหาและต้องอ้างอิงถึงเจ้าของเอกสารทุกครั้งที่มีการนำไปใช้

ตัวแปร

HIIN, LOIN, HIOUT, LOOUT
IN

ค่าเลขฐานสองที่ใช้ส่งเข้า และ ออกจาก A/D และ D/A
ค่าสัญญาณที่วัดเข้ามาแปลงจากตัวแปรเข้าบนให้กลายเป็นค่าจริง
ซึ่งก็คือสเตรทของระบบ

OUT
CT

ค่าสัญญาณควบคุมที่คำนวณได้
สัญญาณควบคุมที่คำนวณได้และแปลงเป็นเลขฐานสองพร้อม
ที่จะส่งออกไป

MR

ค่าผลตอบสนองอ้างอิงที่แปลงเป็นเลขฐานสองพร้อมที่จะส่ง
ไปยังเครื่องบันทึกผล

MG, MH, MX
RK

เมตริกซ์พารามิเตอร์ และ สเตรทของรูปแบบอ้างอิง
ตัวแปรใช้ในการคำนวณ สเตรทของรูปแบบอ้างอิงด้วยวิธี
Runge-Kutta

AE, AG, AKD, AK
t, T

พารามิเตอร์ของตัวควบคุม MRAC
เวลาและคาบการสุ่มสัญญาณตามลำดับ

SET_P
run

สัญญาณอ้างอิงหรือ set point
ตัวแปรบอกถึงอยู่ในขณะทำงาน

start

ตัวแปรบอกถึงรอบแรกของการควบคุม

BASEIN

เบอร์พอร์ทของ PCL 812

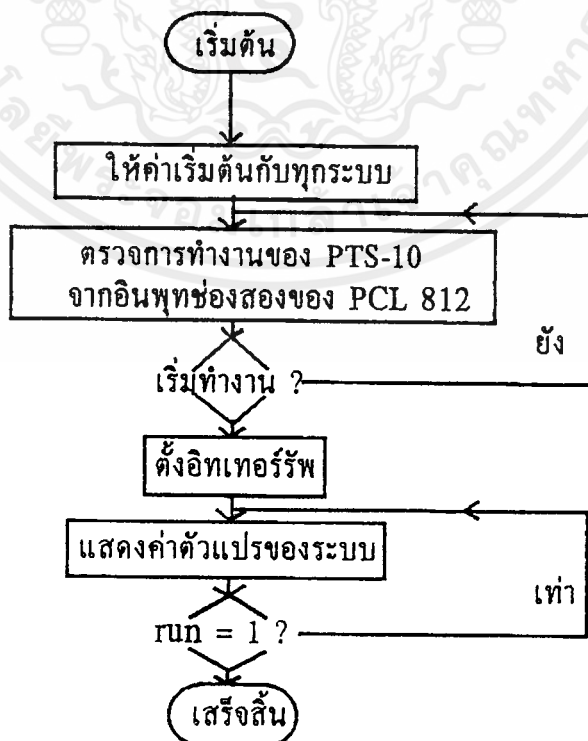
BASEOUT

เบอร์พอร์ทของ PCL 726

Flow Chart

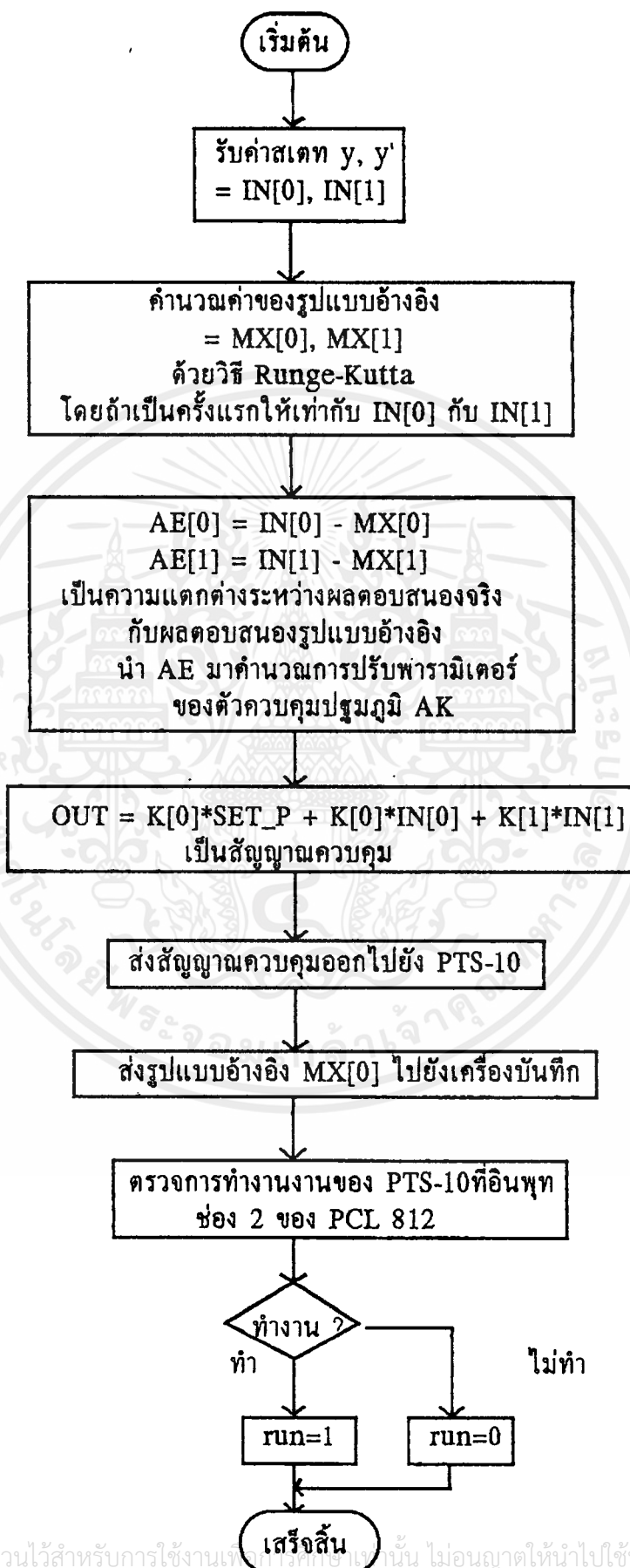
การทำงานของโปรแกรมแบ่งเป็นสองส่วนคือ โปรแกรมหลัก และโปรแกรมอินเทอร์รัพ

โปรแกรมหลัก



เอกสารนี้เป็นเอกสารที่สงวนไว้สำหรับการใช้งานเพื่อการศึกษาเท่านั้น ไม่อนุญาตให้นำไปใช้ประโยชน์ด้านการค้า
ไม่ว่ากรณีใดๆ ทั้งสิ้น อีกทั้งห้ามมิให้ดัดแปลงเนื้อหาและต้องอ้างอิงถึงเจ้าของเอกสารทุกครั้งที่มีการนำไปใช้

โปรแกรมอินเทอร์พรีท (controller)



เอกสารนี้เป็นเอกสารที่สงวนไว้สำหรับการใช้งานเท่านั้น ไม่อนุญาตให้นำไปใช้ประโยชน์ด้านการค้า
ไม่ว่ากรณีใดๆ ทั้งสิ้น อีกทั้งห้ามมิให้ดัดแปลงเนื้อหาและต้องอ้างอิงถึงเจ้าของเอกสารทุกครั้งที่มีการนำไปใช้

```
/*          M R A C Controller (6/3/93)
/* MRAC.C : This program is MRAC controller.
```

```
#include<stdio.h>
#include<dos.h>
#include<math.h>
#include<conio.h>
```

```
#define ZERO 2048
```

```
void interrupt (*oldvec)();
void interrupt mrac(void);
void installint(void);
void model(void);
void readme(void);
```

```
volatile int start=1;
volatile int BASEIN = 0x220;
volatile int BASEOUT = 0x2C0;
volatile int CT, MR, run;
volatile unsigned char HIIN, LOIN, HIOUT, LOOUT;
volatile double t=0,T;
volatile double MG[4], MH[2], MX[2], AE[2], AG[3], AKD[3], AK[3], RK[2][4];
volatile double IN[2], OUT, SET_P, temp;
```

```
void interrupt mrac(void)
```

```
{
    /*Measure state variable of process X.*/
    outportb(BASEIN+10,0x0);
    outportb(BASEIN+11,0x1);
    outportb(BASEIN+12,0xff);
    do{
        HIIN = inportb(BASEIN+5);
    }while(HIIN>=16);
    LOIN = inportb(BASEIN+4);
    IN[0] = (HIIN*256 + LOIN - ZERO)*20.0/4095.0;

    /*Measure state variable of process X'*/
    outportb(BASEIN+10,0x1);
    outportb(BASEIN+11,0x1);
    outportb(BASEIN+12,0xff);
    do{
        HIIN = inportb(BASEIN+5);
    }while(HIIN>=16);
    LOIN = inportb(BASEIN+4);
    IN[1] = (HIIN*256 + LOIN - ZERO)*20.0/4095.0;

    /*Calculate model reference state.*/
    if(start){
        MX[0] = IN[0];
        MX[1] = IN[1];
        start--;
    }
    else{
        RK[0][0] = T*MX[1];
        RK[1][0] = T*(MG[2]*MX[0] + MG[3]*MX[1] + MH[1]*SET_P);

        RK[0][1] = T*(MX[1] + RK[1][0]/2.0);
        RK[1][1] = T*(MG[2]*(MX[0]+RK[0][0]/2.0) + MG[3]*(MX[1]+RK[1][0]/2.0)
        + MH[1]*SET_P);
    }
}
```

เอกสารนี้เป็นเอกสารที่สงวนไว้สำหรับใช้ภายในหน่วยงานเท่านั้น ไม่อนุญาตให้นำไปเผยแพร่ภายนอก

ไม่ว่ากรณีใดๆ ทั้งสิ้น อีกทั้งห้ามมิให้ดัดแปลงเนื้อหาและต้องอ้างอิงถึงเจ้าของเอกสารทุกครั้งที่มีการนำไปใช้

```

RK[0][2] = T*(MX[1] + RK[1][1]/2.0);
RK[1][2] = T*(MG[2]*(MX[0]+RK[0][1]/2.0) + MG[3]*(MX[1]+RK[1][1]/2.0)
          + MH[1]*SET_P);

RK[0][3] = T*(MX[1] + RK[1][2]);
RK[1][3] = T*(MG[2]*(MX[0]+RK[0][2]) + MG[3]*(MX[1]+RK[1][2])
          + MH[1]*SET_P);

MX[0] += (RK[0][0] + 2*RK[0][1] + 2*RK[0][2] + RK[0][3])/6.0;
MX[1] += (RK[1][0] + 2*RK[1][1] + 2*RK[1][2] + RK[1][3])/6.0;
}

/*Adaptive Laws*/
AE[0] = IN[0] - MX[0];
AE[1] = IN[1] - MX[1];

AE[0] = ((int)(AE[0]*100.0))/100.0;
AE[1] = ((int)(AE[1]*100.0))/100.0;

AKD[0] = -1.0*AG[0]*((4*AE[0]) + (17*AE[1]))*SET_P*T;
AKD[1] = -1.0*AG[1]*((4*AE[0]) + (17*AE[1]))*IN[0]*T;
AKD[2] = -1.0*AG[2]*((4*AE[0]) + (17*AE[1]))*IN[1]*T;

AK[0] += AKD[0];
AK[1] += AKD[1];
AK[2] += AKD[2];

/*Calculate MRAC control signal*/
OUT = AK[0]*SET_P + AK[1]*IN[0] + AK[2]*IN[1];
CT = (int)(4095*(OUT+10.0)/20.0);
if(CT > 4095)
    CT = 4095;
else if(CT < 0)
    CT = 0;
else
    ;

/*Out control signal (D/A).*/
HIOUT = CT / 256;
LOOUT = CT % 256;
outportb(BASEOUT+0, HIOUT);
outportb(BASEOUT+1, LOOUT);

/*Check for change level of set point*/
t += T;
if(t > 15){
    SET_P *= -1.0;
    t = 0;
}

/*Out model reference state to servocorder.*/
MR = (int)(4095*(MX[0]+10.0)/20.0);
HIOUT = MR / 256;
LOOUT = MR % 256;
outportb(BASEOUT+2, HIOUT);
outportb(BASEOUT+3, LOOUT);

```

```

/*Check for end program.*/
outportb(BASEIN+10,0x2);
outportb(BASEIN+11,0x1);
outportb(BASEIN+12,0xff);
do{
    HIIN = inportb(BASEIN+5);
}while(HIIN>=16);
LOIN = inportb(BASEIN+4);
run = HIIN*256 + LOIN;
}

void installint(void)
{
    oldvec = getvect(0x1C);
    setvect(0x1C, mrac);
}

void model(void)
{
    start = 1;
    SET_P = 0.5;

    T = (3600.0/65535.0); /*Sampling time.*/
    MG[0] = 0;
    MG[1] = 1.0;
    MG[2] = -16.0;
    MG[3] = -4;

    MH[0] = 0;
    MH[1] = 16;

    AG[0] = 1;
    AG[1] = 1;
    AG[2] = 1;

    AK[0] = 16.0;
    AK[1] = -16.0;
    AK[2] = -2.0;
}

void readme(void)
{
    clrscr();
    printf("This program is MRAC controller for ");
    printf("PTS-10 process simulator (second order).\n");
    printf("Using with PCL 812 (A/D) and PCL 726 (D/A) card.\n");
    printf("There will be adaptation parameter showing on screen.\n");
    printf("(k0 , k1, k2, process variable, medel reference variable)\n");
    printf("Look for detail in the thesis.\n");
    printf("Open PTS-10 then press any key to start program.\n");
    getch();
}

```

เอกสารนี้เป็นเอกสารที่สงวนไว้สำหรับการใช้งานเพื่อการศึกษาเท่านั้น ไม่อนุญาตให้นำไปใช้ประโยชน์ด้านการค้า
ไม่ว่ากรณีใดๆ ทั้งสิ้น อีกทั้งห้ามมิให้ดัดแปลงเนื้อหาและต้องอ้างอิงถึงเจ้าของเอกสารทุกครั้งที่มีการนำไปใช้

```

main()
{
    readme();

    clrscr();

    /*Initialize parameter.*/
    model();

    /*Clear D/A buffer.*/
    outportb(BASEOUT+0, 0x08);
    outportb(BASEOUT+1, 0x00);

    printf("Press startkey (green button) of PTS-10 to start");
    printf("control system.\n");
    printf("Then, to stop program, press the same button.\n");

    /*Wait for start button signal.*/
    do{
        outportb(BASEIN+10,0x2);
        outportb(BASEIN+11,0x1);
        outportb(BASEIN+12,0xff);
        do{
            HIIN = inportb(BASEIN+5);
        }while(HIIN>=16);
        LOIN = inportb(BASEIN+4);
        run = HIIN*256 + LOIN;
    }while(run >= 2060);

    installint();

    /*Print adaptation parameter.*/
    while(run < 2060)
        printf("%f, %f, %f, %f, %f\n", AK[0], AK[1], AK[2], IN[0], MX[0]);

    /*Clear D/A buffer.*/
    outportb(BASEOUT+2, 0x08);
    outportb(BASEOUT+3, 0x00);

    setvect(0x1C, oldvec);
}

```

เอกสารนี้เป็นเอกสารที่สงวนไว้สำหรับการใช้งานเพื่อการศึกษาเท่านั้น ไม่อนุญาตให้นำไปใช้ประโยชน์ด้านการค้า
 ไม่ว่ากรณีใดๆ ทั้งสิ้น อีกทั้งห้ามมิให้ดัดแปลงเนื้อหาและต้องอ้างอิงถึงเจ้าของเอกสารทุกครั้งที่มีการนำไปใช้

เอกสารอ้างอิง

- [1] Katsuhiko Ogata, Modern Control Engineering, Prentice-Hall, Englewood Cliffs, 1990.
- [2] Hans Butler, Model Reference Adaptive Control, Prentice-Hall, Maryland Avenue, 1992.
- [3] Karl J Astrom & Bjorn W., Adaptive Control, Addison-Wesley, 1989
- [4] Joseph J. Distefano, Theory and Problems of Feedback and Control systems, McGraw-Hill Book Co., Singapore, 1976



เอกสารนี้เป็นเอกสารที่สงวนไว้สำหรับการใช้งานเพื่อการศึกษาเท่านั้น ไม่อนุญาตให้นำไปใช้ประโยชน์ด้านการค้า
ไม่ว่ากรณีใดๆ ทั้งสิ้น อีกทั้งห้ามมิให้ดัดแปลงเนื้อหาและต้องอ้างอิงถึงเจ้าของเอกสารทุกครั้งที่มีการนำไปใช้